

## ผลการวิจัย

การศึกษานี้มีวัตถุประสงค์เพื่อศึกษาการเปลี่ยนแปลงพื้นผิวของพอร์ซเลน 4 ชนิด ได้แก่ เฟล์สปาร์ก็อกพอร์ซเลน อะลูมิเนียมพอร์ซเลน พอร์ซเลนที่มีลูไทร์บิร์มาณสูง และฟลูโอดาเอยพาไทท์พอร์ซเลน เมื่อแขวนในสารละลายซิเทอตบัฟเฟอร์ กรดอะซิติกความเข้มร้อยละ 4 และน้ำผลไม้รสเบร์รี่ไว้ได้แก่ น้ำมะม่วงและน้ำสับปะรด โดยมีน้ำกลั่นเป็นกลุ่มควบคุม และเปรียบเทียบผลการกัดกร่อนจากน้ำผลไม้รสเบร์รี่ไว้ต่อพอร์ซเลน 4 ชนิด เพื่อเป็นข้อมูลหนึ่งที่ช่วยตัดสินใจทางคลินิกในการบูรณะฟันเพื่อรักษาผู้ป่วยที่มีปัญหาฟันสึกอีกทั้งเป็นองค์ความรู้ในการสอนนักศึกษาทันตแพทย์ทั้งระดับก่อนและหลังปริญญา เป็นแนวทางหนึ่งในการป้องกันการลอกalamของฟันสึก และเป็นข้อมูลพื้นฐานสำหรับงานวิจัยขั้นต่อไปในอนาคต โดยศึกษาการเปลี่ยนแปลงพื้นผิวจากค่าความแข็งผิว ความหมายพื้นผิว การละลายของธาตุจากชิ้นตัวอย่าง สัดส่วนปริมาณธาตุในชิ้นตัวอย่าง และตรวจสอบสภาพผิวด้วยกล้องจุลทรรศน์อิเล็กทรอนิกส์สองกราด ดังรายละเอียดผลการทดลองดังนี้

### ค่าความเป็นกรด-ด่างของน้ำผลไม้รสเบร์รี่

二

น้ำผลไม้รสเบร์รี่ทั้งสองชนิด (น้ำมะม่วงและน้ำสับปะรด) มีความเป็นกรดสูง โดยค่าความเป็นกรด-ด่างของน้ำมะม่วงมีค่า  $2.56 \pm 0.08$  ขณะที่น้ำสับปะรดมีค่า  $3.68 \pm 0.08$  หลังจากสกัด และเมื่อทิ้งไว้ 24 ชั่วโมง ค่าความเป็นกรด-ด่างของน้ำมะม่วงมีค่า  $2.54 \pm 0.06$  ขณะที่น้ำสับปะรดมีค่า  $3.62 \pm 0.05$  ซึ่งน้ำผลไม้รสเบร์รี่ทั้งสองชนิดมีค่าความเป็นกรด-ด่างต่ำกว่าค่าความเป็นกรด-ด่างวิกฤต (critical pH 5.5) ทั้งหลังจากสกัดและเมื่อทิ้งไว้ 24 ชั่วโมง

### ค่าความแข็งผิว

ตารางที่ 2 แสดงการวิเคราะห์ข้อมูลด้วยสถิติการทดสอบความแปรปรวนสองทางแบบวัดซ้ำ เมื่อพิจารณาผลของตัวแปร 2 อย่าง (ชนิดของพอร์ซเลนและสาขาวิชาทดสอบ) ที่มีต่อค่าความแข็งผิว ณ เวลาด่างกัน การวิเคราะห์ต้องพิจารณาผลของชนิดพอร์ซเลน และสาขาวิชาทดสอบ และผลของปฏิสัมพันธ์ระหว่างตัวแปรทั้งสองดังกล่าว เพื่อขอรับความสัมพันธ์ที่มีต่อกันได้อย่างถูกต้อง ซึ่งจากการวิเคราะห์ผลด้วยสถิติการทดสอบความแปรปรวนสองทางแบบวัดซ้ำที่ระดับนัยสำคัญ .05 พบว่า ชนิดพอร์ซเลน สาขาวิชาทดสอบ และปฏิสัมพันธ์ระหว่างตัวแปรทั้งสองมีผลต่อค่าความแข็งผิวอย่างมีนัยสำคัญทางสถิติ ( $p < .05$ ) ดังนั้นการพิจารณาความแข็งผิวต้องคำนึงถึงผลดังกล่าว

ตารางที่ 2 ผลการวิเคราะห์ข้อมูลด้วยสถิติกារทดสอบความแปรปรวนสองทางแบบวัดซ้ำ

Source	Type III Sum of Squares	df	Mean Square	F	p-value
Intercept	333265892.30	1	333265892.30	140385.68	.001
Type of porcelain	2050839.54	3	683613.18	287.97	.001
Type of storage media	532825.96	4	133206.49	56.11	.001
Interaction between type of porcelain and storage media	116600.12	12	9716.68	4.09	.001
Error	379828.92	160	2373.93		

ตารางที่ 3 และรูปที่ 1 แสดงค่าเฉลี่ยความแข็งผิวและส่วนเบี่ยงเบนมาตรฐานของพอร์ชเลนทั้ง 4 ชนิดเมื่อแข็งในสารทดสอบแต่ละชนิด ณ เวลาต่างกัน เมื่อพิจารณาค่าความแข็งผิวของพอร์ชเลนแต่ละชนิด เมื่อแบ่งกลุ่มอย่างสุ่มสำหรับแข็งในสารทดสอบแต่ละชนิดก่อนเริ่มทดลอง ( $0$  ชั่วโมง) พบว่า มีค่าไม่แตกต่าง กันอย่างมีนัยสำคัญทางสถิติ ( $p > .05$ ) ดังนั้นหากแข็งพอร์ชเลนในสารทดสอบแต่ละชนิดแล้วค่าความแข็ง ผิวเปลี่ยนแปลง จึงอนุมานได้ว่าเป็นผลจากสารทดสอบ และเมื่อเปรียบเทียบค่าความแข็งผิวเริ่มต้น ( $0$  ชั่วโมง) ของพอร์ชเลนแต่ละชนิดพบว่า พอร์ชเลนที่มีลูไซต์ปริมาณสูงมีค่าความแข็งผิวสูงที่สุด และสูงกว่า พอร์ชเลนกลุ่มอื่นอย่างมีนัยสำคัญทางสถิติ ( $p < .05$ ) ในขณะที่เฟล์ดสปաทิกพอร์ชเลน อะลูминัสพอร์ชเลน และฟลูออเอฟพาไทต์พอร์ชเลนมีค่าความแข็งผิวไม่แตกต่างกันอย่างมีนัยสำคัญทางสถิติ ( $p > .05$ ) อย่างไรก็ตาม เฟล์ดสปาทิกพอร์ชเลน อะลูминัสพอร์ชเลน และฟลูออเอฟพาไทต์พอร์ชเลนพบแนวโน้มความแข็งผิวเรียงจากมากไปน้อยตามลำดับ

จากการวิเคราะห์ข้อมูลในตารางที่ 2 พบว่า ชนิดของพอร์ชเลนและสารทดสอบมีผลต่อความแข็งผิวจึงพิจารณาผลของแต่ละปัจจัย โดยเมื่อพิจารณาความแข็งผิวที่เปลี่ยนแปลงของพอร์ชเลนแต่ละชนิดเมื่อแข็งในสารทดสอบแต่ละชนิด ณ เวลาต่างกันพบว่า แนวโน้มการเปลี่ยนแปลงเป็นไปในทิศทางเดียว กันนั่นคือ สารละลายกรดอะซิติกความเข้มร้อยละ 4 สารละลายซิเทรตบัฟเฟอร์ น้ำสบประดและน้ำมะนาวมีผลทำให้ค่าความแข็งผิวของพอร์ชเลนทั้ง 4 ชนิดลดลงอย่างมีนัยสำคัญทางสถิติ ( $p < .05$ ) โดยในสารละลายกรดอะซิติก เฟล์ดสปาทิกพอร์ชเลน อะลูминัสพอร์ชเลน และฟลูออเอฟพาไทต์พอร์ชเลนพบความแข็งผิวลดลงใน 24 ชั่วโมง ( $p = .014$  . $001$  และ . $011$  ตามลำดับ) ส่วนพอร์ชเลนที่มีลูไซต์ปริมาณสูงพบความแข็งผิวลดลงใน 72 ชั่วโมง ( $p = .044$ ) ในขณะที่ในสารละลายซิเทรตบัฟเฟอร์ ฟลูออเอฟพาไทต์พอร์ชเลนพบความแข็งผิวลดลงใน 24 ชั่วโมง ( $p = .023$ ) เฟล์ดสปาทิกพอร์ชเลนและพอร์ชเลนที่มีลูไซต์ปริมาณสูงพบความแข็งผิวลดลงใน 48 ชั่วโมง ( $p = .022$  และ . $032$  ตามลำดับ) และอะลูминัสพอร์ชเลนพบความแข็งผิวลดลงใน 72 ชั่วโมง ( $p = .002$ ) ในน้ำสบประด เฟล์ดสปาทิกพอร์ชเลน และพอร์ชเลนที่มีลูไซต์ปริมาณสูงพบความแข็งผิวลดลงใน 168 ชั่วโมง ( $p = .048$  และ . $049$  ตามลำดับ) ฟลูออเอฟพาไทต์พอร์ชเลนพบความแข็งผิวลดลงใน 48 ชั่วโมง ( $p = .032$ ) และอะลูминัสพอร์ชเลนพบความแข็งผิวลดลงใน 24 ชั่วโมง ( $p = .007$ ) เฟล์ดสปาทิกพอร์ชเลนและฟลูออเอฟพาไทต์พอร์ชเลนพบความแข็งผิวลดลงใน 48 ชั่วโมง ( $p = .016$  และ . $006$  ตามลำดับ) และพอร์ชเลนที่มีลูไซต์ปริมาณสูงพบความแข็งผิวลดลงใน 72 ชั่วโมง ( $p = .021$ ) ในขณะที่น้ำกลั่น (กลุ่มควบคุม) ไม่พบค่าความแข็งผิวของพอร์ชเลนทั้ง 4 ชนิดเปลี่ยนแปลงเมื่อเวลาผ่านไป 168 ชั่วโมงอย่างมีนัยสำคัญทางสถิติ ( $p > .05$ ) โดยตารางที่ 4 แสดงผลความแข็งผิวโดยรวม ของพอร์ชเลนแต่ละชนิดในสารทดสอบต่างชนิดกัน

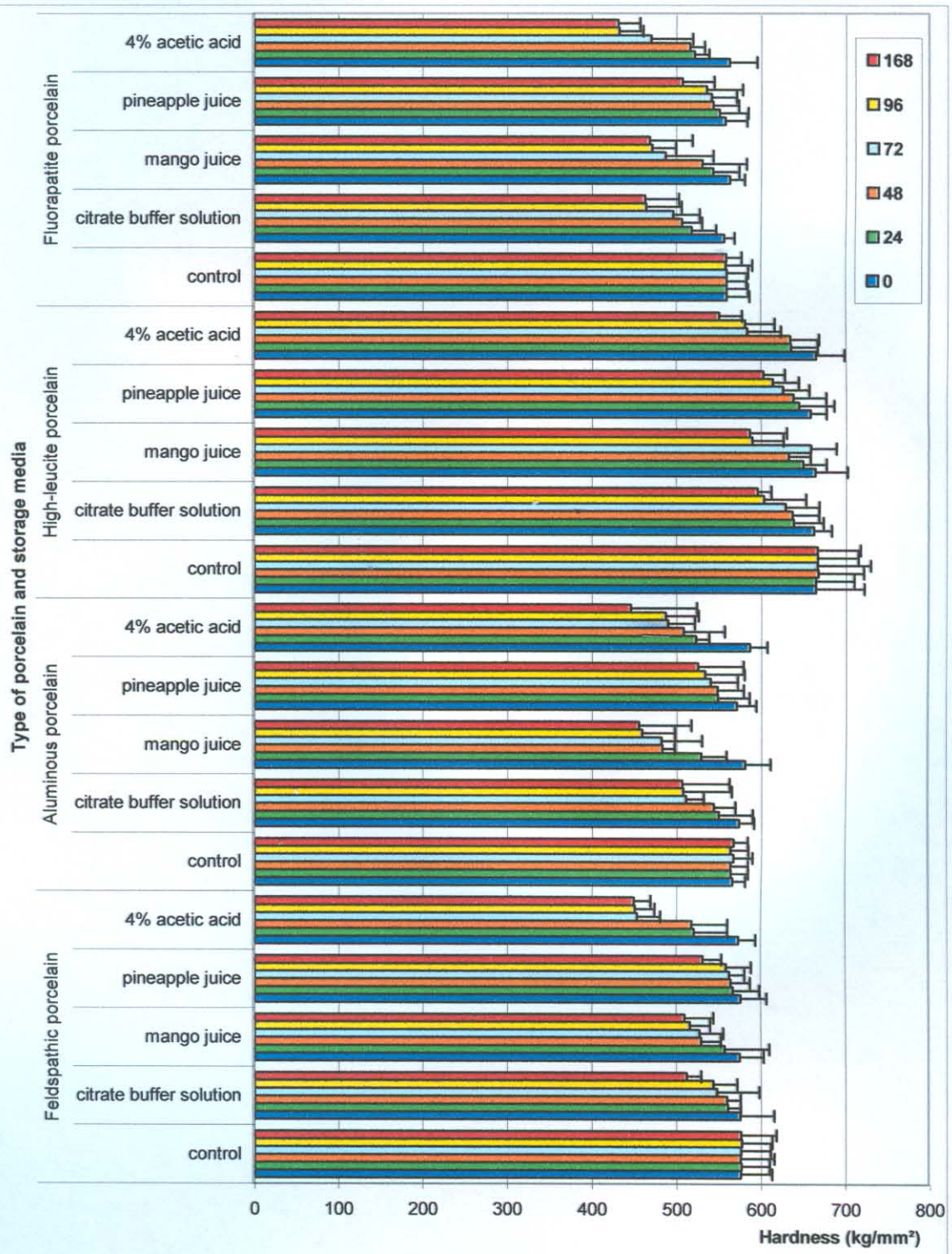
ผู้รายงานผล  
คุณหญิงหลง อรรถกระวีสุนทร

20

ตารางที่ 3 ค่าเฉลี่ยความแข็งผิวและส่วนเบี่ยงเบนมาตรฐานของพอร์ซิลิน 4 ชนิดเมื่อแช่ในสารทดสอบแต่ละชนิด ณ เวลาต่างกัน

Type of porcelains	Storage media	Mean surface hardness ( $\text{kg/mm}^2$ ) (SD) at different time (hours)					
		0	24	48	72	96	168
Feldspathic porcelain	Control	575.7	576.3	575.4	576.1	577.1	576.1
		(37.1)	(33.6)	(40.1)	(35.1)	(35.8)	(42.1)
	Citrate buffer solution	575.2	560.8 <sup>a</sup>	554.1 <sup>a</sup>	548.1	543.5	527.1
	Mango juice	574.8	556.9 <sup>c</sup>	529.6 <sup>c</sup>	527.6	516.1	509.6
	Pineapple juice	576.1 <sup>b</sup>	567.1	564.6	562.8	559.2	531.2 <sup>b</sup>
Aluminous porcelain	4% Acetic acid	573.6 <sup>d</sup>	520.5 <sup>d</sup>	517.8 <sup>d</sup>	453.2 <sup>d</sup>	450.6	449.4
		(20.5)	(40.1)	(42.9)	(27.7)	(23.5)	(19.8)
	Control	565.8	563.6	563.1	566.8	563.1	566.6
		(15.4)	(20.6)	(20.8)	(22.7)	(21.2)	(16.9)
	Citrate buffer solution	573.4	549.4	543.4 <sup>f</sup>	510.7 <sup>f</sup>	507.5	506.2
High-leucite porcelain	Mango juice	580.5 <sup>h</sup>	544.9 <sup>h</sup>	508.1	489.9	487.1	466.1
		(23.1)	(23.4)	(48.7)	(145.8)	(38.9)	(77.9)
	Pineapple juice	570.8 <sup>g</sup>	548.2 <sup>g</sup>	547.9	539.8	533.1	525.2
		(10.8)	(30.5)	(14.4)	(47.7)	(38.4)	(20.4)
	4% Acetic acid	586.2 <sup>j</sup>	522.5 <sup>h</sup>	482.9 <sup>h</sup>	481.9	459.3	455.4
Fluorapatite porcelain		(20.7)	(15.9)	(30.9)	(31.3)	(46.8)	(53.5)
	Control	664.2	664.1	666.9	666.1	666.3	666.1
		(57.3)	(45.5)	(53.9)	(63.1)	(48.1)	(50.9)
	Citrate buffer solution	661.9	637.9 <sup>k</sup>	636.4 <sup>k</sup>	628.6	602.9	595.9
	Mango juice	663.51 <sup>m</sup>	649.37	632.37 <sup>m</sup>	658.1 <sup>n</sup>	589.2 <sup>n</sup>	586.7
		(18.66)	(41.85)	(38.54)	(31.1)	(30.5)	(25.7)
	Pineapple juice	657.9 <sup>l</sup>	644.1	637.9	625.5	613.6	602.6 <sup>l</sup>
		(9.2)	(22.5)	(17.9)	(24.6)	(24.9)	(7.2)
	4% Acetic acid	664.3	635.2	634.5 <sup>o</sup>	584.2 <sup>o</sup>	581.8 <sup>o</sup>	551.2 <sup>o</sup>
		(33.8)	(31.3)	(33.8)	(39.7)	(34.8)	(26.7)

\*<sup>a-z</sup> The same superscript letters were statistically significant difference at  $p < .05$



รูปที่ 1 แสดงค่าเฉลี่ยความแข็งผิวและส่วนเบี่ยงเบนมาตรฐานของพอร์ซเลน 4 ชนิดเมื่อแช่ในสารทดสอบแต่ละชนิด ณ เวลาต่างกัน

#### ตารางที่ 4 ความแข็งผิวของพอร์ซเลนแต่ละชนิดในสารทดสอบต่างชนิดกัน

Level of hardness	Type of porcelain			
	Feldspathic porcelain	Aluminous porcelain	High leucite porcelain	Fluorapatite porcelain
High	Control <sup>a</sup>	Control <sup>a</sup>	Control <sup>a</sup>	Control <sup>a</sup>
	Pineapple juice <sup>a,b</sup>	Pineapple juice <sup>b</sup>	Pineapple juice <sup>b</sup>	Pineapple juice <sup>a</sup>
	Citrate buffer solution <sup>a,b</sup>	Citrate buffer solution <sup>b</sup>	Citrate buffer solution <sup>b</sup>	Mango juice <sup>b</sup>
	Mango juice <sup>b</sup>	Mango juice <sup>c</sup>	Mango juice <sup>b</sup>	Citrate buffer solution <sup>b,c</sup>
Low	4% acetic acid <sup>c</sup>	4% acetic acid <sup>c</sup>	4% acetic acid <sup>b</sup>	4% acetic acid <sup>c</sup>

<sup>a-c</sup> The superscript letters in each group showed statistically significant difference at  $p < .05$

เมื่อพิจารณาชนิดสารทดสอบต่อความแข็งผิวของพอร์ซเลนทั้ง 4 ชนิดเมื่อแข็งในสารทดสอบแต่ละชนิดเป็นดังตารางที่ 5 นั้นคือพอร์ซเลนที่มีลูไซต์ปริมาณสูงมีค่าความแข็งผิวสูงสุดเมื่อเวลาเปลี่ยนแปลงไม่ว่าแข็งในสารทดสอบชนิดใด ชนิดสารทดสอบไม่มีผลต่อความแข็งผิวมากนัก ในขณะที่ฟลูออโรพาไทต์พอร์ซเลนมีค่าความแข็งผิวน้อยที่สุด ชนิดสารทดสอบค่อนข้างมีผลต่อค่าความแข็งผิว อย่างไรก็ตามเนื่องจากความแข็งผิวเริ่มต้นของพอร์ซเลนทั้ง 4 ชนิดมีค่าแตกต่างกัน ดังนั้นเพื่อให้เห็นภาพความแข็งผิวที่ลดลงชัดเจนขึ้น จึงแสดงร้อยละความแข็งผิวลดลงเฉลี่ยและส่วนเบี่ยงเบนมาตรฐานระหว่างความแข็งผิวก่อนเริ่มทดสอบและหลังจากทดสอบ 168 ชั่วโมงดังตารางที่ 6 พบว่า พอร์ซเลนทุกชนิดมีความแข็งผิวเฉลี่ยลดลงมากที่สุดเมื่อแข็งในสารละลายน้ำกรดอะซิติกความเข้มร้อยละ 4 และมีความแข็งผิวเฉลี่ยลดลงมากที่สุดเมื่อแข็งในน้ำกลั่น (กลุ่มควบคุม)

ตารางที่ 5 ลำดับค่าความแข็งผิวของพอร์ซเลนหั่ง 4 ชนิดในแต่ละสารทดสอบ

Level of hardness	Storage media				
	Control	Citrate buffer solution	Mango juice	Pineapple juice	4% acetic acid
High	High leucite porcelain <sup>a</sup>	High leucite porcelain <sup>a</sup>	High leucite porcelain <sup>a</sup>	High leucite porcelain <sup>a</sup>	High leucite porcelain <sup>a</sup>
	Feldspathic porcelain <sup>b</sup>	Feldspathic porcelain <sup>b</sup>	Feldspathic porcelain <sup>b,c</sup>	Feldspathic porcelain <sup>b</sup>	Aluminous porcelain <sup>b</sup>
	Aluminous porcelain <sup>b</sup>	Aluminous porcelain <sup>c</sup>	Aluminous porcelain <sup>b,c</sup>	Aluminous porcelain <sup>c</sup>	Feldspathic porcelain <sup>b</sup>
Low	Fluorapatite porcelain <sup>b</sup>	Fluorapatite porcelain <sup>c</sup>	Fluorapatite porcelain <sup>c</sup>	Fluorapatite porcelain <sup>c</sup>	Fluorapatite porcelain <sup>b</sup>

<sup>a-d</sup> The superscript letters in each group showed statistically significant difference at  $p < .05$

ตารางที่ 6 ร้อยละความแข็งผิวลดลงเฉลี่ยและส่วนเบี่ยงเบนมาตรฐานระหว่างความแข็งผิวก่อนเริ่มทดสอบและหลังจากทดสอบ 168 ชั่วโมง

Storage media	Type of porcelain			
	Feldspathic porcelain	Aluminous porcelain	High leucite porcelain	Fluorapatite porcelain
Control	0.5 (0.9)	4.5 (2.2)	3.8 (2.8)	5.3 (3.5)
Citrate buffer solution	8.0 (6.2)	12.8 (8.6)	9.8 (3.8)	16.8 (7.4)
Mango juice	7.4 (9.2)	7.9 (4.3)	8.4 (0.9)	9.6 (9.4)
Pineapple juice	11.1 (6.4)	21.4 (9.9)	14.9 (6.2)	16.8 (6.2)
4% acetic acid	21.5 (3.7)	23.6 (13.9)	16.8 (4.8)	23.2 (6.3)

## ความหมายผิว

การเปลี่ยนแปลงความหมายผิวของพอร์ชเลนทั้ง 4 ชนิดเมื่อเทียบในสารทดสอบแต่ละชนิดพิจารณาจากค่าตัวแปร 4 ตัวคือ Ra Rmax Rz และ Sm โดยจากการที่ 7 แสดงการวิเคราะห์ข้อมูลด้วยสถิติกារทดสอบความแปรปรวนสองทางแบบวัดซ้ำ เมื่อพิจารณาผลของตัวแปร 2 อย่าง (ชนิดของพอร์ชเลนและสารทดสอบ) ที่มีต่อค่าความหมายผิว ณ เวลาต่างกัน ซึ่งจากการวิเคราะห์ผลด้วยสถิติกារทดสอบความแปรปรวนสองทางแบบวัดซ้ำที่ระดับนัยสำคัญ .05 พบว่า ค่า Ra R max และ Rz ชนิดของพอร์ชเลน สารทดสอบ และปฏิสัมพันธ์ระหว่างตัวแปรทั้งสองมีผลต่อค่าความแข็งผิวอย่างมีนัยสำคัญทางสถิติ ( $p < .05$ ) ในขณะที่ค่า Sm ชนิดพอร์ชเลนไม่มีผลอย่างมีนัยสำคัญทางสถิติ ( $p > .05$ ) ส่วนสารทดสอบ และปฏิสัมพันธ์ระหว่างตัวแปรทั้งสองมีผลต่อค่าความแข็งผิวอย่างมีนัยสำคัญทางสถิติ ( $p < .05$ ) ดังนั้นการพิจารณาความหมายผิวต้องคำนึงถึงผลดังกล่าว ซึ่งขอแยกพิจารณาตัวแปรทั้ง 4 ตัวดังนี้

ตารางที่ 8 และรูปที่ 2 แสดงค่าเฉลี่ย Ra และส่วนเบี่ยงเบนมาตรฐานของพอร์ชเลนทั้ง 4 ชนิดเมื่อเทียบในสารทดสอบแต่ละชนิด ณ เวลาต่างกัน เมื่อพิจารณาค่า Ra ของพอร์ชเลนแต่ละชนิดเมื่อแบ่งกลุ่มอย่างสุ่มสำหรับเชิงสารทดสอบแต่ละชนิดก่อนเริ่มทดลอง (0 ชั่วโมง) พบว่า มีค่าไม่แตกต่างกันอย่างมีนัยสำคัญทางสถิติ ( $p > .05$ ) และเมื่อพิจารณาค่า Ra ของพอร์ชเลนแต่ละชนิดเมื่อเทียบในสารทดสอบแต่ละชนิดพบว่า พอร์ชเลนทุกชนิดมีค่า Ra เพิ่มขึ้นเมื่อเทียบในการทดสอบเชิงสารทดสอบแต่ละชนิดพบว่า พอร์ชเลนทุกชนิดมีค่า Ra เพิ่มขึ้นเมื่อเทียบในการทดสอบเชิงสารทดสอบแต่ละชนิด ( $p < .05$ ) ในขณะที่ค่า Ra ไม่มีการเปลี่ยนแปลงเมื่อเทียบในสารละลายซิเท雷ตบัฟเฟอร์ น้ำสับปะรด น้ำมะม่วงและน้ำกลั่น (กลุ่มควบคุม) อย่างมีนัยสำคัญทางสถิติ ( $p > .05$ )

ตารางที่ 9 และรูปที่ 3 แสดงค่าเฉลี่ย Rmax และส่วนเบี่ยงเบนมาตรฐานของพอร์ชเลนทั้ง 4 ชนิดเมื่อเทียบในสารทดสอบแต่ละชนิด ณ เวลาต่างกัน เมื่อพิจารณาค่า Rmax ของพอร์ชเลนแต่ละชนิดเมื่อแบ่งกลุ่มอย่างสุ่มสำหรับเชิงสารทดสอบแต่ละชนิดก่อนเริ่มทดลอง (0 ชั่วโมง) พบว่า มีค่าไม่แตกต่างกันอย่างมีนัยสำคัญทางสถิติ ( $p > .05$ ) และเมื่อพิจารณาค่า Rmax ของพอร์ชเลนแต่ละชนิดเมื่อเทียบในสารทดสอบแต่ละชนิดพบว่า มีแนวโน้มเพิ่มขึ้นเดียวกับค่า Ra นั่นคือพอร์ชเลนทุกชนิดยกเว้นพอร์ชเลนที่มีลูไซต์ปริมาณสูง มีค่า Rmax เพิ่มขึ้นเมื่อเทียบในการทดสอบเชิงสารทดสอบแต่ละชนิด ( $p < .05$ ) โดยเพล็ทสปาร์ทิกพอร์ชเลนพบค่า Rmax เพิ่มขึ้นใน 48 ชั่วโมง ( $p = .026$ ) อะลูมินัสพอร์ชเลนและฟลูออแอกพาไทด์พอร์ชเลนพบค่า Rmax เพิ่มขึ้นใน 24 ชั่วโมง ( $p = .001$ ) ในขณะที่ค่า Rmax ไม่มีการเปลี่ยนแปลงเมื่อเทียบในสารละลายซิเท雷ตบัฟเฟอร์ น้ำสับปะรด น้ำมะม่วงและน้ำกลั่น (กลุ่มควบคุม) อย่างมีนัยสำคัญทางสถิติ ( $p > .05$ )

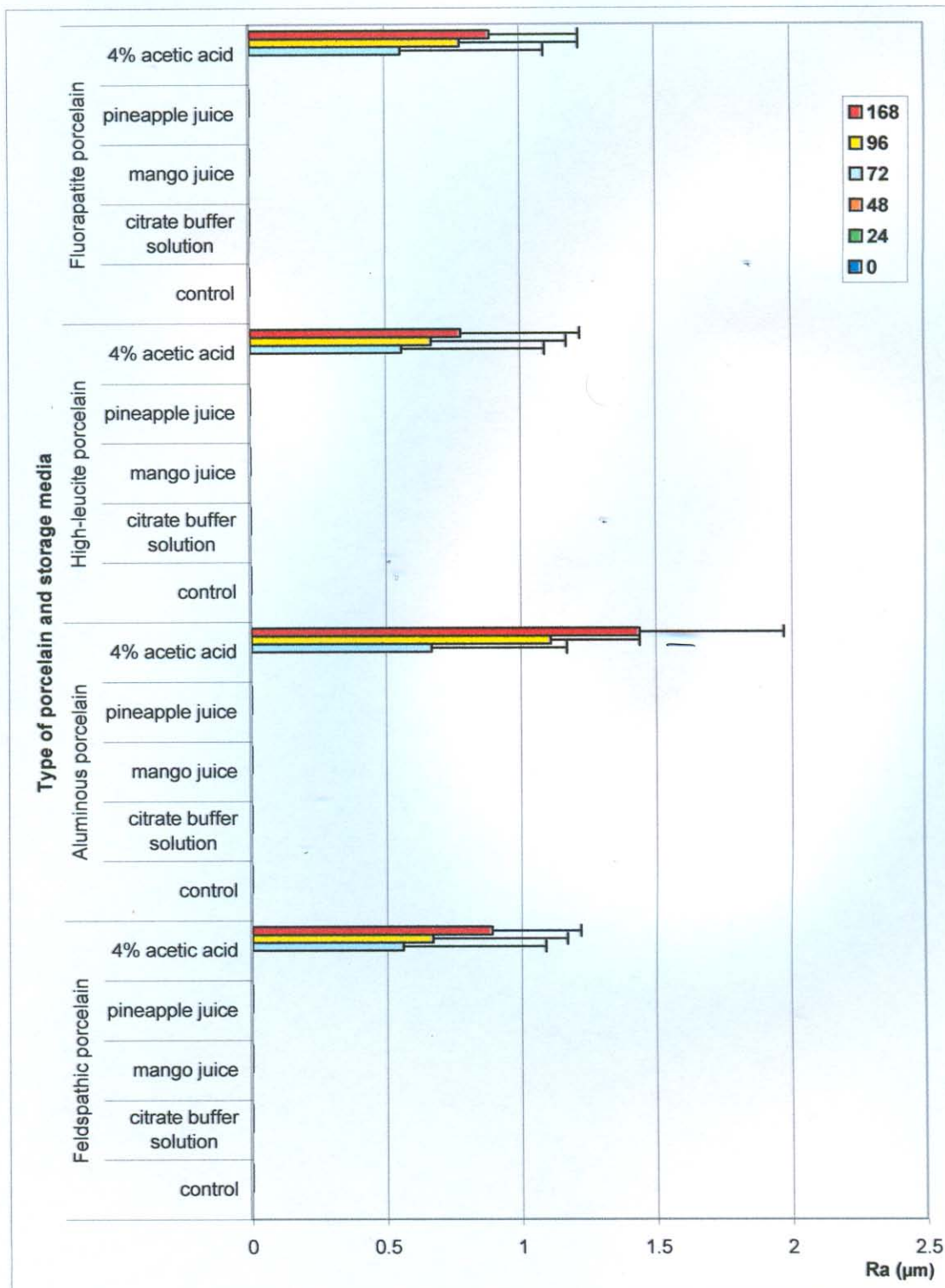
ตารางที่ 7 ผลการวิเคราะห์ข้อมูลด้วยสถิติกារทดสอบความแปรปรวนของทางแบบวัดช้า

Source	Roughness parameter							
	Ra		Rmax		Rz		Sm	
	F	p-value	F	p-value	F	p-value	F	p-value
Intercept	239.186	.001	3494.659	.001	4515.050	.001	572.844	.001
Type of Porcelain	3.977	.009	42.265	.001	104.646	.001	1.934	.126
Type of Storage	239.186	.001	78.999	.001	109.556	.001	572.844	.001
Media								
Interaction Between type of porcelain and storage media	3.977	.001	11.402	.001	20.695	.001	1.934	.034

ตารางที่ 8 ค่าเฉลี่ย Ra และส่วนเบี่ยงเบนมาตรฐานของพอร์ซิลิน 4 ชนิดเมื่อแช่ในสารทดสอบแต่ละชนิด ณ เวลาต่างกัน

Type of porcelain	Storage media	Mean Ra ( $\mu\text{m}$ ) (SD) at different time (hours)					
		0	24	48	72	96	168
Feldspathic porcelain	Control	0	0	0	0	0	0
	Citrate buffer solution	0	0	0	0	0	0
	Mango juice	0	0	0	0	0	0
	Pineapple juice	0	0	0	0	0	0
	4% Acetic acid	0	0	0 <sup>a</sup>	0.6 <sup>a</sup> (0.5)	0.7 (0.5)	0.9 (0.3)
Aluminous porcelain	Control	0	0	0	0	0	0
	Citrate buffer solution	0	0	0	0	0	0
	Mango juice	0	0	0	—	0	0
	Pineapple juice	0	0	0	0	0	0
	4% Acetic acid	0	0	0 <sup>b</sup>	0.7 <sup>b</sup> (0.5)	1.1 (0.3)	1.4 (0.5)
High-leucite porcelain	Control	0	0	0	0	0	0
	Citrate buffer solution	0	0	0	0	0	0
	Mango juice	0	0	0	0	0	0
	Pineapple juice	0	0	0	0	0	0
	4% Acetic acid	0	0	0 <sup>c</sup>	0.6 <sup>c</sup> (0.5)	0.7 (0.5)	0.8 (0.4)
Fluorapatite porcelain	Control	0	0	0	0	0	0
	Citrate buffer solution	0	0	0	0	0	0
	Mango juice	0	0	0	0	0	0
	Pineapple juice	0	0	0	0	0	0
	4% Acetic acid	0	0	0 <sup>d</sup>	0.6 <sup>d</sup> (0.5)	0.8 (0.4)	0.9 (0.3)

<sup>a-d</sup>The same superscript letters were statistically significant difference at  $p < .05$

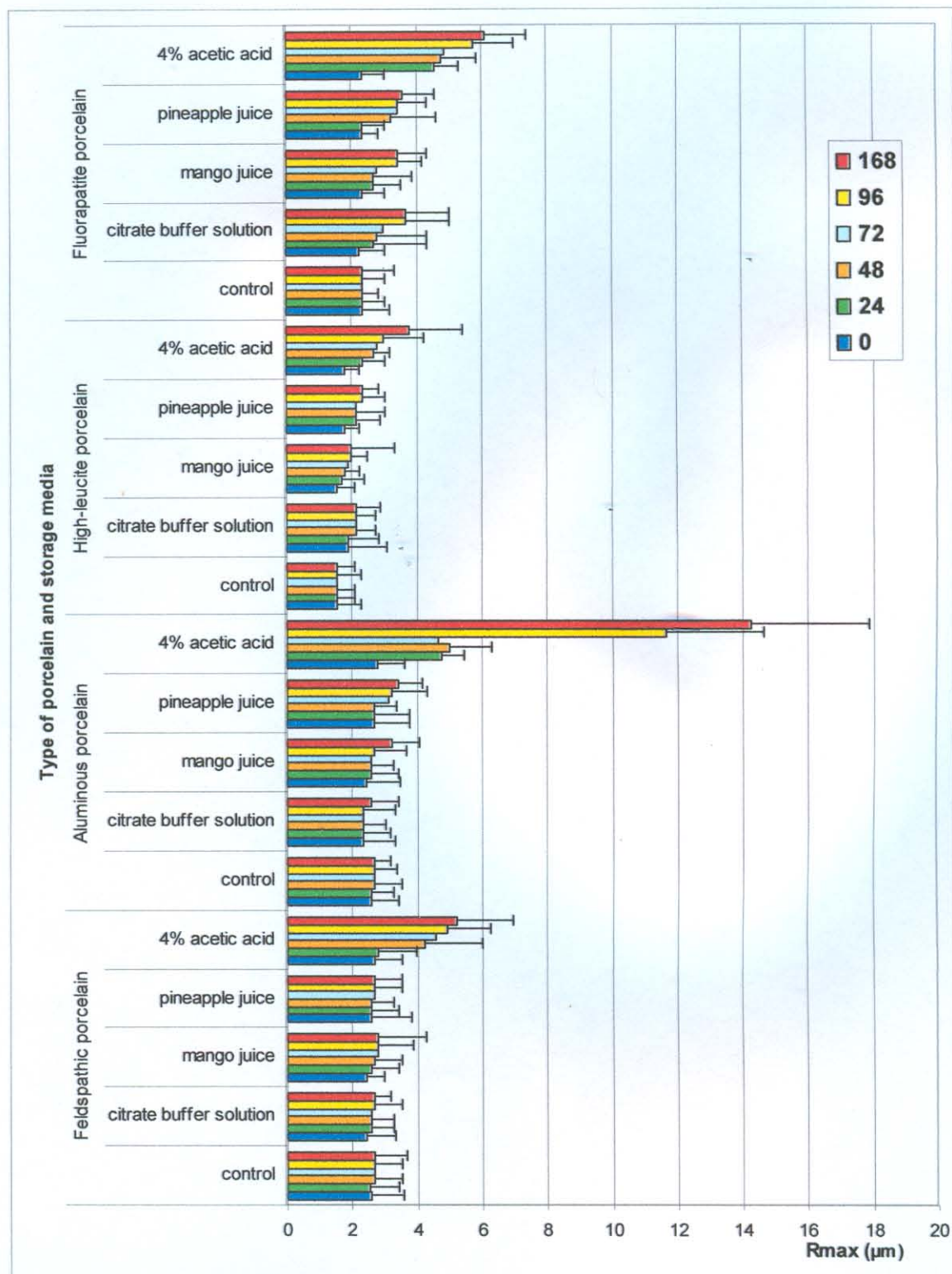


รูปที่ 2 แสดงค่าเฉลี่ย Ra และส่วนเบี่ยงเบนมาตรฐานของพอร์ซเลน 4 ชนิดเมื่อแช่ในสารทดสอบแต่ละชนิด ณ เวลาต่างกัน

ตารางที่ 9 ค่าเฉลี่ย Rmax และส่วนเบี่ยงเบนมาตรฐานของพอร์ซเลน 4 ชนิดเมื่อแช่ในสารทดสอบแต่ละชนิด  
ณ เวลาต่างกัน

Type of porcelain	Storage media	Mean Rmax ( $\mu\text{m}$ ) (SD) at different time (hours)					
		0	24	48	72	96	168
Feldspathic porcelain	Control	2.6 (1.1)	2.6 (0.9)	2.7 (0.9)	2.7 (1.1)	2.7 (0.9)	2.7 (1.1)
	Citrate buffer solution	2.4 (0.9)	2.6 (0.7)	2.6 (0.7)	2.6 (0.9)	2.7 (0.9)	2.7 (0.5)
	Mango juice	2.4 (0.5)	2.6 (0.9)	2.7 (0.9)	2.9 (1.2)	2.8 (1.1)	2.8 (1.5)
	Pineapple juice	2.6 (1.2)	2.6 (0.9)	2.6 (0.7)	2.7 (1.1)	2.7 (0.9)	2.7 (0.9)
	4% Acetic acid	2.7 (0.9)	2.8 <sup>a</sup> (1.2)	4.2 <sup>a</sup> (1.8)	4.6 (2.7)	4.9 (1.4)	5.2 (1.7)
Aluminous porcelain	Control	2.6 (0.9)	2.6 (0.7)	2.7 (0.9)	2.7 (0.7)	2.7 (0.7)	2.7 (0.5)
	Citrate buffer solution	2.3 (1.1)	2.3 (0.9)	2.3 (0.7)	2.3 (0.9)	2.3 (1.1)	2.6 (0.9)
	Mango juice	2.4 (1.1)	2.6 (0.9)	2.6 (0.7)	2.6 (1.3)	2.7 (1.1)	3.2 (0.8)
	Pineapple juice	2.7 (1.1)	2.7 (1.1)	2.7 (0.7)	3.1 (0.8)	3.2 (1.1)	3.4 (0.7)
	4% Acetic acid	2.8 <sup>b</sup> (0.8)	4.8 <sup>b</sup> (0.7)	5.1 (1.3)	4.7 <sup>c</sup> (0.5)	11.7 <sup>c,d</sup> (2.9)	14.2 <sup>d</sup> (3.6)
High-leucite porcelain	Control	1.6 (0.7)	1.6 (0.5)	1.6 (0.5)	1.6 (0.5)	1.6 (0.7)	1.6 (0.5)
	Citrate buffer solution	1.9 (1.2)	1.9 (0.9)	2.1 (0.6)	2.1 (1.1)	2.1 (0.6)	2.1 (0.8)
	Mango juice	1.6 (0.5)	1.7 (0.7)	1.8 (0.4)	1.9 (0.3)	2.1 (0.5)	2.1 (1.3)
	Pineapple juice	1.8 (0.4)	2.1 (0.8)	2.1 (0.9)	2.1 (0.9)	2.3 (0.7)	2.3 (0.5)
	4% Acetic acid	1.8 (0.4)	2.3 (0.7)	2.7 (0.5)	2.8 (1.1)	3.1 (1.2)	3.8 (1.6)
Fluorapatite porcelain	Control	2.3 (0.8)	2.3 (0.7)	2.3 (0.5)	2.3 (0.5)	2.3 (0.7)	2.3 (1.1)
	Citrate buffer solution	2.2 (0.8)	2.7 (1.7)	2.8 (1.6)	3.1 (0.8)	3.7 (1.3)	3.7 (1.3)
	Mango juice	2.3 (0.7)	2.7 (0.8)	2.7 (1.2)	2.8 (1.3)	3.4 (0.7)	3.4 (0.9)
	Pineapple juice	2.3 (0.5)	2.3 (0.7)	3.2 (1.4)	3.4 (1.1)	3.4 (0.9)	3.6 (1.1)
	4% Acetic acid	2.3 <sup>a</sup> (0.7)	4.6 <sup>a</sup> (0.7)	4.8 (1.1)	4.9 (0.8)	5.8 (1.2)	6.1 (1.3)

<sup>\*\*</sup>The same superscript letters were statistically significant difference at  $p < .05$



รูปที่ 3 แสดงค่าเฉลี่ย Rmax และส่วนเบี่ยงเบนมาตรฐานของพอร์ซเลน 4 ชนิดเมื่อแช่ในสารทดสอบแต่ละชนิด ณ เวลาต่างกัน

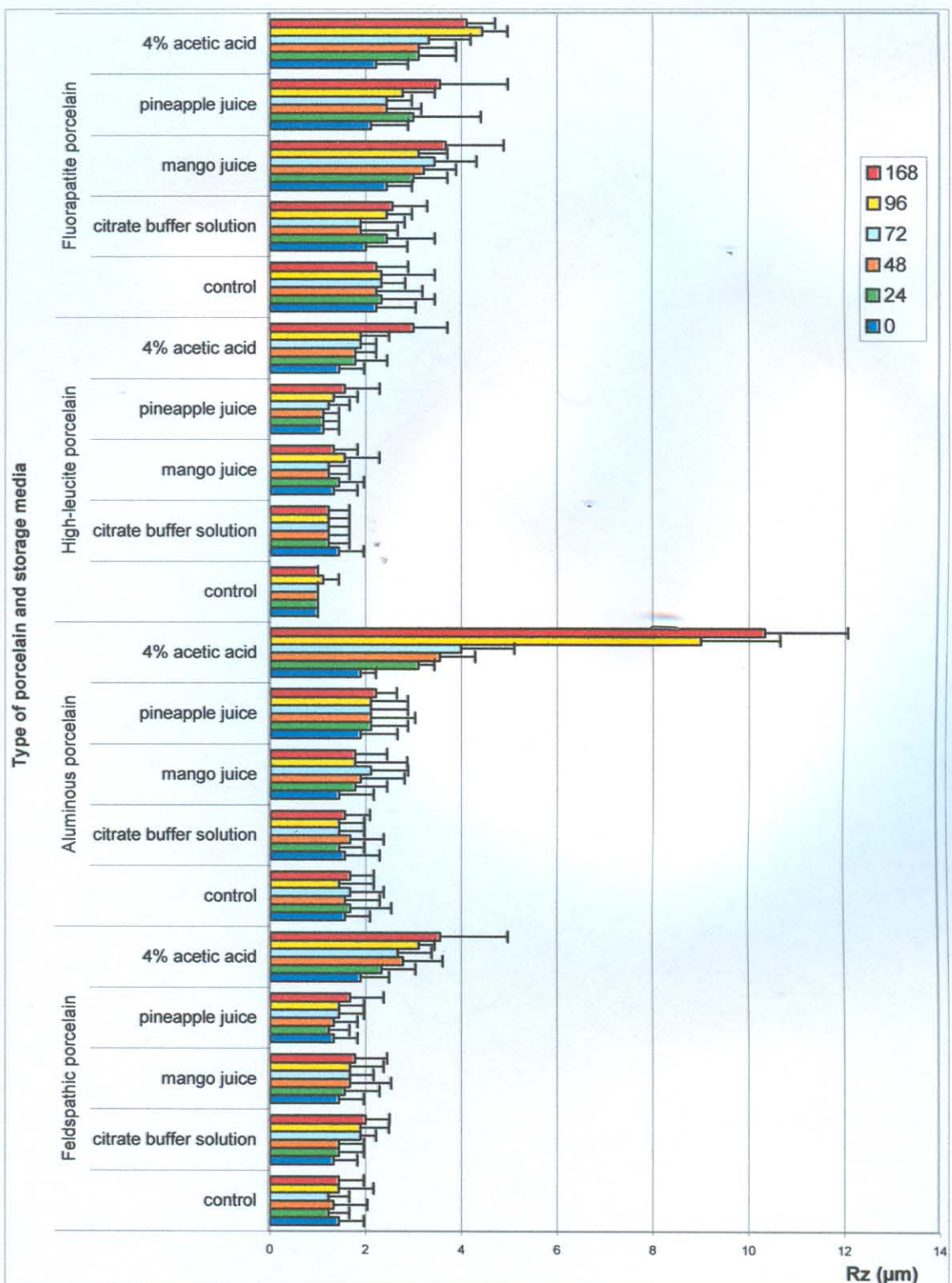
ตารางที่ 10 และรูปที่ 4 แสดงค่าเฉลี่ย Rz และส่วนเบี่ยงเบนมาตรฐานของพอร์ชเลน 4 ชนิดเมื่อเช่นในสารทดสอบแต่ละชนิด ณ เวลาต่างกันพบว่า เมื่อพิจารณาค่า Rz ของพอร์ชเลนแต่ละชนิดเมื่อแบ่งกลุ่มอย่างสุ่มสำหรับเช่นในสารทดสอบแต่ละชนิดก่อนเริ่มทดลอง ( $0 \text{ ชั่วโมง}$ ) พบว่า มีค่าไม่แตกต่างกันอย่างมีนัยสำคัญทางสถิติ ( $p > .05$ ) และเมื่อพิจารณาค่า Rz ของพอร์ชเลนแต่ละชนิดเมื่อเช่นในสารทดสอบแต่ละชนิดพบว่า มีแนวโน้มในพิศทางเดียวกับค่า Rmax นั่นคือพอร์ชเลนทั้ง 4 ชนิดมีค่า Rz เพิ่มขึ้นเมื่อเช่นในการทดสอบเชิงความเข้มร้อยละ 4 อย่างมีนัยสำคัญทางสถิติ ( $p < .05$ ) โดยเฟล์ดสปาร์กพอร์ชเลนและอะลูมิเนียมพอร์ชเลนพบค่า Rz เพิ่มขึ้นใน 24 ชั่วโมง ( $p = .035$  และ  $.001$  ตามลำดับ) พลูออแอกพาไทด์พอร์ชเลนพบค่า Rz เพิ่มขึ้นใน 72 ชั่วโมง ( $p = .04$ ) และพอร์ชเลนที่มีสูตรปริมาณสูงพบค่า Rz เพิ่มขึ้นใน 168 ชั่วโมง ในขณะที่ค่า Rz ของพอร์ชเลนทั้ง 4 ชนิดไม่มีการเปลี่ยนแปลงเมื่อเช่นในสารละลายซิเทրตบัฟเฟอร์ น้ำสับปะรด น้ำมะม่วงและน้ำกากลัน (กลุ่มควบคุม) อย่างมีนัยสำคัญทางสถิติ ( $p > .05$ )

ตารางที่ 11 และรูปที่ 5 แสดงค่าเฉลี่ย Sm และส่วนเบี่ยงเบนมาตรฐานของพอร์ชเลน 4 ชนิดเมื่อเช่นในสารทดสอบแต่ละชนิด ณ เวลาต่างกันพบว่า เมื่อพิจารณาค่า Sm ของพอร์ชเลนแต่ละชนิดเมื่อแบ่งกลุ่มอย่างสุ่มสำหรับเช่นในสารทดสอบแต่ละชนิดก่อนเริ่มทดลอง ( $0 \text{ ชั่วโมง}$ ) พบว่า มีค่าไม่แตกต่างกันอย่างมีนัยสำคัญทางสถิติ ( $p > .05$ ) และเมื่อพิจารณาค่า Sm ของพอร์ชเลนแต่ละชนิดเมื่อเช่นในสารทดสอบแต่ละชนิดพบว่า พอร์ชเลนทั้ง 4 ชนิดมีค่า Sm เพิ่มขึ้นเมื่อเช่นในการทดสอบเชิงความเข้มร้อยละ 4 เป็นเวลา 72 ชั่วโมงอย่างมีนัยสำคัญทางสถิติ ( $p < .05$ ) ในขณะที่ค่า Sm ไม่มีการเปลี่ยนแปลงเมื่อเช่นในสารละลายซิเทรตบัฟเฟอร์ น้ำสับปะรด น้ำมะม่วงและน้ำกากลัน (กลุ่มควบคุม) อย่างมีนัยสำคัญทางสถิติ ( $p > .05$ ) นั่นคือชนิดพอร์ชเลนไม่มีผลต่อการเปลี่ยนแปลงค่า Sm

ตารางที่ 10 ค่าเฉลี่ย Rz และส่วนเบี่ยงเบนมาตรฐานของพอร์ซิลิน 4 ชนิดเมื่อแช่ในสารทดสอบแต่ละชนิด  
ณ เวลาต่างกัน

Type of porcelain	Storage media	Mean Rz ( $\mu\text{m}$ ) (SD) at different time (hours)					
		0	24	48	72	96	168
Feldspathic porcelain	Control	1.4 (0.5)	1.2 (0.4)	1.3 (0.7)	1.2 (0.4)	1.4 (0.7)	1.4 (0.5)
	Citrate buffer solution	1.3 (0.5)	1.4 (0.5)	1.4 (0.5)	1.9 (0.3)	1.9 (0.6)	2.1 (0.5)
	Mango juice	1.4 (0.5)	1.6 (0.7)	1.7 (0.9)	1.7 (0.5)	1.7 (0.7)	1.8 (0.7)
	Pineapple juice	1.3 (0.5)	1.2 (0.4)	1.3 (0.5)	1.4 (0.5)	1.4 (0.5)	1.7 (0.7)
	4% Acetic acid	1.9 <sup>a</sup> (0.6)	2.3 <sup>a</sup> (0.7)	2.8 (0.8)	2.7 (0.7)	3.1 (0.3)	3.6 (1.4)
Aluminous porcelain	Control	1.6 (0.5)	1.7 (0.9)	1.6 (0.4)	1.7 (0.7)	1.4 (0.7)	1.7 (0.5)
	Citrate buffer solution	1.6 (0.7)	1.4 (0.5)	1.7 (0.7)	1.4 (0.5)	1.4 (0.5)	1.6 (0.5)
	Mango juice	1.4 (0.7)	1.8 (0.7)	1.9 (0.9)	2.1 (0.8)	1.8 (1.1)	1.8 (0.7)
	Pineapple juice	1.9 (0.8)	2.1 (0.8)	2.1 (0.9)	2.1 (0.8)	2.1 (0.8)	2.2 (0.4)
	4% Acetic acid	1.9 <sup>b</sup> (0.3)	3.1 <sup>b</sup> (0.3)	3.6 (0.7)	4.1 (1.1)	9.1 (1.7)	10.3 (1.7)
High-leucite porcelain	Control	1.0 (0.0)	1.0 (0.0)	1.0 (0.0)	1.0 (0.0)	1.1 (0.3)	1.0 (0.0)
	Citrate buffer solution	1.4 (0.5)	1.2 (0.4)	1.2 (0.4)	1.2 (0.4)	1.2 (0.4)	1.2 (0.4)
	Mango juice	1.3 (0.5)	1.4 (0.5)	1.2 (0.4)	1.2 (0.4)	1.6 (0.7)	1.3 (0.5)
	Pineapple juice	1.1 (0.3)	1.1 (0.3)	1.1 (0.3)	1.2 (0.4)	1.3 (0.5)	1.6 (0.7)
	4% Acetic acid	1.4 (0.5)	1.8 (0.7)	1.8 (0.4)	1.9 (0.3)	1.9 <sup>c</sup> (0.6)	3.1 <sup>c</sup> (0.7)
Fluorapatite porcelain	Control	2.2 (0.8)	2.3 (1.1)	2.2 (0.9)	2.3 (0.5)	2.3 (1.1)	2.2 (0.7)
	Citrate buffer solution	2.1 (0.9)	2.4 (1.1)	1.9 (0.8)	1.9 (0.9)	2.4 (0.5)	2.6 (0.7)
	Mango juice	2.4 (0.5)	3.1 (0.7)	3.2 (0.7)	3.4 (0.9)	3.1 (0.6)	3.7 (1.2)
	Pineapple juice	2.1 (0.8)	3.1 (1.4)	2.4 (0.7)	2.4 (0.5)	2.8 (0.7)	3.3 (1.2)
	4% Acetic acid	2.2 <sup>d</sup> (0.7)	3.1 (0.8)	3.1 (0.8)	3.3 <sup>d</sup> (0.9)	4.4 (0.5)	4.1 (0.6)

\*<sup>a-d</sup> The same superscript letters were statistically significant difference at  $p < .05$

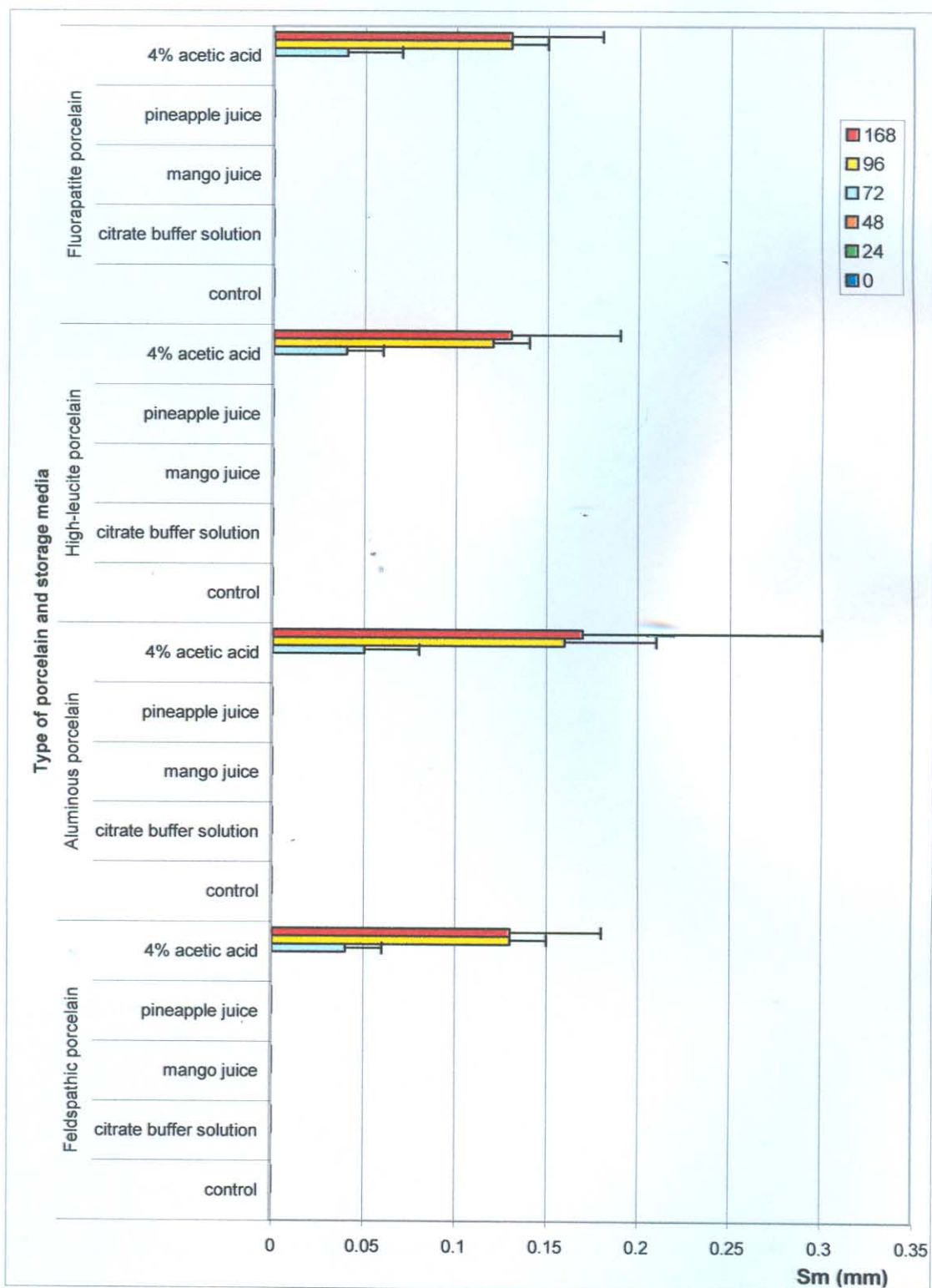


รูปที่ 4 แสดงค่าเฉลี่ย Rz และส่วนเบี่ยงเบนมาตรฐานของพอร์ซเลน 4 ชนิดเมื่อแช่ในสารทดสอบแต่ละชนิดเวลาต่างกัน

ตารางที่ 11 ค่าเฉลี่ย Sm และส่วนเบี่ยงเบนมาตรฐานของพอร์ซิลิน 4 ชนิดเมื่อแช่ในสารทดสอบแต่ละชนิด  
ณ เวลาต่างกัน

Type of porcelain	Storage media	Mean Sm (mm) (SD) at different time (hours)					
		0	24	48	72	96	168
Feldspathic porcelain	Control	0	0	0	0	0	0
	Citrate buffer solution	0	0	0	0	0	0
	Mango juice	0	0	0	0	0	0
	Pineapple juice	0	0	0	0	0	0
	4% Acetic acid	0	0	0 <sup>a</sup>	0.04 <sup>a</sup> (.02)	0.13 (.02)	0.13 (.05)
Aluminous porcelain	Control	0	0	0	0	0	0
	Citrate buffer solution	0	0	0	0	0	0
	Mango juice	0	0	0	0	0	0
	Pineapple juice	0	0	0	0	0	0
	4% Acetic acid	0	0	0 <sup>b</sup>	0.05 <sup>b</sup> (.03)	0.16 (.05)	0.17 (.13)
High-leucite porcelain	Control	0	0	0	0	0	0
	Citrate buffer solution	0	0	0	0	0	0
	Mango juice	0	0	0	0	0	0
	Pineapple juice	0	0	0	0	0	0
	4% Acetic acid	0	0	0 <sup>c</sup>	0.04 <sup>c</sup> (.02)	0.12 (.02)	0.13 (.06)
Fluorapatite porcelain	Control	0	0	0	0	0	0
	Citrate buffer solution	0	0	0	0	0	0
	Mango juice	0	0	0	0	0	0
	Pineapple juice	0	0	0	0	0	0
	4% Acetic acid	0	0	0 <sup>d</sup>	0.04 <sup>d</sup> (.03)	0.13 (.02)	0.13 (.05)

<sup>a-d</sup> The same superscript letters were statistically significant difference at  $p < .05$



รูปที่ 5 แสดงค่าเฉลี่ย Sm และส่วนเบี่ยงเบนมาตรฐานของพอร์ซเลน 4 ชนิดเมื่อ放เข้าในสารทดสอบแต่ละชนิด ณ เวลาต่างกัน

ตารางที่ 12 แสดงผลของสารทดสอบ (เนื้องจากเฉพาะสารละลายกรดอะซิติกความเข้มร้อยละ 4 ที่ก่อให้เกิดการเปลี่ยนแปลง จึงแสดงเฉพาะสารละลายกรดอะซิติก) ที่มีต่อค่าความหยาบผิวของพอร์ซเลนทั้ง 4 ชนิดจากค่าตัวแปรทั้ง 4 ( $R_a$   $R_{max}$   $R_z$  และ  $Sm$ ) นั่นคืออะลูминัสพอร์ซเลนมีค่าความหยาบผิวเปลี่ยนแปลงสูงสุด พอร์ซเลนที่มีลูไซต์ปริมาณสูง และเฟล์ดสปาร์กพอร์ซเลนมีการเปลี่ยนแปลงรองลงมา ในขณะที่ฟลูออเอฟพาไทต์พอร์ซเลนมีค่าความหยาบผิวเปลี่ยนแปลงน้อยที่สุด ชนิดสารทดสอบมีผลต่อค่าความแข็งผิว โดยพอร์ซเลนทั้ง 4 ชนิด ค่า  $Sm$  ไม่พบความแตกต่างอย่างมีนัยสำคัญทางสถิติ ( $p < .05$ ) แต่มีแนวโน้มค่า  $Sm$  เรียงจากมากไปน้อยดังนี้คืออะลูминัสพอร์ซเลน ฟลูออเอฟพาไทต์พอร์ซเลน พอร์ซเลนที่มีลูไซต์ปริมาณสูง และเฟล์ดสปาร์กพอร์ซเลน

ตารางที่ 12 ลำดับค่าความหยาบผิวของพอร์ซเลนทั้ง 4 ชนิดในสารละลายกรดอะซิติกความเข้มร้อยละ 4

Level of roughness	Storage media (4% acetic acid)			
	$R_a$	$R_{max}$	$R_z$	$Sm$
High	Aluminous porcelain	Aluminous porcelain	Aluminous porcelain	Aluminous porcelain <sup>ns</sup>
	High leucite porcelain	High leucite porcelain	High leucite porcelain	Fluorapatite porcelain <sup>ns</sup>
	Feldspathic porcelain	Feldspathic porcelain	Feldspathic porcelain	High leucite porcelain <sup>ns</sup>
	Fluorapatite porcelain	Fluorapatite porcelain	Fluorapatite porcelain	Feldspathic porcelain <sup>ns</sup>
Low				

<sup>ns</sup> Not statistically significant difference at  $p < .05$

## การละลายของธาตุจากชิ้นตัวอย่าง

สารทดสอบที่ใช้ เชื่นตัวอย่างพอร์ซเลนทั้ง 5 ชนิดได้แก่ สารละลายซีเทเรตบัฟเฟอร์ น้ำมันไมร์ส เปรี้ยว 2 ชนิดได้แก่ น้ำมะม่วง น้ำสับปะรด สารละลายกรดอะซิติกความเข้มร้อยละ 4 และน้ำกลั่น (กลุ่มควบคุม) นำมาตรวจหาธาตุที่ละลายออกจากชิ้นตัวอย่างพอร์ซเลนทั้ง 4 ชนิด ก่อนและหลังทดสอบเป็นเวลา 24 96 และ 168 ชั่วโมง โดยธาตุที่สามารถตรวจหา (15 ธาตุ) ได้แก่ หมู่ IA คือลิเทียม (Li) โซเดียม (Na) และโปแทสเซียม (K) หมู่ IIA คือ แมกนีเซียม (Mg) แคลเซียม (Ca) และแบบเรียม (Ba) หมู่ IIIA คือ ไบรอน (B) และอะลูมิเนียม (Al) หมู่ IVA คือซิลิกอน (Si) หมู่ VA คือฟอฟอรัส (P) และธาตุทรายซิชั่นได้แก่ หมู่ IIB คือสังกะสี (Zn) หมู่ IIIB คืออิตเตรียม (Y) หมู่ IVB คือไทเทเนียม (Ti) หมู่ VIB คือโครเมียม (Cr) และหมู่ VIIIB คือ แมกนานีส (Mn) การพิจารณาว่าธาตุใดละลายออกจากชิ้นตัวอย่างพิจารณาจากปริมาณธาตุที่เพิ่มขึ้นจากวันเริ่มต้นการทดลอง (0 ชั่วโมง) อย่างมีนัยสำคัญทางสถิติที่ระดับนัยสำคัญ .05

ตารางที่ 13 แสดงการวิเคราะห์ข้อมูลด้วยสถิติกាពหทดสอบความแปรปรวนสองทางแบบวัดซ้ำ เมื่อพิจารณาผลของตัวแปร 2 อย่าง (ชนิดของพอร์ซเลนและสารทดสอบ) ที่มีต่อการละลายของธาตุจากชิ้นตัวอย่างของพอร์ซเลน ณ เวลาต่างกัน ซึ่งจากการวิเคราะห์ผลด้วยสถิติกាពหทดสอบความแปรปรวนสองทางแบบวัดซ้ำที่ระดับนัยสำคัญ .05 พบว่า ชนิดสารทดสอบ และปฏิกิริยาพันธ์ระหว่างตัวแปรทั้งสองมีผลต่อปริมาณธาตุที่ละลายจากชิ้นตัวอย่างพอร์ซเลนอย่างมีนัยสำคัญทางสถิติ ( $p = .001$  และ  $0.01$  ตามลำดับ) ในขณะที่ชนิดของพอร์ซเลนไม่มีผลต่อปริมาณธาตุที่ละลายจากชิ้นตัวอย่างพอร์ซเลนอย่างมีนัยสำคัญทางสถิติ ( $p = .088$ ) ดังนั้นปริมาณธาตุที่ละลายจากชิ้นตัวอย่างพอร์ซเลนจึงขึ้นกับสารทดสอบแต่ละชนิดที่ใช้ เชื่นตัวอย่าง ซึ่งจากการที่ 14 แสดงปริมาณธาตุเริ่มต้นในสารทดสอบแต่ละชนิดพบว่า มีปริมาณธาตุที่ค่อนข้างแตกต่างกัน โดยน้ำมะม่วงและน้ำสับปะรดพบโปแทสเซียมมากที่สุด และสารละลายซีเทเรตบัฟเฟอร์พบโซเดียมมากที่สุด ในขณะที่ฟอฟอรัสพบในน้ำมะม่วงและน้ำสับปะรดเท่านั้น

ตารางที่ 15 และรูปที่ 6-10 แสดงค่าเฉลี่ยปริมาณธาตุและส่วนเบี่ยงเบนมาตรฐานในเฟล์ดสปายิกพอร์ซเลนเมื่อแข็งในสารทดสอบแต่ละชนิด ณ เวลาต่างกันพบว่า จำนวนธาตุที่ละลายออกจากการเฟล์ดสปายิกพอร์ซเลนแตกต่างกันตามสารทดสอบที่ใช้ เช่น สารละลายกรดอะซิติกความเข้มร้อยละ 4 พบรากุลละลายออกมากที่สุด (14 ธาตุ ยกเว้นฟอฟอรัส) และแตกต่างกันตามจำนวนชั่วโมงที่แข็ง ( $0$   $24$   $96$  และ  $168$  ชั่วโมง) อย่างมีนัยสำคัญทางสถิติ ( $p < .05$ ) น้ำสับปะรด น้ำมะม่วง สารละลายซีเทเรตบัฟเฟอร์พบธาตุละลายออกมากองลงมา ( $13$   $12$  และ  $10$  ธาตุตามลำดับ) และน้ำกลั่น (กลุ่มควบคุม) พบรากุลละลายออกมาน้อยที่สุด ( $7$  ธาตุ) โดยธาตุที่ละลายออกมากแตกต่างกันตามจำนวนชั่วโมงที่แข็งอย่างมีนัยสำคัญทางสถิติ ( $p < .05$ ) เช่นกัน

ตารางที่ 13 ผลการวิเคราะห์ข้อมูลด้วยสถิติกារทดสอบความแปรปรวนสองทางแบบวัดซ้ำ

Source	Type III Sum of Squares	df	Mean Square	F	p-value
Intercept	7776623629244.49	1	7776623629244.49	54554.34	.001
Type of porcelain	1001832711.37	3	333944237.12	2.34	.088
Type of storage media	10397190061075.02	4	2599297515268.76	18234.51	.001
Interaction between type of porcelain and storage media	7459535438.39	12	621627953.20	4.36	.001
Error	5559380812.26	39	142548225.96		

ตารางที่ 14 ปริมาณธาตุเงินต้นเฉลี่ยและส่วนเบี่ยงเบนมาตรฐานของสารทดสอบแต่ละชนิด

Storage Media	Mean elements (ppb) (SD)										
	IA				IIA				IIIA		
	Li	Na	K	Mg	Ca	Ba	B	Al	Si	P	Va
Control	0.4 (0.1)	9.2 (0.4)	25.2 (4.1)	0	75.4 (5.1)	0.8 (0.7)	17.3 (0.7)	0	17.1 (0.9)	0	
Citrate buffer solution	0.4 (0.1)	60790.2 (563.2)	1691.9 (198.9)	5749.8 (65.5)	94.5 (12.9)	8.9 (0.2)	14.6 (0.2)	0	9.7 (3.3)	0	
Mango juice	0.9 (0.1)	20.2 (8.9)	1188656.6 (60619.6)	43443.4 (1052.0)	55912.0 (12117.8)	35.6 (1.9)	297.4 (67.2)	47.6 (6.3)	2552.2 (376.3)	98443.0 (2342.3)	
Pineapple juice	1.6 (0.2)	22.8 (1.8)	1011811.2 (35749.3)	49300.2 (8774.9)	28749.7 (6308.1)	12.3 (2.3)	351.2 (71.7)	39.4 (6.9)	9231.1 (1941.0)	389269.8 (11201.22)	
4% acetic acid	0.4 (0.1)	22.8 (3.3)	175.1 (53.5)	67.4 (9.0)	374.0 (68.7)	18.3 (3.8)	18.8 (1.7)	87.0 (6.6)	118.7 (7.6)	0	

The elements are ordered according to the division of the periodic system (IA, IIA, etc.)

ตารางที่ 14 (ต่อ) ปริมาณธาตุเริ่มต้นเฉลี่ยและส่วนเบี่ยงเบนมาตรฐานของสารทดสอบแต่ละชนิด

Media	Mean elements (ppb) (SD)				
	IIIB		IVB		VIB
	Y	Tl	Cr	Mn	Zn
Control	0	0	0	0.9 (0.0)	36.4 (2.4)
Citrate buffer solution	0	0	3.4 (0.1)	5.6 (0.1)	5.6 (0.3)
Mango juice	0	0	2.9 (.8)	857.8 (34.3)	37.9 (5.1)
Pineapple juice	0	0	5.3 (0.6)	2686.7 (552.6)	40.8 (6.3)
4% acetic acid	0.1 (.1)	0	0	17.2 (5.5)	28.5 (9.9)

The elements are ordered according to the division of the periodic system (IA, IIA, etc.)



ตารางที่ 15 ค่าเฉลี่ยปริมาณธาตุแต่ละชนิดและส่วนเมี่ยงเมນมาตรฐานในผลิตสปาทิกพอร์ชเลนเมื่อยังในสภาพสหภัยต่อเวลาต่างกัน

Storage Media	Hours	Mean elements ( $\mu\text{g}/\text{cm}^2$ ) (SD) at different time (hours)									
		IA			IIA			IIIA			VA
		Li	Na	K	Mg	Ca	Ba	B	Al	Si	P
Control	0	0.4 (0.1)	9.2 (0.4)	25.2 (4.1)	0	75.4 (5.1)	0.8 (0.7)	17.3 (0.7)	0	17.1 (0.9)	0
	24	1.7 (0.1)	9.2 (0.1)	62.8 (5.7)	0.7 (0.2)	124.2 (23.1)	2.5 (0.3)	17.8 (0.5)	0	21.0 (0.2)	0
	96	1.6 (0.2)	9.1 (0.7)	61.2 (4.2)	2.3 (0.9)	147.9 (59.2)	3.2 (0.3)	17.4 (0.6)	1.3 (1.2)	21.3 (0.8)	0
	168	0.9 <sup>a</sup> (0.1)	9.2 (0.4)	66.0 <sup>b</sup> (5.6)	4.0 <sup>c</sup> (0.8)	151.4 (39.0)	3.8 <sup>d</sup> (0.8)	17.9 (0.6)	3.3 <sup>e</sup> (1.1)	22.6 <sup>f</sup> (1.8)	0
Citrate buffer solution	0	0.4 (0.1)	60790.2 (563.2)	1691.9 (198.9)	5749.8 (65.5)	94.5 (12.9)	8.9 (0.2)	14.6 (0.2)	0	9.7 (3.3)	0
	24	8.9 (0.7)	62179.8 (884.7)	2453.9 (185.9)	5889.8 (89.4)	267.9 (89.1)	33.5 (3.5)	16.4 (0.6)	73.5 (17.5)	55.1 (16.9)	0
	96	8.3 (0.1)	61048.0 (519.5)	2516.9 (71.9)	5757.9 (20.9)	262.1 (58.2)	26.7 (2.5)	27.9 (1.0)	99.6 (15.0)	111.7 (12.1)	0
	168	3.9 <sup>g</sup> (0.3)	61421.5 (550.0)	1897.6 <sup>h</sup> (150.3)	5982.1 <sup>i</sup> (127.1)	97.2 <sup>j</sup> (2.9)	14.9 <sup>k</sup> (0.1)	28.3 <sup>l</sup> (1.7)	36.1 <sup>m</sup> (0.2)	63.6 <sup>n</sup> (5.4)	0
Mango juice	0	0.9 (0.1)	20.2 (8.9)	1188656.6 (60619.6)	43443.4 (1052.0)	55912.0 (12117.8)	35.6 (1.9)	297.4 (67.2)	47.6 (6.3)	2552.2 (376.3)	98443.0 (2342.3)
	24	14.6 (1.3)	31.1 (1.6)	1451119.3 (87659.6)	67697.0 (3693.4)	92229.7 (7387.2)	134.5 (8.9)	505.4 (46.0)	279.2 (13.7)	4245.0 (371.5)	98530.5 (1843.5)
	96	3.5 (0.1)	30.7 (1.2)	1378708.5 (53168.4)	61330.9 (1133.5)	82667.9 (4397.6)	53.0 (5.5)	348.9 (18.5)	79.2 (4.3)	3162.3 (120.9)	98800.3 (1012.4)
	168	4.6 <sup>o</sup> (0.5)	36.9 <sup>p</sup> (1.2)	1455274.3 <sup>q</sup> (95821.5)	87009.6 <sup>r</sup> (2637.7)	60822.0 <sup>s</sup> (2642.0)	38.6 <sup>t</sup> (2.1)	456.4 <sup>u</sup> (8.7)	71.4 <sup>v</sup> (5.5)	3886.9 <sup>w</sup> (135.5)	98573.1 (1201.4)
Pineapple juice	0	1.6 (0.2)	22.8 (1.8)	1011811.2 (35749.3)	49300.2 (8774.9)	28749.7 (6308.1)	12.3 (2.3)	351.2 (71.7)	39.4 (6.9)	9231.1 (1941.0)	389269.8 (11201.22)
	24	11.4 (0.5)	30.0 (1.7)	1251308.4 (100123.9)	94446.4 (8534.5)	58738.8 (5371.4)	48.1 (7.9)	727.5 (79.2)	121.1 (14.1)	19454.8 (1933.6)	392161.5 (7042.9)
	96	3.8 (0.1)	38.6 (1.6)	1372335.6 (67931.5)	115448.6 (4685.1)	59176.9 (3067.9)	54.1 (3.9)	797.7 (50.3)	88.7 (8.6)	20790.8 (1235.6)	384964.6 (49748.2)
	168	3.5 <sup>x</sup> (0.1)	30.1 <sup>y</sup> (1.2)	1367169.7 <sup>z</sup> (26773.1)	65403.3 <sup>aa</sup> (8587.8)	28989.9 <sup>ab</sup> (484.3)	23.0 <sup>ac</sup> (2.3)	581.2 <sup>ad</sup> (47.2)	49.8 <sup>ae</sup> (2.9)	21502.1 <sup>af</sup> (2654.1)	390177.3 (41550.0)
4% acetic acid	0	0.4 (0.1)	22.8 (3.3)	175.1 (53.5)	67.4 (9.0)	374.0 (68.7)	18.3 (3.8)	18.8 (1.7)	87.0 (6.6)	118.7 (7.6)	0
	24	57.0 (6.6)	38.3 (4.2)	10493.1 (3626.5)	171.9 (10.4)	994.8 (128.6)	562.6 (40.5)	557.6 (132.7)	3004.4 (697.0)	2056.0 (400.8)	0
	96	164.7 (9.1)	60.6 (8.7)	8585.4 (1024.9)	406.2 (118.1)	2715.8 (170.9)	1438.6 (281.9)	722.5 (35.5)	8358.3 (997.1)	12643.2 (2091.7)	0
	168	56.0 <sup>gg</sup> (3.1)	84.3 <sup>hh</sup> (14.4)	16805.5 <sup>ii</sup> (2685.1)	553.6 <sup>jj</sup> (120.6)	3049.3 <sup>kk</sup> (882.8)	2324.8 <sup>ll</sup> (1025.1)	910.4 <sup>mm</sup> (48.1)	16343.3 <sup>nn</sup> (3257.4)	24842.4 <sup>oo</sup> (7502.8)	0

The elements are ordered according to the division of the periodic system (IA, IIA, etc.)

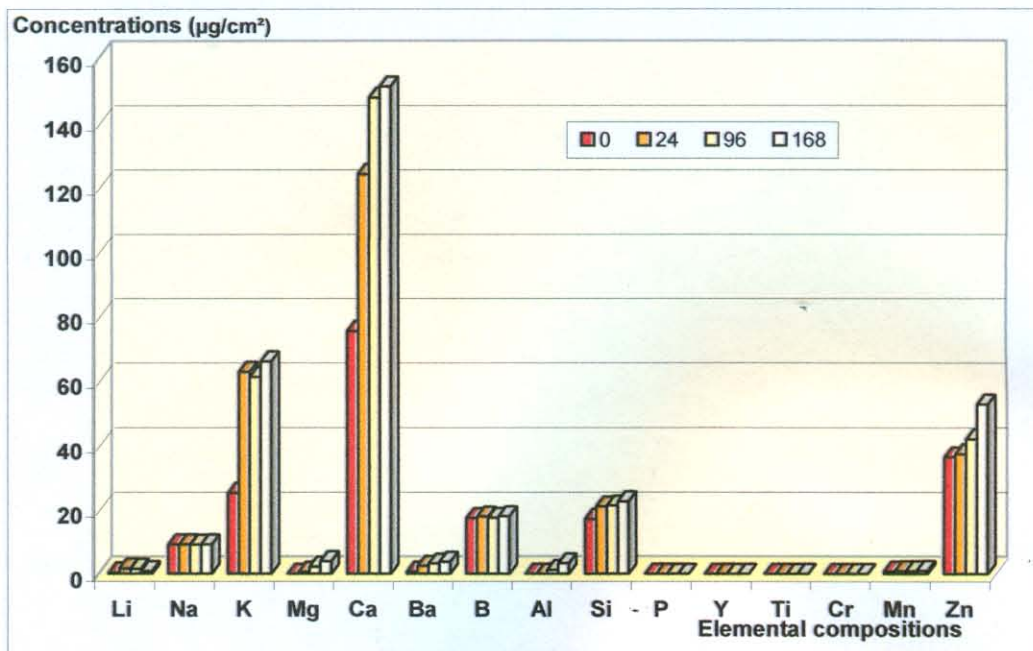
<sup>\*\*</sup> The groups with superscript letters in each column were statistically significant difference at  $p < .05$

ตารางที่ 15 (ต่อ) ค่าเฉลี่ยปริมาณธาตุเม็ดตะขันดและส่วนปี่ยงเปนมาตรฐานในเฟล์สปาร์กอพอร์เชนเมื่อชรีในสารกัดสองแบบตะขันด ณ เวลาต่างกัน

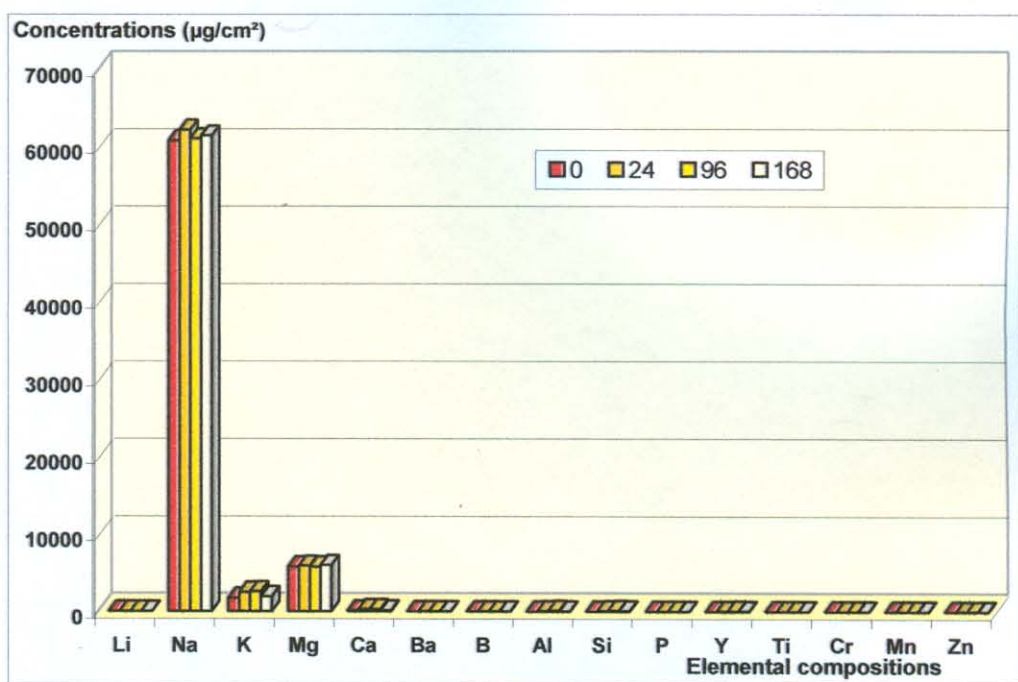
Storage Media	Hours	Mean elements ( $\mu\text{g}/\text{cm}^2$ ) (SD) at different time (hours)				
		IIIB	IVB	VIB	VIB	IIIB
		Y	Tl	Cr	Mn	Zn
Control	0	0	0	0	0.9	36.4
					(0.0)	(2.4)
	24	0	0	0	1.0	37.4
					(0.1)	(3.8)
Citrate buffer solution	96	0	0	0	1.0	42.0
					(0.1)	(6.5)
	168	0	0	0	1.1	52.7 <sup>a</sup>
					(0.1)	(4.0)
Mango juice	0	0	0	3.4	5.6	5.6
				(0.1)	(0.1)	(0.3)
	24	17.5	0	4.3	5.9	16.5
		(4.2)		(0.7)	(0.2)	(6.3)
Pineapple juice	96	42.2	0	3.9	5.9	14.7
		(4.5)		(0.2)	(0.5)	(1.9)
	168	31.3 <sup>b</sup>	0	3.4	5.8	7.3 <sup>c</sup>
		(4.6)		(0.2)	(0.2)	(1.3)
4% acetic acid	0	0	0	2.9	277.8	37.9
				(.8)	(34.3)	(5.1)
	24	12.5	0	6.2	2396.7	29.9
		(0.2)		(0.5)	(214.9)	(3.9)
	96	4.1	0	5.9	971.7	298.4
		(0.3)		(0.1)	(155.6)	(46.4)
	168	3.2 <sup>d</sup>	0	3.7	1072.8 <sup>e</sup>	831.1 <sup>f</sup>
		(0.9)		(3.2)	(51.9)	(120.5)
	0	0	0	5.3	2686.7	40.8
				(0.6)	(552.8)	(6.3)
	24	10.5	0	8.6	5396.5	36.4
		(4.4)		(0.5)	(447.1)	(5.7)
	96	5.9	0	10.9	14080.7	50.4
		(1.4)		(0.2)	(692.7)	(5.9)
	168	3.3 <sup>g</sup>	0	5.7 <sup>h</sup>	11644.5 <sup>i</sup>	129.3 <sup>j</sup>
		(0.6)		(1.5)	(1055.6)	(16.4)

The elements are ordered according to the division of the periodic system (IA, IIA, etc.)

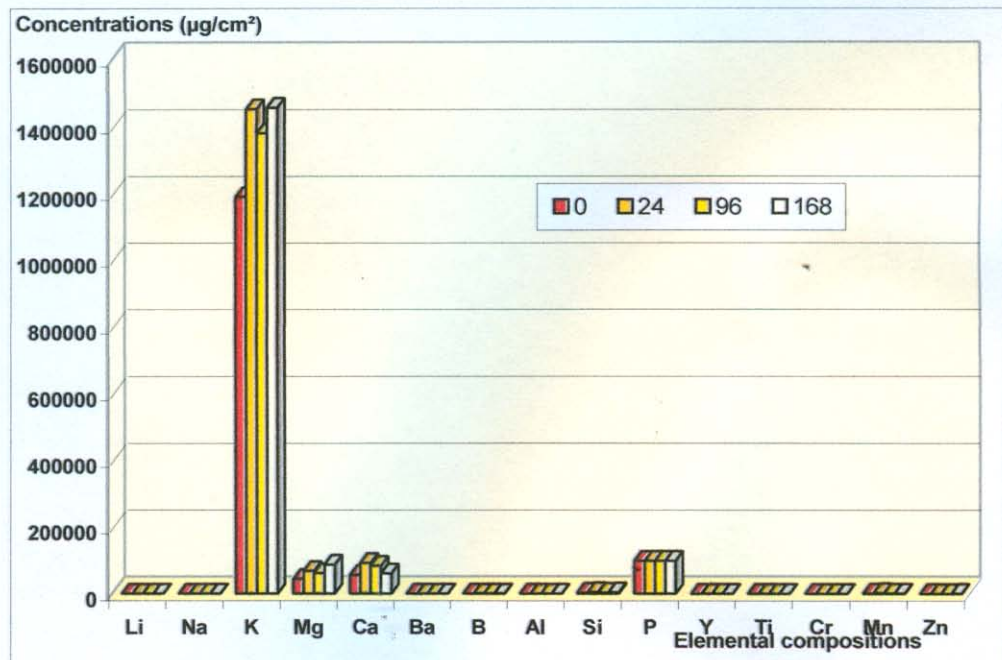
<sup>a-o</sup> The groups with superscript letters in each column were statistically significant difference at  $p < .05$



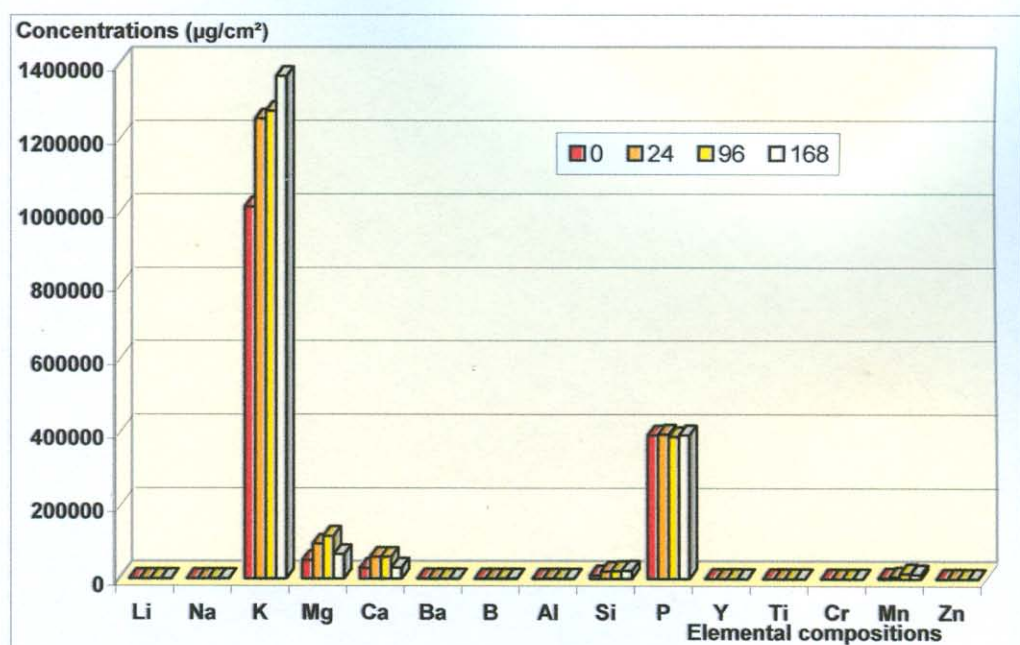
รูปที่ 6 แสดงค่าเฉลี่ยปริมาณธาตุใน Felder's spathiphyllum เนื่องจากดิน (กลุ่มควบคุม) ณ เวลาต่างกัน



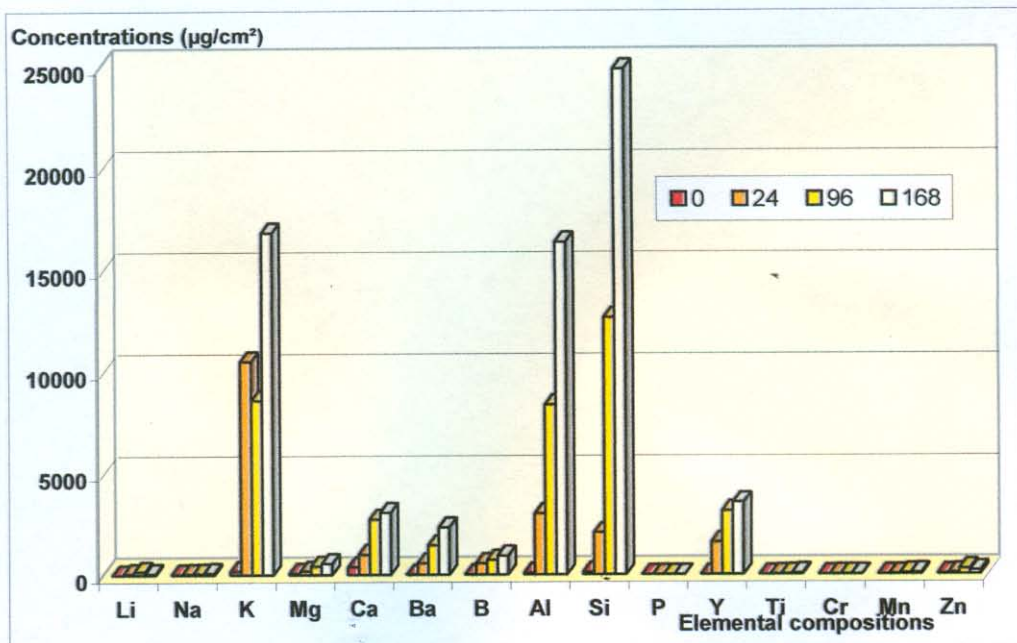
รูปที่ 7 แสดงค่าเฉลี่ยปริมาณธาตุใน Felder's spathiphyllum เนื่องจากสารละลายซิเทրตบัฟเฟอร์ ณ เวลาต่างกัน



รูปที่ 8 แสดงค่าเฉลี่ยปริมาณธาตุในเฟล์ดสปาริกพอร์ซเลนเมื่อแข็งในน้ำมันมะกง ณ เวลาต่างกัน



รูปที่ 9 แสดงค่าเฉลี่ยปริมาณธาตุในเฟล์ดสปาริกพอร์ซเลนเมื่อแข็งในน้ำสับปะรด ณ เวลาต่างกัน



รูปที่ 10 แสดงค่าเฉลี่ยปริมาณธาตุในเฟล์ดสปาร์กพอร์ชเลนเมื่อแข็งในสารละลายการดองซิติกความเข้มร้อยละ 4 ณ เวลาต่างกัน

ตารางที่ 16 และรูปที่ 11-15 แสดงค่าเฉลี่ยปริมาณธาตุและส่วนเบี่ยงเบนมาตรฐานในอะลูมิնัสมอร์ชเลนเมื่อแข็งในสารทดสอบแต่ละชนิด ณ เวลาต่างกันพบว่า มีลักษณะคล้ายคลึงกับเฟล์ดสปาร์กพอร์ชเลน โดยจำนวนธาตุที่ละลายออกจากการดองซิติกความเข้มร้อยละ 4 พบร้าตุลละลายออกมากทุกธาตุที่ตรวจสอบ (14 ธาตุ ยกเว้นฟอสฟอรัส) และแตกต่างกันตามจำนวนชั่วโมงที่แข็ง (0 24 96 และ 168 ชั่วโมง) อย่างมีนัยสำคัญทางสถิติ ( $p < .05$ ) น้ำสบประด น้ำมะ่นง สารละลายซิเทรตบัฟเฟอร์พบร้าตุลละลายออกมารองลงมา (13 12 และ 10 ธาตุ ตามลำดับเช่นเดียวกับเฟล์ดสปาร์กพอร์ชเลน) และน้ำกลั่น (กลุ่มควบคุ้ม) พบร้าตุลละลายออกมาน้อยที่สุด (6 ธาตุ และน้อยกว่าธาตุที่ละลายออกมานี้ในเฟล์ดสปาร์กพอร์ชเลน ซึ่งธาตุที่แตกต่างคือสังกะสี) โดยธาตุที่ละลายออกมากแตกต่างกันตามจำนวนชั่วโมงที่แข็งอย่างมีนัยสำคัญทางสถิติ ( $p < .05$ ) เช่นกัน

ตารางที่ 16 ค่าเฉลี่ยปริมาณธาตุแต่ละชนิดและส่วนเบี่ยงเบนมาตรฐานในอะลูมิเนียมพอร์เชลินเมื่อเทียบในสารทดสอบแต่ละชนิด ณ เวลาต่างกัน

Storage Media	Hours	Mean elements ( $\mu\text{g}/\text{cm}^2$ ) (SD) at different time (hours)									
		IA			IIA			IIIA			IVA
		Li	Na	K	Mg	Ca	Ba	B	Al	Si	P
Control	0	0.4 (0.1)	9.2 (0.4)	25.2 (4.1)	0	75.4 (5.1)	0.8 (0.7)	17.3 (0.7)	0	17.1 (0.9)	0
	24	1.7 (0.2)	9.3 (0.4)	49.1 (6.0)	0.7 (0.1)	192.5 (40.7)	0.9 (0.3)	18.6 (1.4)	0	20.4 (1.2)	0
	96	1.4 (0.2)	9.3 (0.1)	33.4 (4.4)	3.2 (0.8)	177.9 (50.1)	0.9 (0.9)	17.7 (1.6)	1.1 (0.3)	20.3 (1.1)	0
	168	0.9 <sup>a</sup> (0.1)	9.3 (0.6)	60.4 <sup>b</sup> (17.6)	3.3 <sup>c</sup> (0.3)	214.6 <sup>d</sup> (57.3)	1.4 (0.2)	17.5 (0.4)	4.1 <sup>e</sup> (1.2)	23.2 <sup>f</sup> (0.3)	0
Citrate buffer solution	0	0.4 (0.1)	60790.2 (563.2)	1691.9 (198.9)	5749.8 (65.5)	94.5 (12.9)	8.9 (0.2)	14.6 (0.2)	0	9.7 (3.3)	0
	24	8.4 (1.3)	62645.6 (1838.2)	1950.4 (58.7)	5878.3 (136.2)	159.0 (28.3)	10.7 (0.3)	27.9 (1.0)	82.8 (2.9)	60.3 (1.2)	0
	96	8.6 (1.3)	61094.5 (381.3)	2243.4 (186.1)	6297.8 (258.2)	226.2 (27.3)	9.7 (0.3)	39.2 (0.3)	125.9 (7.9)	132.3 (6.1)	0
	168	3.5 <sup>g</sup> (0.6)	61196.3 (695.2)	2197.3 <sup>h</sup> (156.9)	5921.1 <sup>i</sup> (95.6)	172.5 <sup>j</sup> (4.0)	9.0 <sup>k</sup> (0.1)	39.2 <sup>l</sup> (1.3)	35.2 <sup>m</sup> (5.7)	60.3 <sup>n</sup> (6.4)	0
Mango juice	0	0.9 (0.1)	20.2 (8.9)	1188656.6 (60619.6)	43443.4 (1052.0)	55912.0 (12117.8)	35.6 <sup>p</sup> (1.9)	297.4 (67.2)	47.6 (6.3)	2552.2 (376.3)	98443.0 (2342.3)
	24	12.8 (1.5)	32.8 (.7)	1431822.4 (67439.1)	69644.1 (978.3)	94097.7 (2025.1)	86.7 (1.7)	631.2 (11.7)	511.1 (58.6)	4445.4 (105.3)	98573.3 (1074.4)
	96	3.4 (0.3)	28.5 (4.2)	1446860.1 (65268.3)	58285.5 (1184.6)	70508.3 (4383.6)	40.3 (4.9)	360.4 (15.9)	115.4 (18.2)	3033.8 (89.4)	97308.3 (2076.1)
	168	4.6 <sup>o</sup> (0.2)	39.9 <sup>p</sup> (.7)	1430148.2 <sup>q</sup> (58143.9)	90472.6 <sup>r</sup> (2758.5)	63693.4 <sup>s</sup> (3666.4)	36.6 <sup>t</sup> (.8)	482.3 <sup>u</sup> (30.6)	114.6 <sup>v</sup> (15.2)	3982.7 <sup>w</sup> (192.8)	98248.8 (1362.9)
Pineapple juice	0	1.6 (0.2)	22.8 (1.8)	1011811.2 (35749.3)	49300.2 (8774.9)	28749.7 (6308.1)	12.3 (2.3)	351.2 (71.7)	39.4 (6.9)	9231.1 (1941.0)	389269.8 (11201.2)
	24	10.7 (0.8)	52.0 (8.2)	1226090.4 (89680.9)	105894.1 (6513.4)	62792.9 (8471.5)	28.5 (3.6)	825.5 (41.3)	143.2 (15.9)	20600.4 (1187.9)	371711.9 (34949.1)
	96	3.8 (0.2)	37.2 (.2)	1340529.7 (41338.3)	109804.0 (3226.2)	56006.5 (2136.5)	50.1 (2.2)	780.6 (39.9)	108.4 (15.8)	19953.4 (891.8)	375746.9 (34062.2)
	168	3.4 <sup>x</sup> (0.1)	33.3 <sup>y</sup> (1.1)	1397549.9 <sup>z</sup> (77075.4)	70627.1 <sup>aa</sup> (3083.6)	26166.7 <sup>ab</sup> (2275.9)	24.1 <sup>ac</sup> (1.9)	676.7 <sup>ad</sup> (54.8)	68.7 <sup>ae</sup> (5.5)	24677.8 <sup>af</sup> (2396.1)	381827.7 (45261.3)
4% acetic acid	0	0.4 (0.1)	22.8 (3.3)	175.1 (53.5)	67.4 (9.0)	374.0 (68.7)	18.3 (3.8)	18.8 (1.7)	87.0 (6.6)	118.7 (7.6)	0
	24	40.0 (4.9)	44.1 (4.3)	3095.7 (195.1)	113.4 (4.7)	1481.0 (170.1)	32.2 (3.3)	1654.9 (54.9)	4703.2 (217.3)	3548.3 (145.0)	0
	96	156.8 (16.9)	192.9 (99.9)	13735.5 (3994.7)	306.6 (35.3)	4636.2 (403.5)	150.0 (58.8)	6886.7 (510.9)	19666.8 (5133.6)	24256.0 (6513.3)	0
	168	53.0 <sup>gg</sup> (2.7)	157.5 <sup>hh</sup> (58.4)	19649.8 <sup>ii</sup> (8267.9)	200.3 <sup>jj</sup> (83.7)	5036.3 <sup>kk</sup> (960.6)	108.7 <sup>ll</sup> (45.8)	9959.0 <sup>mm</sup> (596.5)	30955.2 <sup>nn</sup> (5726.1)	40098.9 <sup>oo</sup> (6688.2)	0

The elements are ordered according to the division of the periodic system (IA, IIA, etc.)

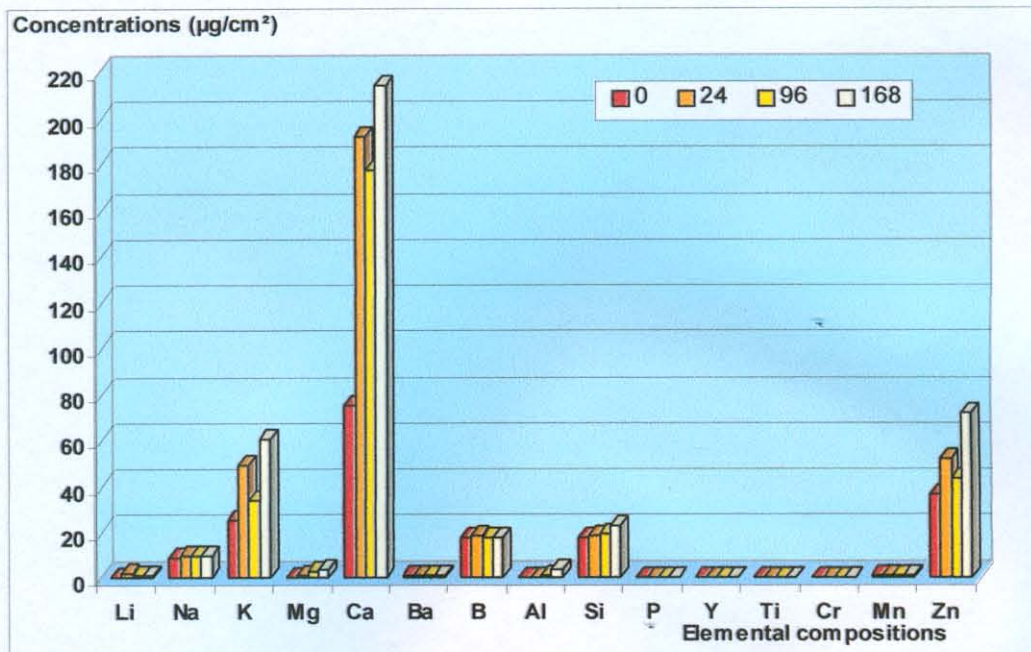
<sup>a-ho</sup> The groups with superscript letters in each column were statistically significant difference at  $p < .05$

ตารางที่ 16 (ต่อ) ค่าเฉลี่ยปริมาณธาตุพิษระนิดและส่วนปี่ยงเมนมาตรฐานในอะลูมิเนียมพอร์เชลินเมื่อแช่ในสารทดสอบแต่ละชนิด ณ เวลาต่างกัน

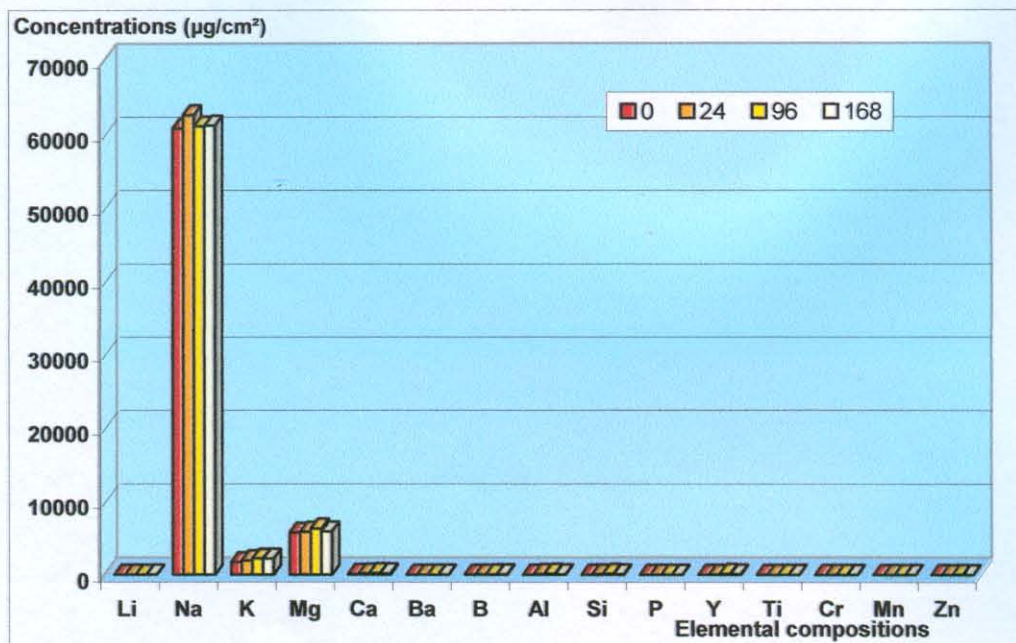
Storage media	Hours	Mean elements ( $\mu\text{g}/\text{cm}^2$ ) (SD) at different time (hours)				
		IIIB	IVB	VIB	VIIIB	IIIB
		Y	Tl	Cr	Mn	Zn
Control	0	0	0	0	0.9	36.4
					(0.0)	(2.4)
	24	0	0	0	1.0	52.0
					(0.2)	(27.7)
Citrate buffer solution	96	0	0	0	1.0	43.3
					(0.1)	(20.7)
	168	0	0	0	1.1	71.7 <sup>a</sup>
					(0.1)	(8.4)
Mango juice	0	0	0	3.4	5.6	5.6
				(0.1)	(0.1)	(0.3)
	24	27.4	0	5.3	5.8	9.2
		(1.8)		(2.8)	(0.4)	(3.3)
Pineapple juice	96	118.9	0	5.1	6.2	21.9
		(7.7)		(1.3)	(0.3)	(9.2)
	168	72.7 <sup>b</sup>	0	3.8	5.8	5.7 <sup>c</sup>
		(7.4)		(0.4)	(0.1)	(0.1)
4% acetic acid	0	0	0	2.9	857.8	37.9
				(0.8)	(34.3)	(5.1)
	24	26.2	0	4.4	2444.3	36.9
		(8.1)		(0.4)	(53.1)	(3.4)
4% acetic acid	96	8.5	0	3.1	906.0	132.3
		(1.7)		(2.7)	(101.4)	(47.5)
	168	6.2 <sup>d</sup>	0	5.8	1100.7 <sup>e</sup>	1063.2 <sup>f</sup>
		(1.4)		(.1)	(41.6)	(130.2)

The elements are ordered according to the division of the periodic system (IA, IIA, etc.)

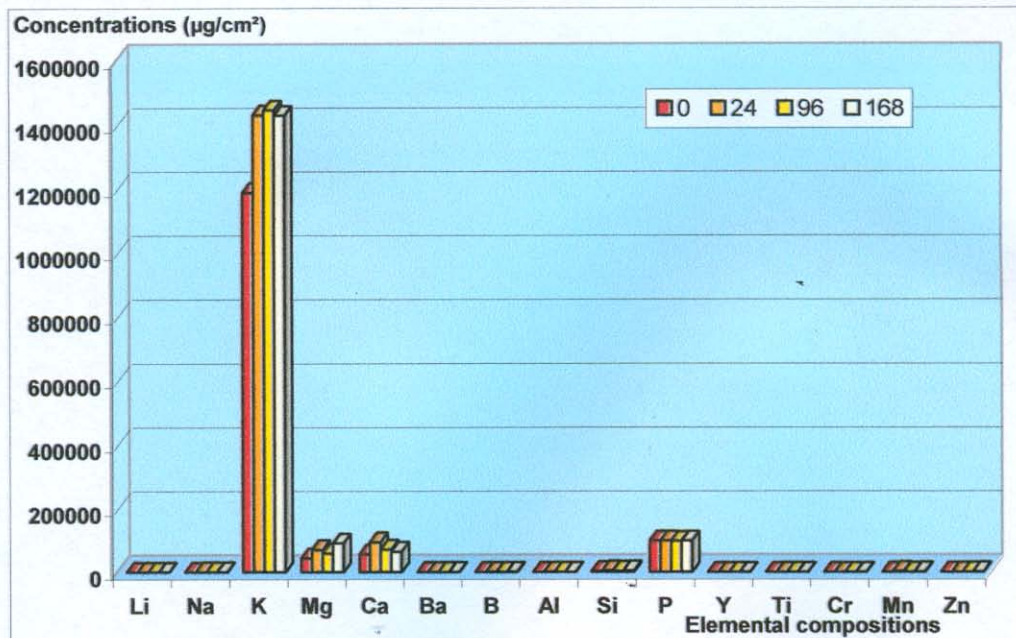
<sup>\*\*</sup> The groups with superscript letters in each column were statistically significant difference at  $p < .05$



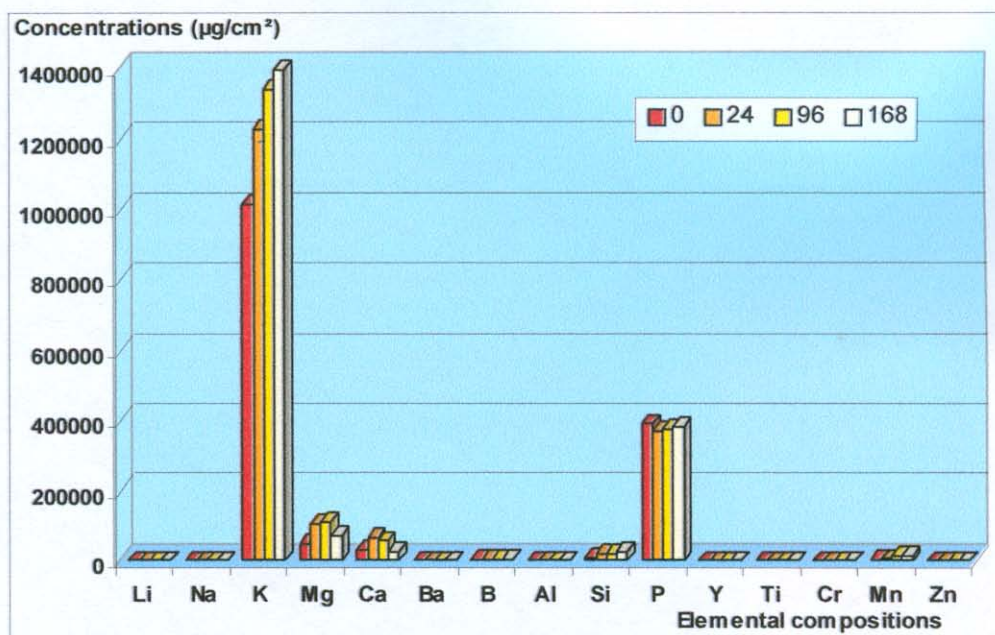
รูปที่ 11 แสดงค่าเฉลี่ยปริมาณธาตุในอะลูมิնัลพอร์ซเลนเมื่อแข็งในน้ำกลั่น (กลุ่มควบคุม) ณ เวลาต่างกัน



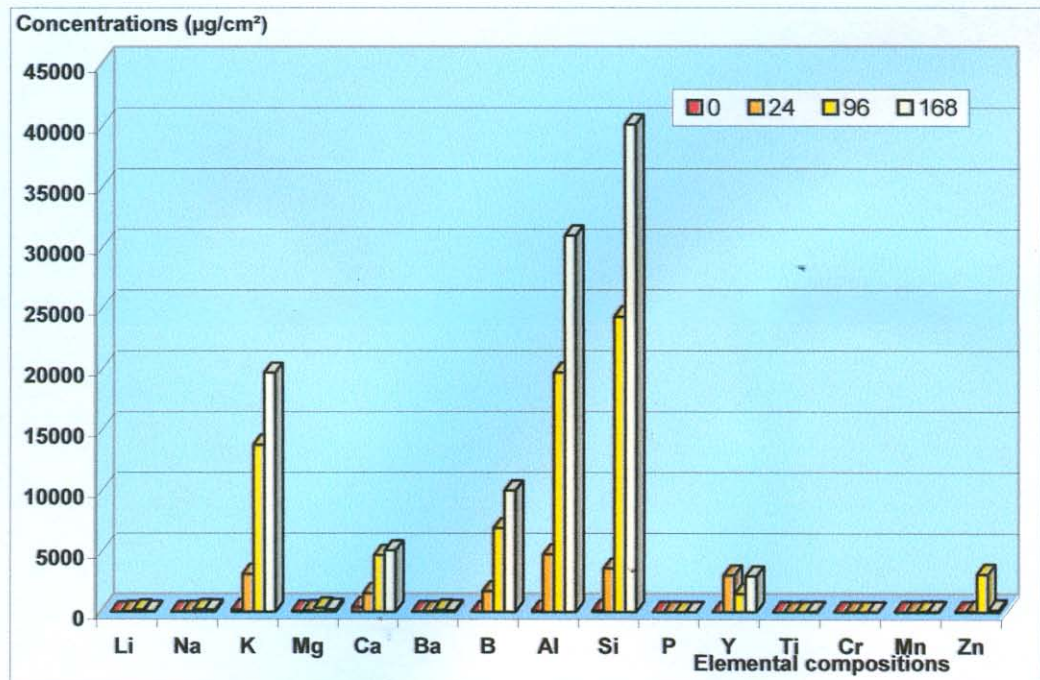
รูปที่ 12 แสดงค่าเฉลี่ยปริมาณธาตุในอะลูมิնัลพอร์ซเลนเมื่อแข็งในสารละลายซิเทเรตบัฟเฟอร์ ณ เวลาต่างกัน



รูปที่ 13 แสดงค่าเฉลี่ยปริมาณธาตุในอะลูมิเนียมอัลลอยเมื่อแข็งในน้ำมะฆะ ณ เวลาต่างกัน



รูปที่ 14 แสดงค่าเฉลี่ยปริมาณธาตุในอะลูมิเนียมอัลลอยเมื่อแข็งในน้ำสับปะรด ณ เวลาต่างกัน



รูปที่ 15 แสดงค่าเฉลี่ยปริมาณธาตุในอะลูมิնัลพอร์ซเลนเมื่อแข็งในสารละลายกรดอะซิติก ณ เวลาต่างกัน

ตารางที่ 17 และรูปที่ 16-20 แสดงค่าเฉลี่ยปริมาณธาตุและส่วนเบี่ยงเบนมาตรฐานในพอร์ซเลนที่มีลูไซด์ปริมาณสูงเมื่อแข็งในสารทดสอบแต่ละชนิด ณ เวลาต่างกันพบว่า มีลักษณะคล้ายคลึงกับเฟล์ดสปաทิกพอร์ซเลน และอะลูมิնัลพอร์ซเลน โดยธาตุที่ละลายออกจากพอร์ซเลนที่มีลูไซด์ปริมาณสูงแตกต่างกันตามสารทดสอบที่ใช้แข็ง สารละลายกรดอะซิติกความเข้มร้อยละ 4 พบร้าตุลละลายออกมากทุกธาตุที่ตรวจ (14 ธาตุ ยกเว้นฟอฟอรัส) และแตกต่างกันตามจำนวนขั้วโมงที่แข็ง (0 24 96 และ 168 ชั่วโมง) อย่างมีนัยสำคัญทางสถิติ ( $p < .05$ ) น้ำสับปะรด และน้ำมะม่วงพบร้าตุลละลายออกมากองลงมา (13 และ 12 ธาตุตามลำดับแข็งเดียวกับเฟล์ดสปาทิกพอร์ซเลนและอะลูมิնัลพอร์ซเลน) สารละลายซีเทเรตบัฟเฟอร์พบร้าตุลละลายออกมา 12 ธาตุ แตกต่างจากเฟล์ดสปาทิกพอร์ซเลนและอะลูมิնัลพอร์ซเลน 2 ธาตุ คือไทเทเนียมและแมงกานีส และน้ำกลั่น (กลุ่มควบคุม) พบร้าตุลละลายออกมาน้อยที่สุด (8 ธาตุ และมากกว่าธาตุที่ละลายออกมากในเฟล์ดสปาทิกพอร์ซเลน โดยธาตุที่แตกต่างคือแมงกานีส) โดยธาตุที่ละลายออกมากแตกต่างกันตามจำนวนขั้วโมงที่ตรวจอย่างมีนัยสำคัญทางสถิติ ( $p < .05$ ) เช่นกัน

ตารางที่ 17 ค่าเฉลี่ยปริมาณธาตุและชนิดและส่วนเบี่ยงเบนมาตรฐานในพอยร์เรลที่มีสูตรปริมาณสูงเมื่อแข็งในสารทดลองแต่ละชนิด ณ เวลาต่างกัน

Storage media	Hours	Mean elements ( $\mu\text{g}/\text{cm}^2$ ) (SD) at different time (hours)									
		IA		IIA			IIIA			IVA	
		Li	Na	K	Mg	Ca	Ba	B	Al	Si	P
Control	0	0.4 (0.1)	9.2 (0.4)	25.2 (4.1)	0	75.4 (5.1)	0.8 (0.7)	17.3 (0.7)	0	17.1 (0.9)	0
	24	1.9 (0.2)	9.6 (0.4)	148.1 (9.4)	0.9 (0.1)	218.9 (87.8)	1.6 (1.0)	19.7 (0.5)	11.9 (4.5)	20.6 (1.1)	0
	96	1.5 (0.1)	9.6 (0.2)	95.8 (6.3)	6.5 (1.1)	273.5 (87.3)	2.0 (0.7)	18.1 (1.3)	8.8 (1.3)	21.9 (0.5)	0
	168	0.9 <sup>a</sup> (0.1)	10.5 (0.4)	167.4 <sup>b</sup> (10.7)	7.8 <sup>c</sup> (1.7)	274.8 (10.8)	2.9 <sup>d</sup> (0.6)	18.5 (1.3)	13.6 <sup>e</sup> (6.7)	22.7 <sup>f</sup> (0.7)	0
Citrate buffer solution	0	0.4 (0.1)	60790.2 (563.2)	1691.9 (198.9)	5749.8 (65.5)	94.5 (12.9)	8.9 (0.2)	14.6 (0.2)	0	9.7 (3.3)	0
	24	8.7 (0.4)	61656.1 (642.6)	3650.3 (229.8)	7126.3 (795.3)	265.2 (29.3)	28.5 (0.9)	16.9 (0.4)	53.7 (5.9)	141.6 (16.3)	0
	96	8.6 (1.4)	61322.9 (473.9)	4505.1 (266.6)	6300.6 (180.8)	373.7 (35.7)	22.5 (1.1)	28.8 (0.4)	128.1 (20.5)	287.1 (27.4)	0
	168	3.8 <sup>a</sup> (0.3)	61492.1 (1452.9)	2368.6 <sup>b</sup> (326.9)	5819.1 <sup>c</sup> (58.2)	96.7 <sup>d</sup> (13.1)	11.9 <sup>e</sup> (0.3)	27.9 <sup>f</sup> (0.1)	80.4 <sup>g</sup> (3.1)	114.3 <sup>h</sup> (89.3)	0
Mango juice	0	0.9 (0.1)	20.2 (8.9)	1188656.6 (60619.6)	43443.4 (1052.0)	55912.0 (12117.8)	35.6 (1.9)	297.4 (67.2)	47.6 (6.3)	2552.2 (376.3)	98443.0 (2342.3)
	24	11.8 (0.3)	37.5 (1.5)	1421566.6 (46319.2)	69596.2 (3789.0)	90792.5 (5941.2)	134.3 (10.6)	492.5 (37.4)	234.7 (57.5)	4424.1 (309.5)	96974.7 (1735.5)
	96	3.5 (0.1)	32.8 (2.6)	1344974.3 (78159.6)	60023.9 (1254.7)	78911.9 (4633.2)	52.4 (5.9)	345.5 (13.5)	228.4 (27.3)	3201.8 (112.7)	97283.9 (1955.8)
	168	4.6 <sup>a</sup> (0.4)	38.5 <sup>b</sup> (.6)	1431788.5 <sup>c</sup> (50853.7)	90140.8 <sup>d</sup> (2038.2)	64316.9 <sup>e</sup> (1532.1)	40.0 <sup>f</sup> (1.5)	464.6 <sup>g</sup> (10.9)	153.8 <sup>h</sup> (14.9)	4120.3 <sup>i</sup> (134.3)	98485.9 (1001.0)
Pineapple juice	0	1.6 (0.2)	22.8 (1.8)	1011811.2 (35749.3)	49300.2 (8774.9)	28749.7 (6308.1)	12.3 (2.3)	351.2 (71.7)	39.4 (6.9)	9231.1 (1941.0)	389269.8 (11201.2)
	24	10.9 (1.1)	51.3 (5.9)	1248352.1 (47311.7)	105744.2 (4345.9)	65271.2 (3507.7)	50.1 (2.4)	805.9 (22.1)	112.8 (8.2)	21034.4 (469.5)	391344.9 (38294.2)
	96	3.8 (0.1)	39.9 (1.1)	1328312.3 (35081.1)	119526.1 (5349.8)	60683.5 (2964.4)	59.6 (3.2)	829.7 (37.8)	122.5 (5.5)	21524.2 (912.2)	376508.8 (22443.1)
	168	3.4 <sup>a</sup> (0.1)	34.8 <sup>b</sup> (8.6)	1382282.6 <sup>c</sup> (30982.8)	67385.0 <sup>d</sup> (50978.8)	31886.5 <sup>e</sup> (3703.3)	23.6 <sup>f</sup> (1.5)	635.5 <sup>g</sup> (65.3)	78.7 <sup>h</sup> (.7)	22936.9 <sup>i</sup> (2276.8)	381414.4 (4222.7)
4% acetic acid	0	0.4 (0.1)	22.8 (3.3)	175.1 (53.5)	67.4 (9.0)	374.0 (68.7)	18.3 (3.8)	18.8 (1.7)	87.0 (6.6)	118.7 (7.6)	0
	24	51.6 (9.8)	43.4 (1.7)	7340.9 (1422.8)	834.3 (195.3)	1291.4 (76.1)	160.5 (52.6)	719.8 (174.9)	6792.6 (2027.3)	4213.9 (715.8)	0
	96	164.3 (11.4)	73.6 (5.8)	23113.3 (2322.2)	320.2 (39.5)	4229.0 (1041.7)	574.0 (53.7)	1026.4 (316.0)	21553.5 (1811.0)	29246.1 (2267.5)	0
	168	54.8 <sup>a</sup> (4.3)	84.8 <sup>b</sup> (43.8)	24269.4 <sup>c</sup> (5882.7)	3931.8 <sup>d</sup> (1405.6)	3284.2 <sup>e</sup> (836.4)	663.2 <sup>f</sup> (138.8)	865.6 <sup>g</sup> (125.1)	20758.1 <sup>h</sup> (1222.3)	27933.1 <sup>i</sup> (6031.3)	0

The elements are ordered according to the division of the periodic system (IA, IIA, etc.)

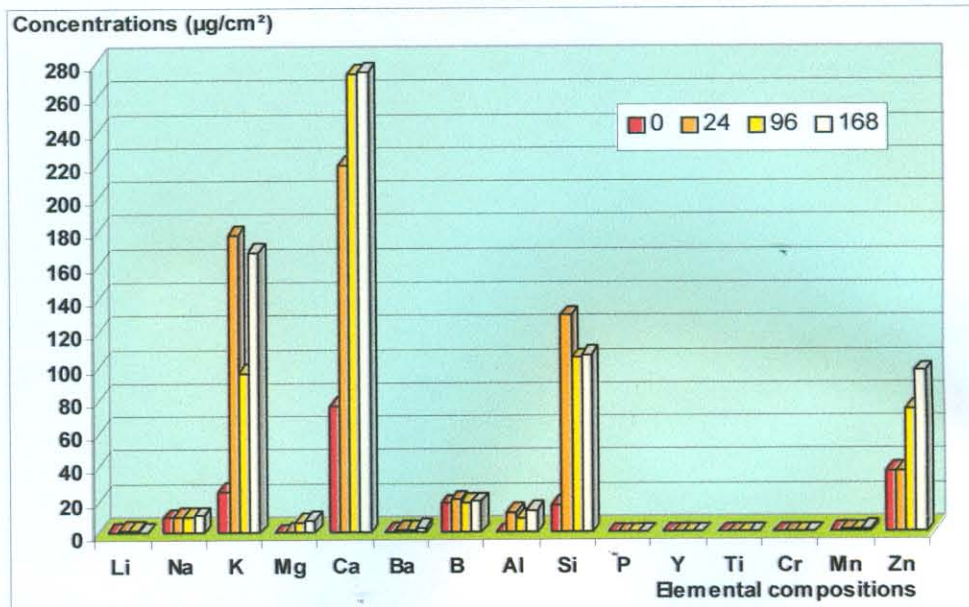
<sup>a-h</sup>The groups with superscript letters in each column were statistically significant difference at  $p < .05$

ตารางที่ 17 (ต่อ) ค่าเฉลี่ยปริมาณธาตุและชนิดและส่วนเบี่ยงเบนมาตรฐานในพอยซ์เน็นที่มีกราฟปริมาณสูงเมื่อแช่ในสารกัดสองชนิด ณ เวลาต่างกัน

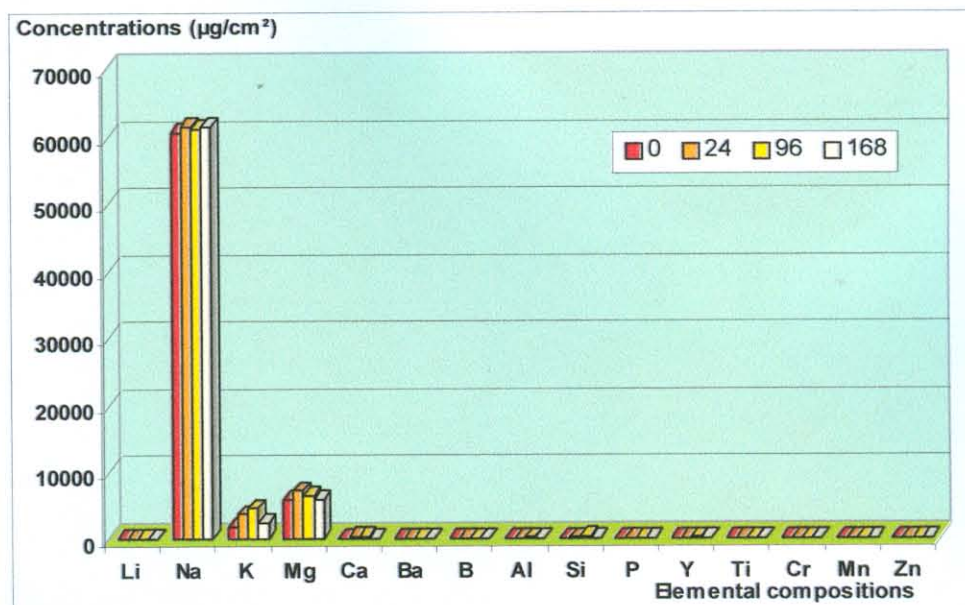
Storage media	Hours	Mean elements ( $\mu\text{g}/\text{cm}^2$ ) (SD) at different time (hours)				
		IIIIB	IVB	VIB	VIIIB	IIB
		Y	Tl	Cr	Mn	Zn
Control	0	0	0	0	0.9 (0.0)	36.4 (2.4)
	24	0	0	0	1.2 (0.1)	36.7 (.6)
	96	0	0	0	1.2 (0.1)	73.4 (17.5)
	168	0	0	0	1.3 <sup>a</sup> (0.1)	96.0 <sup>b</sup> (2.6)
Citrate buffer solution	0	0	0	3.4 (0.1)	5.6 (0.1)	5.6 (0.3)
	24	65.8 (6.9)	0.4 (0.1)	3.8 (0.2)	6.1 (0.2)	16.9 (0.4)
	96	130.2 (10.8)	1.2 (0.4)	3.7 (0.2)	6.1 (0.4)	26.8 (0.4)
	168	59.7 <sup>c</sup> (9.3)	1.2 <sup>d</sup> (0.7)	3.5 (0.3)	6.1 <sup>e</sup> (0.2)	27.9 <sup>f</sup> (1.0)
Mango juice	0	0	0	2.9 (0.8)	857.8 (34.3)	37.9 (5.1)
	24	44.4 (2.7)	0	5.7 (0.6)	2330.8 (155.8)	178.7 (73.6)
	96	14.3 (2.4)	0	5.1 (0.6)	963.3 (129.9)	339.0 (69.6)
	168	1.0 <sup>g</sup> (1.7)	0	3.9 (1.6)	1119.3 <sup>h</sup> (16.4)	892.5 <sup>i</sup> (46.2)
Pineapple juice	0	0	0	5.3 (0.6)	2686.7 (552.8)	40.8 (6.3)
	24	17.1 (1.4)	0	10.1 (1.7)	5857.7 (288.5)	121.5 (14.4)
	96	5.1 (0.7)	0	11.3 (0.5)	15468.0 (1744.5)	106.6 (6.7)
	168	4.8 <sup>j</sup> (1.0)	0	8.1 <sup>k</sup> (1.8)	12762.4 <sup>l</sup> (1247.9)	128.5 <sup>m</sup> (8.2)
4% acetic acid	0	0.1 (0.1)	0	0	17.2 (5.5)	28.5 (9.9)
	24	2216.6 (361.4)	6.7 (2.8)	1.1 (0.2)	18.0 (0.9)	70.2 (15.1)
	96	1488.2 (94.2)	71.3 (2.9)	4.1 (0.5)	41.5 (9.1)	147.2 (43.2)
	168	1156.2 <sup>o</sup> (902.6)	88.7 <sup>p</sup> (23.5)	5.8 <sup>q</sup> (0.9)	50.9 <sup>r</sup> (17.2)	88.1 <sup>s</sup> (12.8)

The elements are ordered according to the division of the periodic system (IA, IIA, etc.)

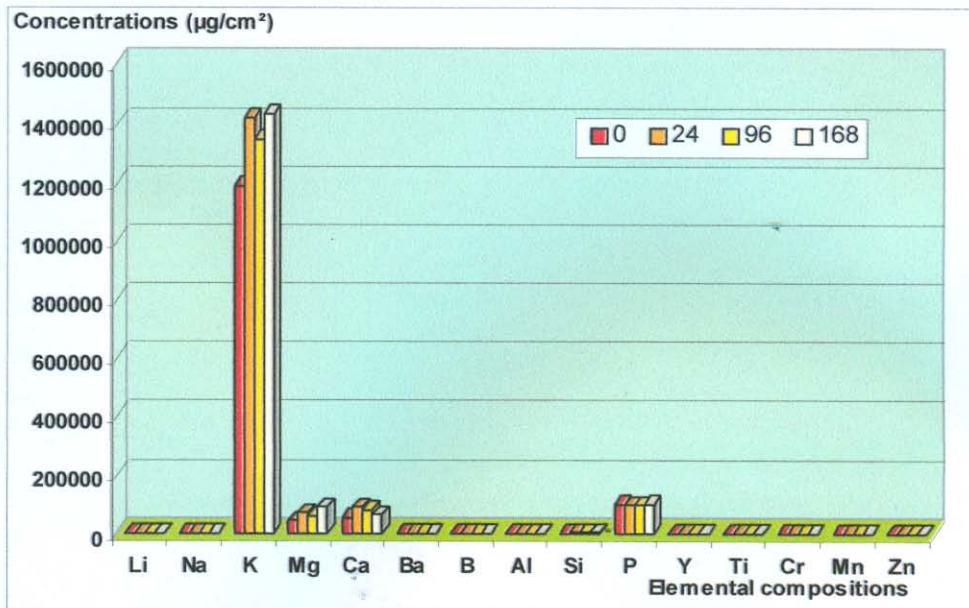
<sup>a-h</sup>The groups with superscript letters in each column were statistically significant difference at  $p < .05$



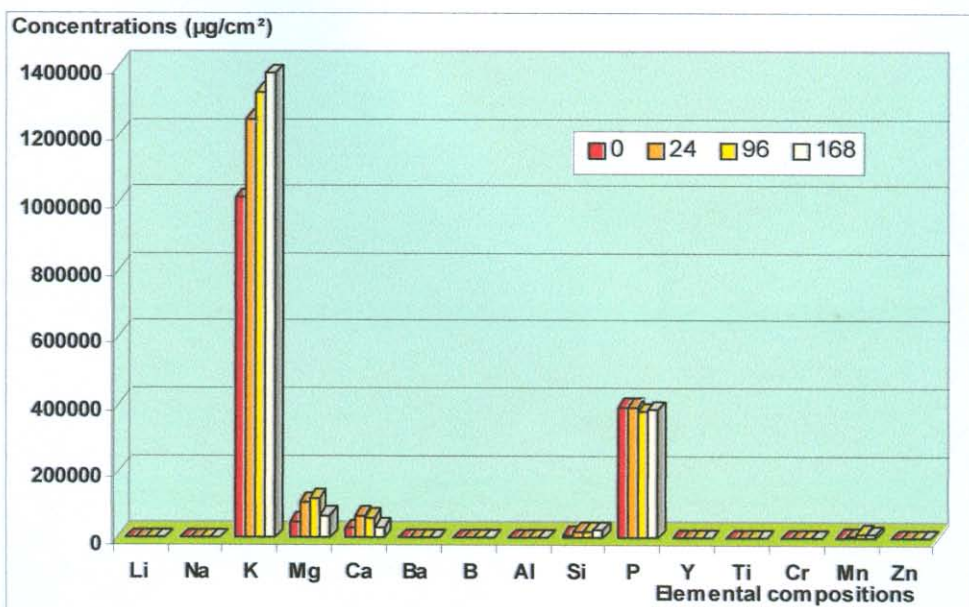
รูปที่ 16 แสดงค่าเฉลี่ยปริมาณธาตุในพอร์ซเลนที่มีลูไซต์ปริมาณสูงเมื่อเทียบกับค่าเฉลี่ยปริมาณธาตุในน้ำกัดน้ำ (กลุ่มควบคุม) ณ เวลาต่างกัน



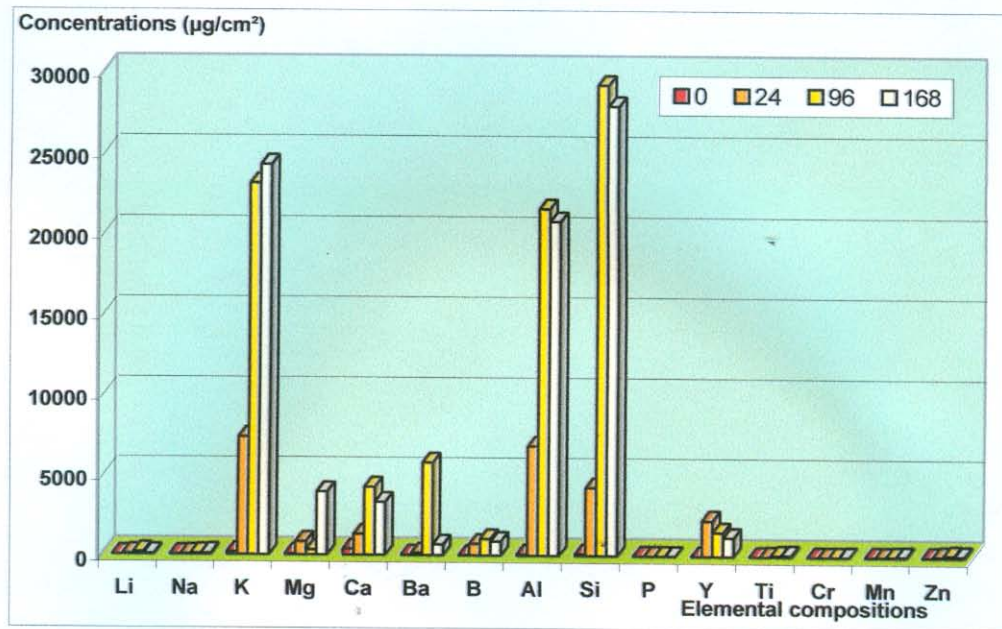
รูปที่ 17 แสดงค่าเฉลี่ยปริมาณธาตุในพอร์ซเลนที่มีลูไซต์ปริมาณสูงเมื่อเทียบกับค่าเฉลี่ยปริมาณธาตุในสารละลายน้ำไฮดรอกซิเพอร์เซนต์ฟเฟอร์ ณ เวลาต่างกัน



รูปที่ 18 แสดงค่าเฉลี่ยปริมาณธาตุในพอร์ชเลนที่มีลูไซต์ปริมาณสูงเมื่อแข็งในน้ำมันมะกง ณ เวลาต่างกัน



รูปที่ 19 แสดงค่าเฉลี่ยปริมาณธาตุในพอร์ชเลนที่มีลูไซต์ปริมาณสูงเมื่อแข็งในน้ำสับปะรด ณ เวลาต่างกัน



รูปที่ 20 แสดงค่าเฉลี่ยปริมาณธาตุในพอร์ซเลนที่มีถูไซต์ปริมาณสูงเมื่อ แข็ง ในสารละลายการดีซิติก ณ เวลาต่างกัน

ตารางที่ 18 และรูปที่ 21-25 แสดงค่าเฉลี่ยปริมาณธาตุและส่วนเบี่ยงเบนมาตรฐานในฟลูออแอก-พาไทต์พอร์ซเลนเมื่อแข็งในสารทดสอบแต่ละชนิด ณ เวลาต่างกันพบว่า มีลักษณะคล้ายคลึงกับพอร์ซเลนทั้ง 3 ชนิด โดยธาตุที่ละลายออกจากการฟลูออแอกพาไทต์พอร์ซเลนแตกต่างกันตามสารทดสอบที่ใช้แข็งสารละลายการดีซิติกความเข้มร้อยละ 4 พบร้าตุลละลายออกมากทุกธาตุที่ตรวจ (15 ธาตุ และมากกว่าพอร์ซเลนทั้ง 3 ชนิด โดยธาตุที่แตกต่างคือฟอฟอรัส) และแตกต่างกันตามจำนวนชั่วโมงที่แข็ง (0 24 96 และ 168 ชั่วโมง) อย่างมีนัยสำคัญทางสถิติ ( $p < .05$ ) น้ำสับปะรด น้ำมะม่วง พบร้าตุลละลายออกมารองลงมา (14 และ 13 ธาตุตามลำดับ และมากกว่าพอร์ซเลนทั้ง 3 ชนิด โดยธาตุที่แตกต่างคือฟอฟอรัส เช่นกัน) สารละลายซีเทเรตบัฟเฟอร์พบร้าตุลละลายออกมา 13 ธาตุ แตกต่างจากพอร์ซเลนที่มีถูไซต์ปริมาณสูง 3 ธาตุ คือพบร้าตุฟอฟอรัส โครเมียม ส่วนแมgnesi เป็นพบรความแตกต่างกันตามจำนวนชั่วโมงที่แข็งอย่างมีนัยสำคัญทางสถิติ ( $p > .05$ ) และน้ำกลั่น (กลุ่มควบคุม) พบร้าตุลละลายออกมาน้อยที่สุด (9 ธาตุ และมากกว่าธาตุที่ละลายออกมาน้อยที่สุดในคุณภาพพอร์ซเลน โดยธาตุที่แตกต่างคือสังกะสี) โดยธาตุที่ละลายออกมารองลงมาแตกต่างกันตามจำนวนชั่วโมงที่แข็งอย่างมีนัยสำคัญทางสถิติ ( $p < .05$ ) เช่นกัน

ตารางที่ 18 ค่าเฉลี่ยปริมาณธาตุและชนิดและส่วนเม็ดของบีมมาตรฐานในฟลูออยด์พาราไซด์ในสารทดสอบแต่ละชนิด ณ เวลาต่างกัน

Storage Media	Hours	Mean elements ( $\mu\text{g}/\text{cm}^2$ ) (SD) at different time (hours)									
		IA			IIA			IIIA			VA
		Li	Na	K	Mg	Ca	Ba	B	Al	Si	P
Control	0	0.4 (0.1)	9.2 (0.4)	25.2 (4.1)	0	75.4 (5.1)	0.8 (0.7)	17.3 (0.7)	0	17.1 (0.9)	0
	24	2.2 (0.3)	11.1 (1.8)	160.8 (35.9)	5.8 (1.0)	196.1 (82.5)	1.3 (0.4)	18.8 (1.2)	1.3 (1.2)	20.5 (0.7)	0.5 (0.1)
	96	1.5 (0.0)	10.5 (0.3)	112.6 (8.4)	3.7 (0.4)	82.9 (28.5)	1.1 (0.0)	17.6 (0.1)	1.8 (1.6)	22.1 (0.6)	0.4 (0.1)
	168	0.9 <sup>a</sup> (0.1)	10.6 (0.3)	150.1 <sup>b</sup> (14.1)	3.4 <sup>c</sup> (0.6)	253.5 <sup>d</sup> (73.3)	1.6 (0.4)	17.6 (0.4)	3.6 <sup>e</sup> (0.8)	23.2 <sup>f</sup> (0.3)	0.6 <sup>g</sup> (0.0)
Citrate buffer solution	0	0.4 (0.1)	60790.2 (563.2)	1691.9 (198.9)	5749.8 (65.5)	94.5 (12.9)	8.9 (0.2)	14.6 (0.2)	0	9.7 (3.3)	0
	24	8.6 (0.9)	64512.8 (3487.3)	3869.1 (443.3)	6212.9 (401.3)	506.6 (61.2)	10.9 (0.7)	15.3 (0.8)	96.2 (37.9)	233.5 (36.6)	0.8 (0.1)
	96	8.2 (1.6)	62153.1 (1690.0)	4102.3 (218.9)	6236.0 (202.1)	530.7 (52.4)	10.3 (0.4)	23.2 (1.3)	80.2 (15.3)	270.2 (38.4)	0.7 (0.0)
	168	3.4 <sup>h</sup> (0.5)	64297.2 (1572.3)	1980.8 <sup>i</sup> (108.8)	5807.6 (162.6)	136.0 <sup>j</sup> (2.9)	8.5 <sup>k</sup> (0.3)	28.1 <sup>l</sup> (1.0)	21.6 <sup>m</sup> (0.7)	110.8 <sup>n</sup> (1.6)	0.7 <sup>o</sup> (0.0)
Mango juice	0	0.9 (0.1)	20.2 (8.9)	1188656.6 (60619.6)	43443.4 (1052.0)	55912.0 (12117.8)	35.6 <sup>p</sup> (1.9)	297.4 (67.2)	47.6 (6.3)	2552.2 (376.3)	98443.0 (2342.3)
	24	13.4 (0.8)	34.9 (1.9)	1359340.8 (63886.8)	63166.6 (314.4)	84570.7 (365.8)	78.5 (1.8)	447.2 (5.0)	198.0 (26.9)	3943.4 (79.1)	116444.8 (10591.9)
	96	3.5 (0.1)	29.7 (2.9)	1391220.6 (122418.6)	56394.9 (3898.6)	71334.2 (7074.8)	40.7 (3.7)	321.5 (30.3)	56.9 (8.1)	2902.7 (311.2)	107706.0 (10099.8)
	168	4.9 <sup>q</sup> (0.2)	40.4 <sup>r</sup> (2.5)	1506837.6 <sup>s</sup> (35020.3)	90728.2 <sup>t</sup> (5032.1)	65010.8 <sup>u</sup> (4907.8)	36.7 <sup>v</sup> (2.8)	459.2 <sup>x</sup> (32.6)	56.1 <sup>y</sup> (6.9)	4044.6 <sup>z</sup> (314.4)	105168.3 <sup>u</sup> (8159.3)
Pineapple juice	0	1.6 (0.2)	22.8 (1.8)	1011811.2 (35749.3)	49300.2 (8774.9)	28749.7 (6308.1)	12.3 (2.3)	351.2 (71.7)	39.4 (6.9)	9231.1 (1941.0)	389269.8 (11201.2)
	24	11.3 (0.4)	40.9 (1.5)	1309808.5 (61648.3)	94508.5 (2209.2)	48227.2 (1373.3)	23.0 (0.4)	730.2 (22.7)	89.8 (3.1)	18122.7 (546.6)	604860.0 (8045.3)
	96	3.7 (0.0)	37.6 (.5)	1272000.3 (86221.9)	115380.4 (2064.9)	58759.6 (922.6)	56.4 (1.9)	807.8 (7.7)	96.4 (3.3)	20702.0 (183.3)	512179.0 (10833.6)
	168	3.6 <sup>t</sup> (0.0)	33.7 <sup>u</sup> (1.5)	1428316.7 <sup>v</sup> (35433.8)	57357.9 <sup>w</sup> (27391.3)	29745.7 <sup>x</sup> (593.0)	25.8 <sup>y</sup> (0.8)	729.1 <sup>z</sup> (28.3)	67.8 <sup>aa</sup> (8.8)	26676.8 <sup>ab</sup> (968.3)	473640.4 <sup>ac</sup> (25056.6)
4% acetic acid	0	0.4 (0.1)	22.8 (3.3)	175.1 (53.5)	67.4 (9.0)	374.0 (68.7)	18.3 (3.8)	18.8 (1.7)	87.0 (6.6)	118.7 (7.6)	0
	24	51.9 (6.9)	56.3 (2.9)	5910.3 (258.1)	209.7 (176.2)	2037.7 (730.2)	22.5 (3.8)	432.5 (60.2)	1077.1 (120.0)	1428.6 (138.9)	1163.9 (150.0)
	96	148.6 (17.8)	46.9 (4.0)	7576.0 (1707.9)	207.5 (25.9)	2319.5 (277.4)	64.4 (29.2)	467.2 (125.5)	2720.5 (955.7)	5059.1 (576.9)	1995.8 (102.9)
	168	54.9 <sup>g</sup> (4.8)	55.7 <sup>h</sup> (15.8)	9512.6 <sup>i</sup> (1378.7)	111.1 <sup>jj</sup> (10.5)	1921.1 <sup>kk</sup> (154.6)	28.5 <sup>ll</sup> (2.9)	842.1 <sup>pp</sup> (185.1)	3652.3 <sup>qq</sup> (469.7)	7011.8 <sup>rr</sup> (928.0)	1709.7 <sup>ss</sup> (400.8)

The elements are ordered according to the division of the periodic system (IA, IIA, etc.)

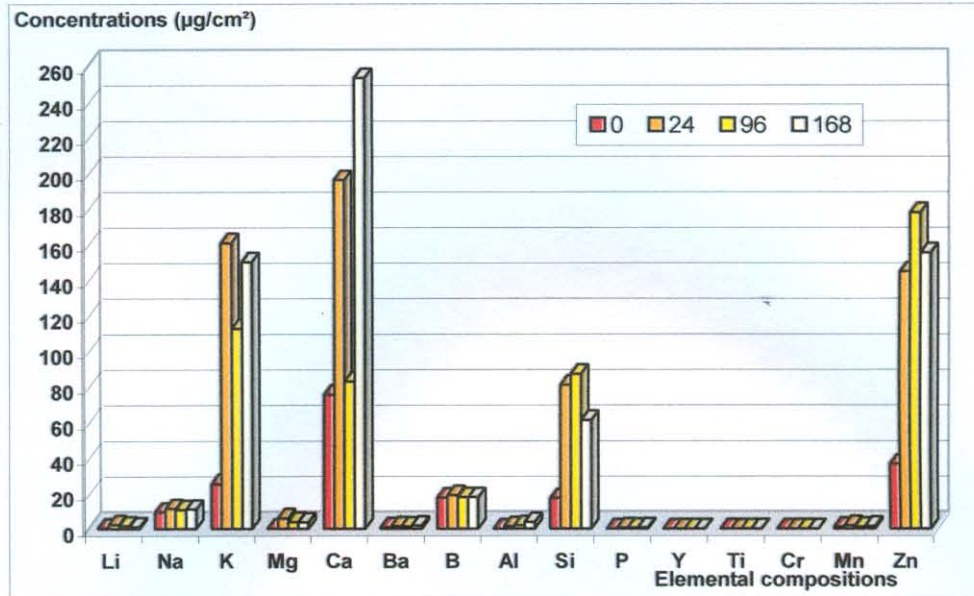
\*: The groups with superscript letters in each column were statistically significant difference at  $p < .05$

ตารางที่ 18 (ต่อ) ค่าเฉลี่ยปริมาณธาตุและอินดิเคส่วนเมียงเมนมาตรฐานในฟลูออยด์พ้ำไทร์พอร์ชเคนเมื่อแขวนสารทดสอบแต่ละชนิด ณ เวลาต่างกัน

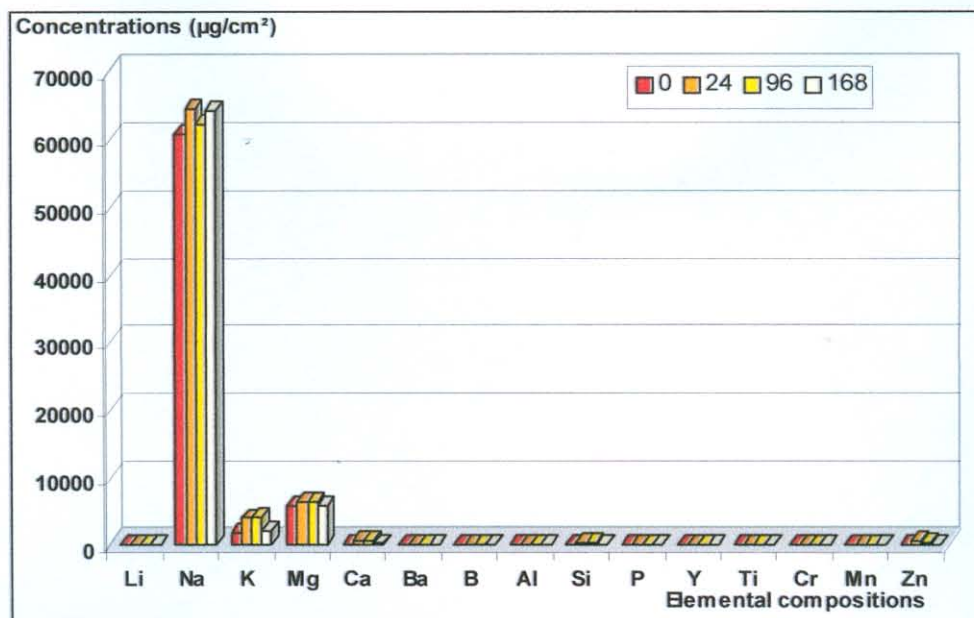
Media	Hours	Mean elements ( $\mu\text{g}/\text{cm}^2$ ) (SD) at different time (hours)					
		III B		IV B		VI B	
		Y	Tl	Cr	Mn	Zn	
Control	0	0	0	0	0.9	36.4	
					(0.0)	(2.4)	
	24	0	0	0	1.7 <sup>a</sup> (1.1)	144.7 (50.5)	
	96	0	0	0	0.9 (0.1)	177.9 (15.0)	
Citrate buffer solution	168	0	0	0	1.4 (0.5)	155.3 <sup>a</sup> (13.0)	
	0	0	0	3.4	5.6	5.6	
				(0.1)	(0.1)	(0.3)	
	24	29.0 (2.8)	1.1 (0.2)	4.0 (0.3)	6.0 (0.3)	641.9 (64.6)	
Mango juice	96	54.1 (5.1)	4.7 (0.6)	4.6 (0.3)	7.7 (0.3)	398.7 (87.6)	
	168	31.2 <sup>b</sup> (1.3)	3.3 <sup>c</sup> (1.4)	3.2 <sup>d</sup> (0.2)	4.8 <sup>e</sup> (0.0)	58.3 <sup>f</sup> (3.4)	
	0	0	0	2.9 (.8)	857.8 (34.3)	37.9 (5.1)	
	24	39.8 (9.0)	0	4.6 (0.8)	2157.9 (32.6)	794.4 (247.8)	
Pineapple juice	96	9.9 (2.5)	0	3.7 (3.2)	857.8 (34.3)	232.3 (201.9)	
	168	0.9 <sup>g</sup> (1.6)	0	6.6 (1.1)	1131.8 <sup>h</sup> (75.7)	982.7 <sup>i</sup> (325.2)	
	0	0	0	5.3 (.6)	2686.7 (552.8)	40.8 (6.3)	
	24	0	0	9.0 (1.7)	5026.4 (147.7)	90.4 (5.1)	
4% acetic acid	96	10.2 (1.5)	0	11.0 (.6)	15673.4 (506.4)	42.7 (8.8)	
	168	7.9 <sup>j</sup> (.3)	0	9.1 <sup>k</sup> (0.5)	13721.5 <sup>l</sup> (977.7)	77.6 <sup>m</sup> (11.9)	
	0	0.1 (0.1)	0	0	17.2 (5.5)	28.5 (9.9)	
	24	2065.1 (94.6)	29.7 (17.9)	2.1 (1.9)	17.6 (2.4)	2221.3 (179.8)	
	96	1331.8 (163.3)	182.9 (65.5)	6.4 (0.4)	48.7 (6.3)	695.7 (48.9)	
	168	1498.4 <sup>n</sup> (389.4)	220.8 <sup>o</sup> (4.8)	3.7 <sup>p</sup> (0.5)	28.3 <sup>q</sup> (4.1)	1438.4 <sup>r</sup> (419.6)	

The elements are ordered according to the division of the periodic system (IA, IIA, etc.)

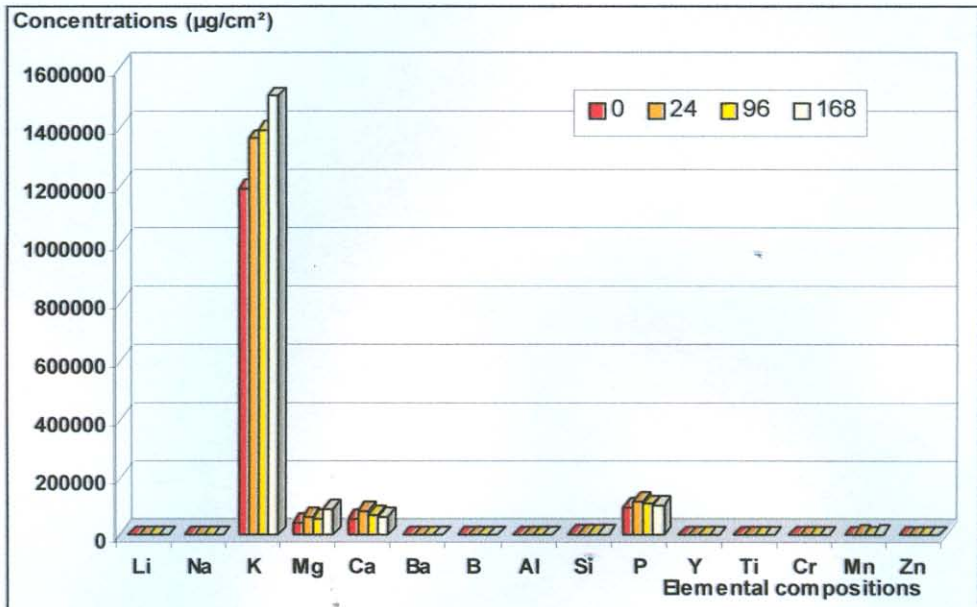
\* The groups with superscript letters in each column were statistically significant difference at  $p < .05$



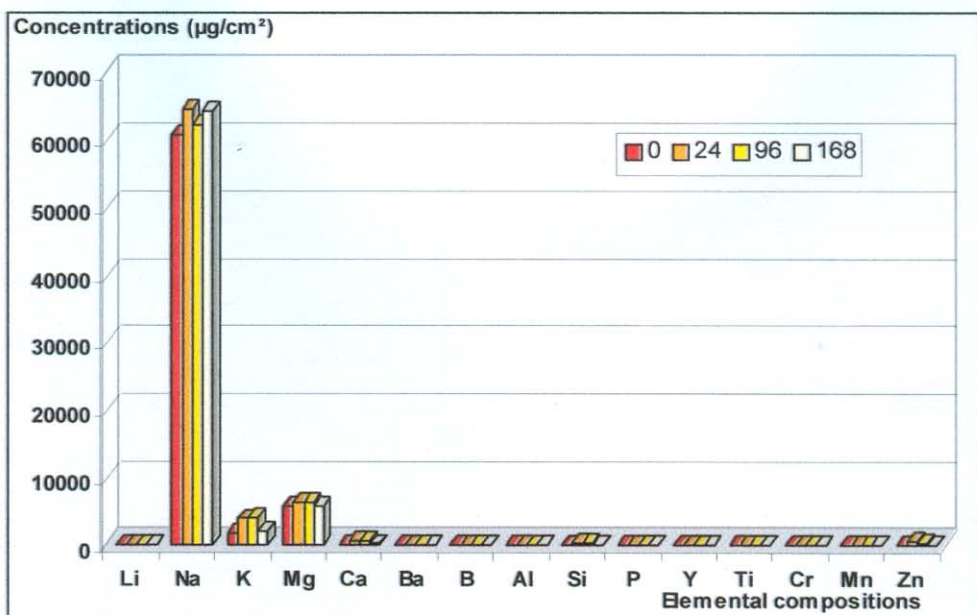
รูปที่ 21 แสดงค่าเฉลี่ยปริมาณธาตุในฟลูออడิพาไทด์พอร์ชเลนเมื่อแข็งในน้ำกัลล์ (กลุ่มควบคุม) ณ เวลาต่างกัน



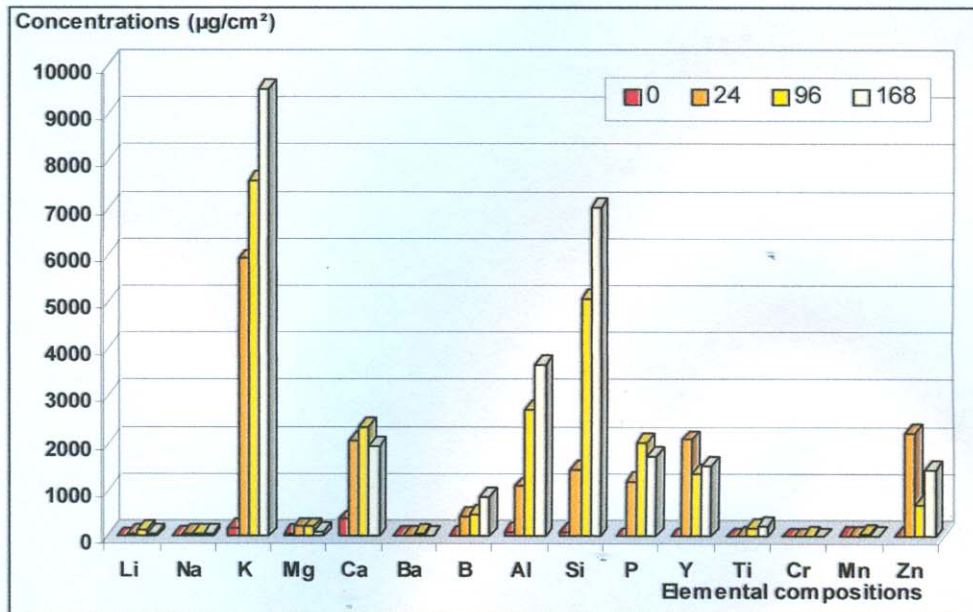
รูปที่ 22 แสดงค่าเฉลี่ยปริมาณธาตุในฟลูออడิพาไทด์พอร์ชเลนเมื่อแข็งในสารละลายซิเทรตบัฟเฟอร์ ณ เวลาต่างกัน



รูปที่ 23 แสดงค่าเฉลี่ยปริมาณธาตุในฟลูออแอกพพาไทร์พอร์ชเลนเมื่อแข็งในน้ำมันม่วง ณ เวลาต่างกัน



รูปที่ 24 แสดงค่าเฉลี่ยปริมาณธาตุในฟลูออแอกพพาไทร์พอร์ชเลนเมื่อแข็งในน้ำสบประด ณ เวลาต่างกัน



รูปที่ 25 แสดงค่าเฉลี่ยปริมาณธาตุในฟลูออแอกพพาไทด์พอร์ซเลนเมื่อแข็งในสารละลายกรดอะซิติก ณ เวลาต่างกัน

ตารางที่ 19 แสดงการละลายนองชาตุออกจากชั้นด้วยอย่างพอร์ชเลนทั้ง 4 ชนิดในสารทดสอบแต่ละชนิด (พิจารณาเฉพาะชาตุที่ละลายออกมากแตกต่างกันของพอร์ชเลนแต่ละชนิดอย่างมีนัยสำคัญทางสถิติที่ระดับนัยสำคัญ .05) พบว่า ในน้ำกลั่น (กลุ่มควบคุณ) ฟลูออเอพอพาไทร์พอร์ชเลนพบชาตุละลายออกมา 6 ชาตุได้แก่ โซเดียม โปแทสเซียม พอสฟอรัส เมงกานีส และสังกะสี พอร์ชเลนที่มีลูไซต์ปริมาณสูงพบ แคลเซียม เมงกานีเซียมและอะลูมิเนียม และเฟล์สปาร์ทิกพอร์ชเลนพบແเบรียม ในสารละลายนี้เท่าที่ ฟลูออเอพอพาไทร์พอร์ชเลนพบชาตุละลายออกมา 6 ชาตุได้แก่ โซเดียม แคลเซียม ซิลิกอน พอสฟอรัส ไทเทเนียม และสังกะสี พอร์ชเลนที่มีลูไซต์ปริมาณสูงพบโปแทสเซียม เมงกานีเซียม อิตเทเรียม และเมงกานีส เฟล์สปาร์ทิกพอร์ชเลนพบແเบรียม และอะลูมินัลพอร์ชเลนพบใบรอง ส่วนน้ำผลไม้รสเบรี่ยวน้ำทั้ง 2 ชนิดนั้น ในน้ำมะม่วง พอร์ชเลนที่มีลูไซต์ปริมาณสูงพบແเบรียม อิตเทเรียม และสังกะสี อะลูมินัลพอร์ชเลนพบ ใบรอง และอะลูมิเนียม และฟลูออเอพอพาไทร์พอร์ชเลนพบฟอสฟอรัส ส่วนน้ำสับปะรด พอร์ชเลนที่มี ลูไซต์ปริมาณสูงพบโซเดียม ແเบรียม และสังกะสี อะลูมินัลพอร์ชเลนพบอะลูมิเนียม และอิตเทเรียม และฟลูออเอพอพาไทร์พอร์ชเลนพบฟอสฟอรัส เช่นกัน ในขณะที่สารละลายนกรดอะซิติก อะลูมินัลพอร์ชเลน พบชาตุละลายออกมา 5 ชาตุได้แก่ โซเดียม แคลเซียม ใบรอง อะลูมิเนียมและซิลิกอน เฟล์สปาร์ทิก พอร์ชเลนและฟลูออเอพอพาไทร์พอร์ชเลนพบชาตุฟอสฟอรัส ไทเทเนียม และสังกะสี ส่วน พอร์ชเลนที่มีลูไซต์ปริมาณสูงพบโปแทสเซียมและเมงกานีเซียม อย่างไรก็ตามเมื่อพิจารณาชาตุองค์ประกอบ หลักของพอร์ชเลนทั้ง 4 ชนิดคือซิลิกอน พบร่วมกับสารละลายนอกมาในน้ำกลั่น และน้ำผลไม้รสเบรี่ยวน้ำทั้ง 2 ชนิดไม่แตกต่างกันอย่างมีนัยสำคัญทางสถิติ ( $p > .05$ ) ยกเว้นในสารละลายนี้เท่าบันฟเฟอร์ ฟลูออเอพอพาไทร์พอร์ชเลนละลายออกมากที่สุด และสารละลายนกรดอะซิติก อะลูมินัลพอร์ชเลนละลายออกมากที่สุด ผ่านชาตุหนูโลหะที่สำคัญได้แก่ โซเดียม พบร่วมกับในน้ำกลั่นและสารละลายนี้เท่าบันฟเฟอร์ ฟลูออเอพอพาไทร์พอร์ชเลนละลายออกมากที่สุด ในน้ำสับปะรด พอร์ชเลนที่มีลูไซต์ปริมาณสูงละลายออกมากที่สุด โปแทสเซียม ในน้ำ กลั่น ฟลูออเอพอพาไทร์พอร์ชเลนละลายออกมากที่สุด ในสารละลายนี้เท่าบันฟเฟอร์และสารละลายนกรดอะซิติก พอร์ชเลนที่มีลูไซต์ปริมาณสูงละลายออกมากที่สุด และลิเทียม ไม่พบความแตกต่างอย่างมีนัยสำคัญทางสถิติที่ระดับนัยสำคัญ .05

ตารางที่ 19 ลำดับการละลายของธาตุของพอร์ซเลนทั้ง 4 ชนิดในแต่ละสารทดสอบ

Elemental compositions		Storage media											
		Control				Citrate buffer solution				Mango juice			
IA	Li	FAP	HP	FP	AP	HP	FP	AP	FAP	FP	FAP	AP	HP
IIA	Na	FAP	HP	AP	FP	FAP	AP	FP	HP	HP	FAP	AP	FP
IIIA	K	FAP	HP	FP	AP	HP	FAP	FP	AP	AP	FP	FAP	HP
IV	Mg	HP	FAP	AP	FP	HP	FAP	AP	FP	HP	AP	FP	FAP
V	Ca	HP	AP	FAP	FP	FAP	HP	FP	AP	FP	HP	AP	FAP
VIIB	Ba	FP	HP	FAP	AP	FP	HP	FAP	AP	HP	FP	AP	FAP
VIB	B	HP	FAP	AP	FP	AP	FP	HP	FAP	AP	FP	HP	FAP
IVB	Al	HP	AP	FAP	FP	HP	AP	FP	FAP	AP	HP	FP	FAP
VIB	Si	FAP	HP	FP	AP	FAP	HP	AP	FP	HP	AP	FP	FAP
VIB	P	FAP	HP	AP	FP	FAP	HP	AP	FP	FAP	HP	AP	FP
VIB	Y	No element				HP	AP	FAP	FP	HP	FAP	AP	FP
VIB	Ti	No element				FAP	HP	AP	FP	No element			
VIB	Cr	No element				AP	FAP	FP	HP	FP	FAP	HP	AP
VIB	Mn	FAP	HP	AP	FP	HP	AP	FAP	FP	AP	FP	HP	FAP
VIB	Zn	FAP	HP	AP	FP	FAP	HP	AP	FP	HP	FAP	AP	FP
Level of elements dissolution		High	←		Low	High	←		Low	High	←		Low

FP = Feldspathic porcelain; AP = Aluminous porcelain; HP = High leucite porcelain; FAP = Fluorapatite porcelain

The elements are ordered according to the division of the periodic system (IA, IIA, etc.)

The porcelains within the squares were not statistically significant difference at  $p < .05$

ตารางที่ 19 (ต่อ) ลำดับการละลายของธาตุของพอร์ซเลนทั้ง 4 ชนิดในแต่ละสารทดสอบ

Elemental Compositions		Storage media							
		Pineapple juice				4% acetic acid			
IA	Li	FP	FAP	HP	AP	FP	HP	FAP	AP
	Na	HP	AP	FAP	FP	AP	HP	FP	FAP
	K	FAP	FP	AP	HP	HP	AP	FP	FAP
IIA	Mg	HP	AP	FP	FAP	HP	FP	AP	FAP
	Ca	HP	FP	AP	FAP	AP	HP	FP	FAP
	Ba	HP	FP	FAP	AP	FP	HP	AP	FAP
III A	B	AP	HP	FAP	FP	AP	HP	FP	FAP
	Al	AP	HP	FP	FAP	AP	<u>HP</u>	FP	FAP
IV	Si	FAP	HP	AP	FP	AP	HP	FP	FAP
V	P	FAP	HP	AP	FP	FAP	HP	AP	FP
IIIB	Y	AP	FAP	FP	HP	FP	AP	FAP	HP
IVB	Ti	No element				FAP	HP	FP	AP
VIB	Cr	AP	HP	FAP	FP	FP	AP	FAP	HP
VIIB	Mn	FAP	HP	AP	FP	FP	AP	HP	FAP
IIB	Zn	HP	AP	FP	FAP	FAP	AP	FP	HP
Level of elements dissolution		High	←		Low	High	←		Low

FP = Feldspathic porcelain; AP = Aluminous porcelain; HP = High leucite porcelain; FAP = Fluorapatite porcelain

The elements are ordered according to the division of the periodic system (IA, IIA, etc.)

The porcelains within the squares were not statistically significant difference at  $p < .05$

## การวิเคราะห์ธาตุในชีนตัวอย่าง

ชีนตัวอย่างพอร์ซเลนทั้ง 4 ชนิดได้แก่ เฟลเดสปาร์กพอร์ซเลน อะลูมินัลพอร์ซเลน พอร์ซเลน ที่มีสูตรปริมาณสูง และฟลูออแอกพาไทต์พอร์ซเลน เมื่อแข็งสารละลายซีเทเรตบัฟเฟอร์ กรดอะซิติก ความเข้มร้อยละ 4 และน้ำผลไม้รสมเบรี้ยวดีแลก น้ำมะม่วงและน้ำสับปะรด โดยมีน้ำกลันเป็นกลุ่มควบคุม นำมาวิเคราะห์ธาตุในชีนตัวอย่างพอร์ซเลนทั้ง 4 ชนิด ก่อนและหลังทดสอบเป็นเวลา 24 ชั่วโมง และ 168 ชั่วโมง โดยธาตุที่ตรวจพบ 10 ธาตุได้แก่ หมู่ IA คือโซเดียม (Na) และโปแทสเซียม (K) หมู่ IIA คือ แมกนีเซียม (Mg) และแคลเซียม (Ca) หมู่ IIIA คือ อะลูมิเนียม (Al) หมู่ IVA คือคาร์บอน (C) และซิลิโคน (Si) หมู่ VA คือฟอสฟอรัส (P) หมู่ VI A คือออกซิเจน (O) และธาตุทรายซีรีนหมู่ IVB คือ ไธเทเนียม (Ti) การวิเคราะห์ธาตุในชีนตัวอย่างด้วยเครื่องสเปกโกรมิเตอร์ชนิดแยกแจงพลังงาน ค่าของธาตุทุกตัวที่ได้แสดงเป็นสัดส่วนร้อยละเปรียบเทียบกับจำนวนธาตุทั้งหมด ดังนั้นการพิจารณาว่า ธาตุใดมีจำนวนลดลงหรือสูญเสียไปหรือไม่ พิจารณาเฉพาะร้อยละของธาตุที่ลดลงอย่างมีนัยสำคัญทางสถิติ ( $p < .05$ ) เปรียบเทียบกับร้อยละธาตุก่อนเริ่มทดสอบ (0 ชั่วโมง) หากร้อยละของธาตุใดเท่าเดิมหรือเพิ่มขึ้นแสดงว่าธาตุนั้นไม่มีการเปลี่ยนแปลงอย่างมีนัยสำคัญทางสถิติ ( $p > .05$ )

ตารางที่ 20 แสดงการวิเคราะห์ข้อมูลด้วยสถิติกារทดสอบความแปรปรวนสองทางแบบวัดซ้ำ เมื่อพิจารณาผลของตัวแปร 2 อย่าง (ชนิดของพอร์ซเลนและสารทดสอบ) ที่มีต่อปริมาณธาตุในชีนตัวอย่าง ณ เวลาต่างกัน ซึ่งจากการวิเคราะห์ผลด้วยสถิติกារทดสอบความแปรปรวนสองทางแบบวัดซ้ำ ที่ระดับนัยสำคัญ .05 พบว่า ชนิดของพอร์ซเลน สารทดสอบ และปฏิสัมพันธ์ระหว่างตัวแปรทั้งสองไม่มีผลต่อปริมาณธาตุในชีนตัวอย่างอย่างมีนัยสำคัญทางสถิติ ( $p > .05$ ) อย่างไรก็ตามเมื่อเปรียบเทียบความแตกต่างระหว่างปริมาณธาตุแต่ละตัวในแต่ละช่วงเวลาของพอร์ซเลนแต่ละชนิดเมื่อแข็งในสารทดสอบต่างชนิดกันพบว่า มีความแตกต่างกันอย่างมีนัยสำคัญทางสถิติ ( $p < .05$ )

ตารางที่ 21 แสดงองค์ประกอบของธาตุเริ่มต้นในพอร์ซเลนแต่ละชนิดพบว่า ร้อยละของธาตุที่ปริมาณใกล้เคียงกัน โดยซิลิโคนเป็นธาตุที่พบมากที่สุดในพอร์ซเลนทุกชนิด ส่วนแมกนีเซียมเป็นธาตุที่พบน้อยที่สุด และฟอสฟอรัสพบเฉพาะในฟลูออแอกพาไทต์พอร์ซเลนเท่านั้น

ตารางที่ 20 ผลการวิเคราะห์ข้อมูลด้วยสถิติกារทดสอบความแปรปรวนสองทางแบบบัวดช้ำ

Source	Type III Sum of Squares	df	Mean Square	F	p-value
Intercept	20000.725	1	20000.725	5349923192.31	.01
Type of porcelain	$8.60 \times 10^{-6}$	3	$2.87 \times 10^{-6}$	.77	.51
Type of storage media	$1.18 \times 10^{-5}$	4	$2.94 \times 10^{-6}$	.79	.54
Interaction between type of porcelain and storage media	$4.64 \times 10^{-5}$	12	$3.87 \times 10^{-6}$	1.04	.42
Error	.01	180	$3.74 \times 10^{-6}$		

ตารางที่ 21 องค์ประกอบของธาตุเริ่มต้นของพอร์ซเลนแต่ละชนิด

Type of porcelain	Mean elements (per cent) (SD)																
	I	II	III	IV	V	VI	IVB	Na	K	Mg	Ca	Al	C	Si	P	O	Ti
Feldspathic porcelain	3.6 (0.2)	12.9 (2.5)	0.3 (0.1)	2.6 (0.7)	8.7 (0.2)	13.3 (3.3)	34.8 (2.1)	0	22.4 (2.5)	1.5 (0.6)							
Aluminous porcelain	2.4 (0.1)	10.2 (1.3)	0.4 (0.1)	1.3 (0.2)	7.4 (0.2)	17.1 (1.9)	38.8 (1.8)	0	21.9 (0.5)	0.6 (0.1)							
High leucite porcelain	2.8 (0.1)	18.5 (0.9)	0.3 (0.1)	2.8 (0.2)	9.9 (0.2)	11.4 (1.4)	37.9 (0.8)	0	15.8 (0.7)	0.7 (0.2)							
Fluorapatite porcelain	5.2 (0.3)	11.3 (2.8)	0.5 (0.1)	1.8 (0.5)	2.1 (0.2)	22.9 (4.1)	30.1 (2.9)	1.7 (0.2)	22.9 (2.3)	1.3 (0.4)							

The elements are ordered according to the division of the periodic system (IA, IIA, etc.)

ตารางที่ 22 และรูปที่ 26-30 แสดงค่าเฉลี่ยร้อยละปริมาณธาตุและส่วนเบี่ยงเบนมาตรฐานในเฟล์ดสปัติกพอร์ซเลนเมื่อแข็งในสารทดสอบแต่ละชนิด ณ เวลาต่างกันพบว่า ร้อยละของธาตุที่ลดลงในเฟล์ดสปัติกพอร์ซเลนแตกต่างกันตามสารทดสอบที่ใช้แข็งและเวลา เมื่อเวลาเพิ่มขึ้นชีนตัวอย่างพอร์ซเลนสูญเสียธาตุเพิ่มขึ้น สารละลายนครองค์ติดความเข้มร้อยละ 4 พบร้อยละธาตุลดลงตามเวลาที่เพิ่มขึ้นมากที่สุด (7 ชาตุ) อย่างมีนัยสำคัญทางสถิติ ( $p < .05$ ) โดยการบอนและออกซิเจนพบร้อยละเพิ่มขึ้นแสดงว่าไม่มีการเปลี่ยนแปลง น้ำสับปะรด และน้ำมะม่วงพบร้อยละธาตุลดลงตามเวลาที่เพิ่มขึ้นรองลงมา (6 ชาตุ) อย่างมีนัยสำคัญทางสถิติ ( $p < .05$ ) โดยการบอนและออกซิเจนพบร้อยละเพิ่มขึ้น และไทเทเนียมไม่พบรการเปลี่ยนแปลง สารละลายน้ำเงินฟลูอิเดฟอร์พบร้อยละธาตุลดลง 5 ชาตุ อย่างมีนัยสำคัญทางสถิติ ( $p < .05$ ) โดยการบอนและออกซิเจนพบร้อยละเพิ่มขึ้น โซเดียมและไทเทเนียมไม่พบรการเปลี่ยนแปลง และน้ำกัลล์ (กลุ่มควบคุม) พบร้อยละธาตุลดลงน้อยที่สุด (4 ชาตุ) ได้แก่ โปแทสเซียม แมกนีเซียม อะลูมิเนียม และซิลิกอน โดยร้อยละธาตุลดลงตามเวลาอย่างมีนัยสำคัญทางสถิติ ( $p < .05$ ) เช่นกัน

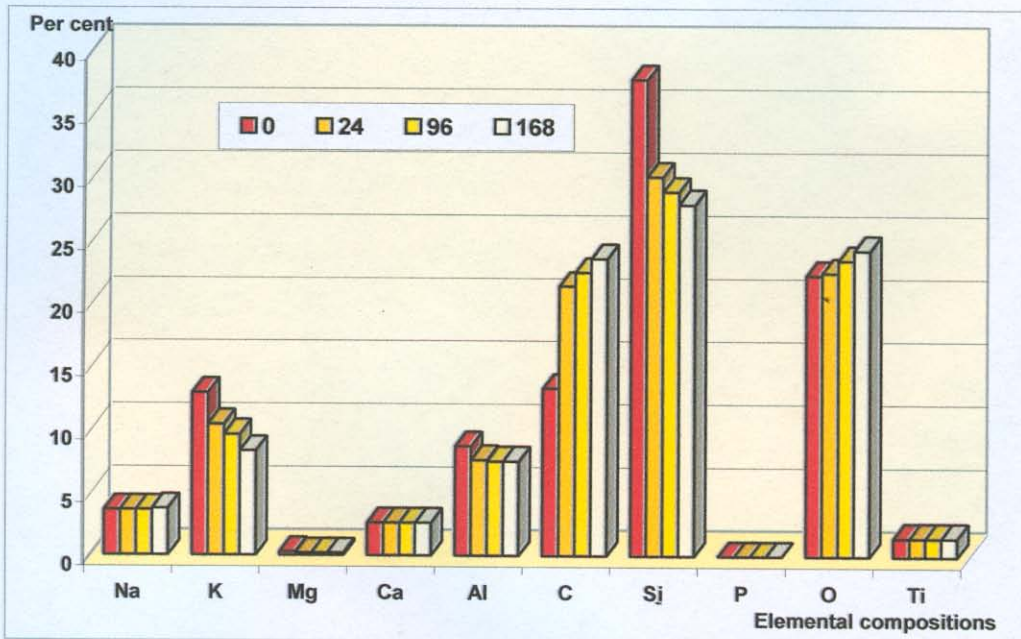
ตารางที่ 23 และรูปที่ 31-35 แสดงค่าเฉลี่ยร้อยละปริมาณธาตุและส่วนเบี่ยงเบนมาตรฐานในอะลูมิնัลพอร์ซเลนเมื่อแข็งในสารทดสอบแต่ละชนิด ณ เวลาต่างกันพบว่า ร้อยละของธาตุที่ลดลงในอะลูมินัลพอร์ซเลนมีลักษณะใกล้เคียงกับเฟล์ดสปัติกพอร์ซเลน คือพบร้อยละธาตุลดลงแตกต่างกันตามสารทดสอบที่ใช้แข็งและเวลา เมื่อเวลาเพิ่มขึ้นชีนตัวอย่างพอร์ซเลนสูญเสียธาตุเพิ่มขึ้น สารละลายนครองค์ติดความเข้มร้อยละ 4 พบร้อยละธาตุลดลงตามเวลาที่เพิ่มขึ้นมากที่สุด (7 ชาตุ) อย่างมีนัยสำคัญทางสถิติ ( $p < .05$ ) โดยการบอนและออกซิเจนพบร้อยละเพิ่มขึ้นแสดงว่าไม่มีการเปลี่ยนแปลง น้ำสับปะรด และน้ำมะม่วงพบร้อยละธาตุลดลงตามเวลาที่เพิ่มขึ้นรองลงมา (6 ชาตุ) อย่างมีนัยสำคัญทางสถิติ ( $p < .05$ ) โดยการบอนและออกซิเจนพบร้อยละเพิ่มขึ้น และไทเทเนียมไม่พบรการเปลี่ยนแปลง สารละลายน้ำเงินฟลูอิเดฟอร์พบร้อยละธาตุลดลง 5 ชาตุอย่างมีนัยสำคัญทางสถิติ ( $p < .05$ ) โดยการบอนและออกซิเจนพบร้อยละเพิ่มขึ้น โซเดียมและไทเทเนียมไม่พบรการเปลี่ยนแปลง และน้ำกัลล์ (กลุ่มควบคุม) พบร้อยละธาตุลดลงน้อยที่สุด (5 ชาตุ) ได้แก่ โปแทสเซียม แมกนีเซียม แคลเซียม อะลูมิเนียม และซิลิกอน โดยร้อยละธาตุลดลงตามเวลาอย่างมีนัยสำคัญทางสถิติ ( $p < .05$ ) เช่นกัน

ตารางที่ 22 ค่าเฉลี่ยร้อยละปริมาณธาตุและส่วนเบี่ยงเบนมาตรฐานในเฟล์ดสปัลกพอร์ชเลนเมื่อ放  
ในสารทดลองแต่ละชนิด ณ เวลาต่างกัน

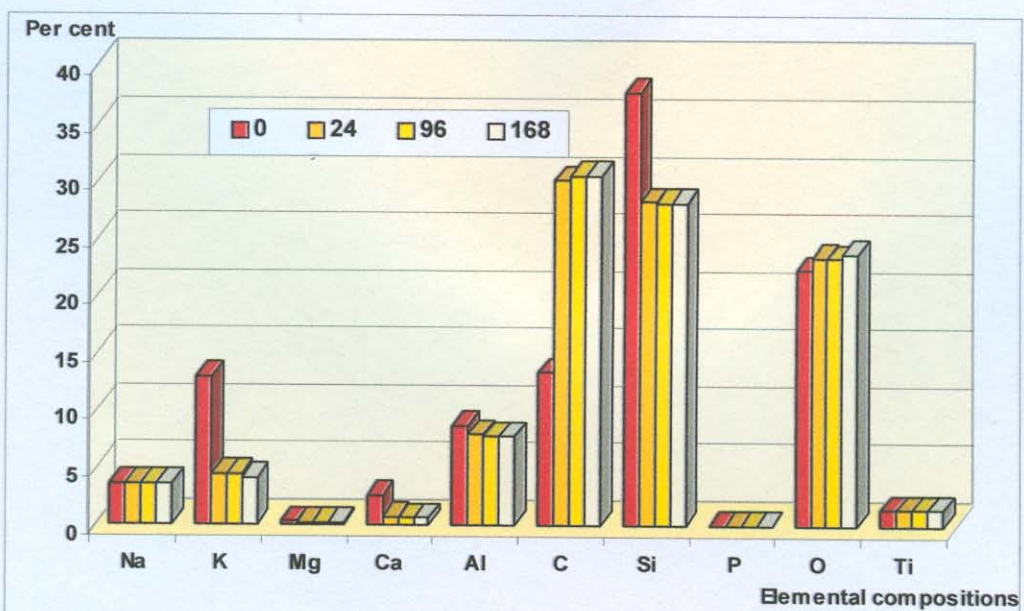
Storage media	Hours	Mean elements (per cent) (SD) at different times (hours)									
		I		II		III		IV		V	
		Na	K	Mg	Ca	Al	C	Si	P	O	Ti
Control	0	3.6 (0.2)	12.9 (2.5)	0.3 (0.1)	2.6 (0.7)	8.7 (0.2)	13.3 (3.3)	34.8 (2.1)	0	22.4 (2.5)	1.5 (0.6)
	24	3.6 (0.1)	10.4 (1.3)	0.2 (0.1)	2.6 (0.4)	7.6 (0.4)	21.4 (2.8)	30.1 (1.6)	0	22.5 (0.9)	1.5 (0.4)
	96	3.6 (0.1)	9.6 (1.0)	0.2 (0.1)	2.6 (0.4)	7.5 (0.3)	22.6 (1.7)	28. (1.7)	0	23.6 (1.0)	1.6 (0.4)
	168	3.7 (0.1)	8.6 <sup>a</sup> (0.9)	0.2 <sup>b</sup> (0.1)	2.6 (0.4)	7.5 <sup>d</sup> (0.3)	23.6 (1.4)	27.9 <sup>e</sup> (1.6)	0	24.3 (1.3)	1.5 (0.3)
Citrate buffer solution	24	3.6 (0.1)	4.4 (0.3)	0.2 (0.1)	0.7 (0.1)	7.9 (0.2)	30.1 (0.9)	28.2 (0.8)	0	23.4 (0.8)	1.5 (0.3)
	96	3.6 (0.1)	4.4 (0.8)	0.2 (0.1)	0.6 (0.1)	7.7 (0.6)	30.5 (2.1)	28.1 (0.9)	0	23.3 (0.4)	1.5 (0.4)
	168	3.6 (0.1)	4.1 <sup>f</sup> (0.6)	0.2 <sup>g</sup> (0.1)	0.6 <sup>h</sup> (0.2)	7.7 <sup>i</sup> (0.4)	30.5 (1.9)	28.1 <sup>j</sup> (1.5)	0	23.7 (0.5)	1.5 (0.3)
	24	3.1 (0.8)	6.5 (1.9)	0.2 (0.1)	1.1 (0.6)	6.4 (1.4)	31.8 (7.3)	25.9 (3.1)	0	23.5 (1.3)	1.5 (0.3)
Mango juice	96	2.9 (0.7)	6.4 (1.8)	0.2 (0.1)	1.1 (0.3)	6.8 (1.5)	32.4 (11.7)	25.2 (6.2)	0	23.5 (1.9)	1.5 (0.3)
	168	2.7 <sup>k</sup> (0.2)	2.8 <sup>l</sup> (1.2)	0.2 <sup>m</sup> (0.1)	0.6 <sup>n</sup> (0.2)	4.7 <sup>o</sup> (0.6)	46.3 (2.5)	15.4 <sup>p</sup> (2.4)	0	25.9 (2.3)	1.5 (0.3)
	24	3.1 (0.5)	9.7 (1.5)	0.2 (0.1)	1.8 (0.3)	7.8 (0.3)	24.2 (2.6)	29.8 (1.8)	0	21.9 (1.7)	1.5 (0.3)
	96	3.1 (0.7)	8.3 (1.4)	0.2 (0.1)	1.6 (0.3)	7.6 (0.7)	26.3 (5.6)	28.4 (2.9)	0	23.2 (1.2)	1.5 (0.3)
Pineapple juice	168	2.7 <sup>q</sup> (0.1)	6.7 <sup>r</sup> (1.2)	0.2 <sup>s</sup> (0.1)	1.3 <sup>t</sup> (0.3)	7.1 <sup>u</sup> (0.5)	30.6 (2.9)	25.9 <sup>v</sup> (1.9)	0	24.1 (1.3)	1.5 (0.2)
	24	3.1 (0.1)	3.5 (0.2)	0.2 (0.1)	0.8 (0.1)	6.4 (0.2)	31.7 (0.8)	29.7 (0.9)	0	23.8 (1.3)	1.5 (0.3)
	96	3.1 (0.3)	3.3 (0.2)	0.2 (0.1)	0.8 (0.1)	5.9 (0.1)	33.4 (0.5)	29.9 (0.6)	0	23.1 (0.9)	0.9 (0.3)
	168	2.6 <sup>w</sup> (0.2)	1.1 <sup>x</sup> (0.2)	0.2 <sup>y</sup> (0.1)	0.8 <sup>z</sup> (0.1)	4.4 <sup>aa</sup> (0.3)	37.8 (1.9)	21.9 <sup>ab</sup> (1.6)	0	30.5 (1.2)	0.6 <sup>ac</sup> (0.2)

The elements are ordered according to the division of the periodic system (IA, IIA, etc.)

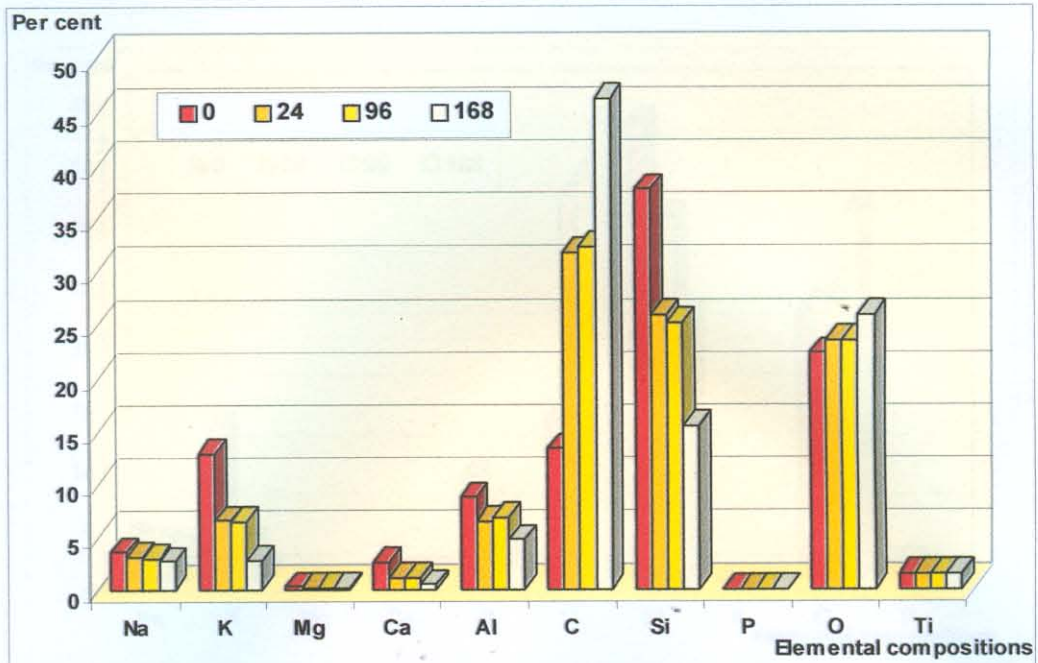
\*<sup>ac</sup> The groups with superscript letters in each column were statistically significant difference at p < .05



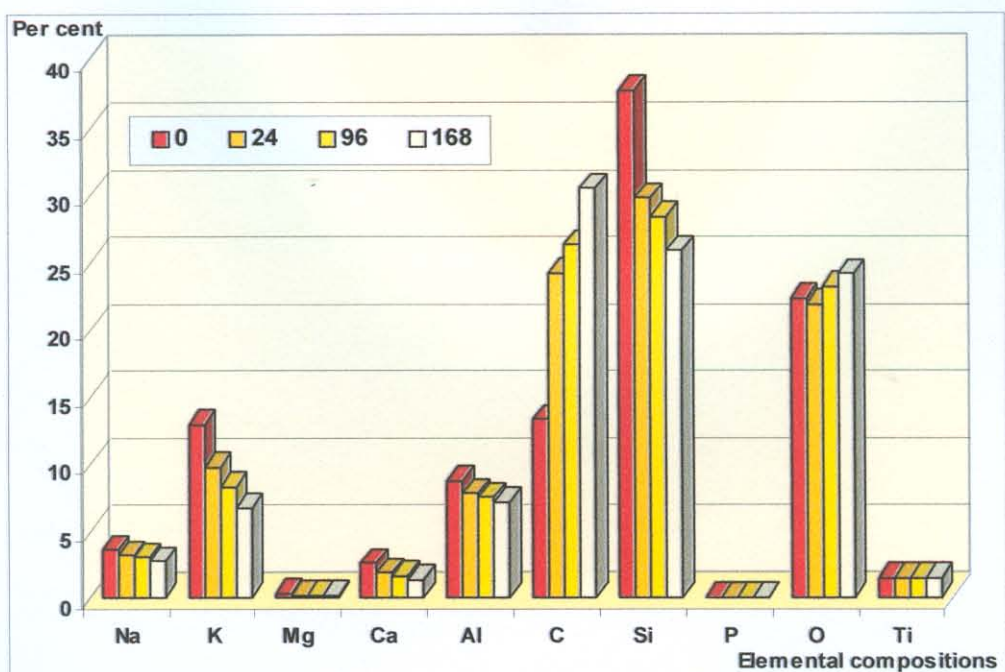
รูปที่ 26 แสดงค่าเฉลี่ยร้อยละปริมาณธาตุในเฟล์ดสปาร์กพร์ซเลนเมื่อแบ่งในน้ำกลั่น (กลุ่มควบคุม) ณ เวลาต่างกัน



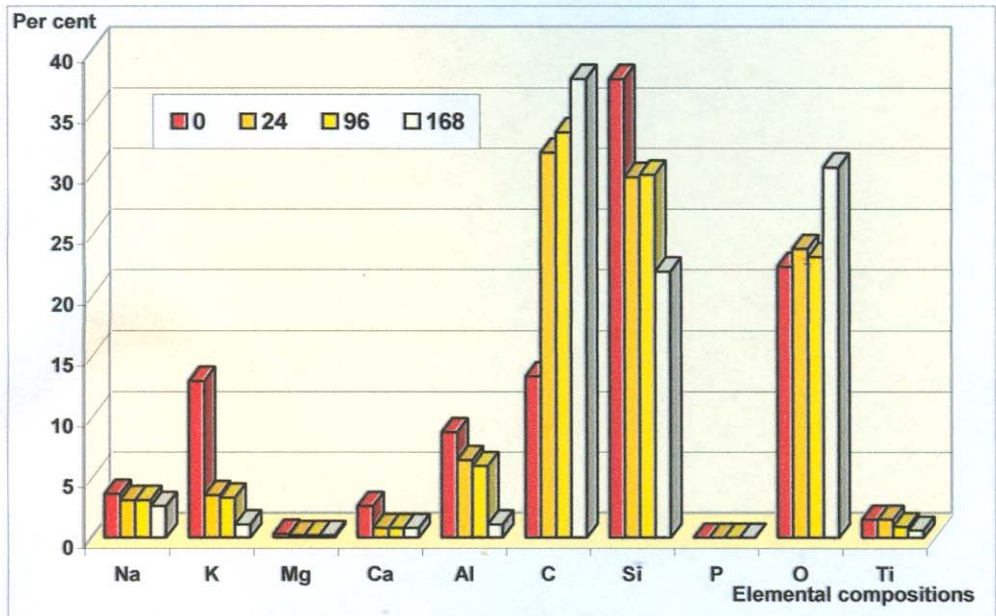
รูปที่ 27 แสดงค่าเฉลี่ยร้อยละปริมาณธาตุในเฟล์ดสปาร์กพร์ซเลนเมื่อแบ่งในสารละลายซีเทเรตบัฟเฟอร์ ณ เวลาต่างกัน



รูปที่ 28 แสดงค่าเฉลี่ยร้อยละปริมาณธาตุในเฟล์ดสปัติกพอร์ซเลนเมื่อแข็งในน้ำมันม่วง ณ เวลาต่างกัน



รูปที่ 29 แสดงค่าเฉลี่ยร้อยละปริมาณธาตุในเฟล์ดสปัติกพอร์ซเลนเมื่อแข็งในน้ำสับปะรด ณ เวลาต่างกัน



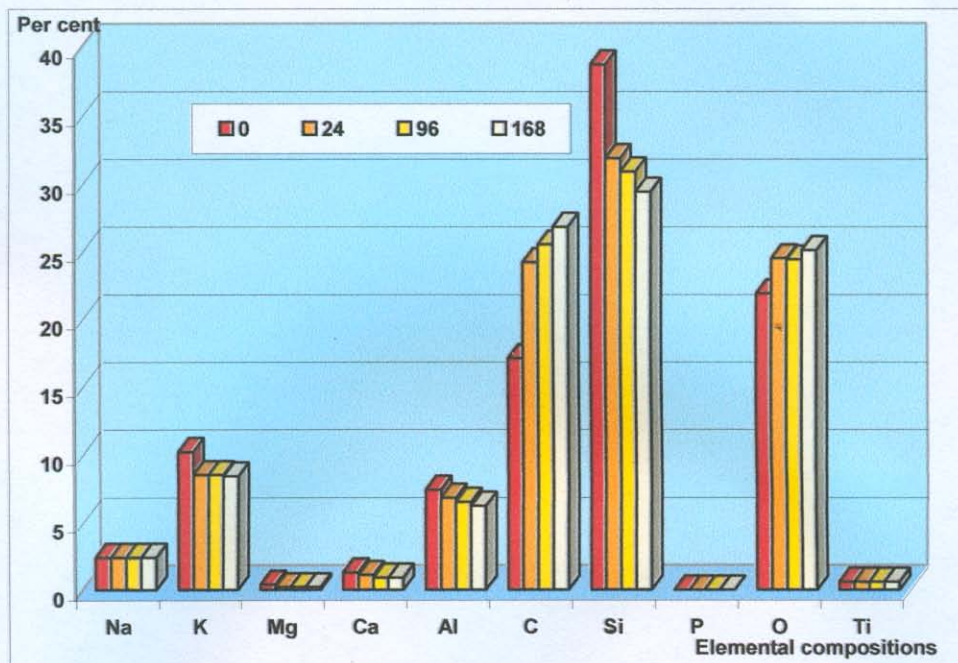
รูปที่ 30 แสดงค่าเฉลี่ยร้อยละปริมาณธาตุในเฟล์ดสปายกพอร์ซเลนเมื่อแบ่งในสารละลายกรดอะซิติก ความเข้มร้อยละ 4 ณ เวลาต่างกัน

ตารางที่ 23 ค่าเฉลี่ยร้อยละปริมาณธาตุและส่วนเบี่ยงเบนมาตรฐานในอะลูมิเนียมพอร์ชเลนเมื่อเทียบในสารทดสอบแต่ละชนิด ณ เวลาต่างกัน

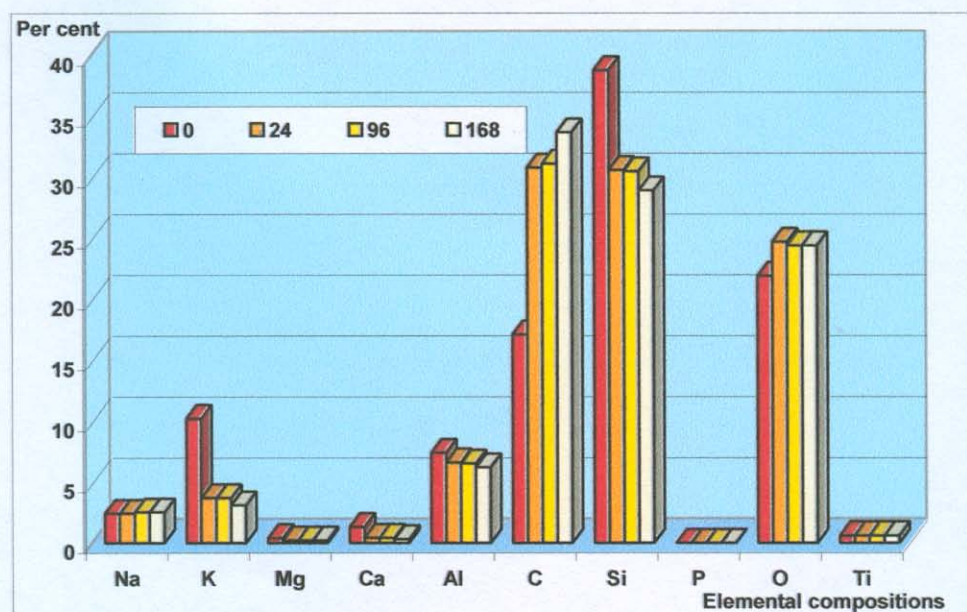
Storage media	Hours	Mean elements (per cent) (SD) at different times (hours)									
		I		II		III		IV		V	
		Na	K	Mg	Ca	Al	C	Si	P	O	Ti
Control	0	2.4 (0.1)	10.2 (1.3)	0.4 (0.1)	1.3 (0.2)	7.4 (0.2)	17.1 (1.9)	38.8 (1.8)	0 (0.5)	21.9 (0.5)	0.6 (0.1)
	1	2.4 (0.2)	8.5 (0.1)	0.2 (0.1)	1.1 (0.1)	6.8 (0.4)	24.2 (1.2)	31.8 (1.7)	0 (0.9)	24.4 (0.9)	0.6 (0.1)
	4	2.4 (0.3)	8.5 (1.3)	0.2 (0.1)	0.9 (0.1)	6.4 (0.3)	25.5 (3.1)	30.9 (2.7)	0 (1.1)	24.4 (1.1)	0.6 (0.1)
	7	2.4 (0.1)	8.4 <sup>a</sup> (0.5)	0.2 <sup>b</sup> (0.1)	0.9 <sup>c</sup> (0.1)	6.2 <sup>d</sup> (0.4)	26.8 (1.5)	29.4 <sup>e</sup> (1.6)	0 (1.2)	25.0 (1.2)	0.6 (0.1)
Citrate buffer solution	1	2.4 (0.1)	3.7 (0.2)	0.2 (0.1)	0.4 (0.1)	6.6 (0.3)	30.8 (1.8)	30.6 (1.8)	0 (0.6)	24.7 (0.6)	0.6 (0.1)
	4	2.5 (0.1)	3.7 (0.7)	0.2 (0.)	0.4 (0.1)	6.5 (0.3)	31.1 (2.6)	30.5 (1.8)	0 (0.5)	24.4 (0.5)	0.6 (0.1)
	7	2.5 (0.1)	3.1 <sup>f</sup> (0.5)	0.2 <sup>g</sup> (0.1)	0.3 <sup>h</sup> (0.1)	6.3 <sup>i</sup> (0.3)	34.4 (2.5)	33.7 <sup>j</sup> (0.7)	0 (0.7)	24.4 (0.7)	0.6 (0.1)
	14	2.2 (0.2)	7.7 (1.7)	0.3 (0.1)	0.8 (0.3)	6.5 (0.3)	22.9 (1.8)	34.7 (0.6)	0 (2.7)	24.4 (2.7)	0.6 (0.1)
Mango juice	1	2.2 (0.2)	7.7 (0.8)	0.3 (0.1)	0.8 (0.1)	6.5 (0.3)	24.5 (3.2)	32.5 (1.4)	0 (3.7)	25.6 (3.7)	0.6 (0.1)
	4	2.1 (0.2)	7.5 (0.8)	0.2 (0.1)	0.8 (0.1)	6.3 (0.3)	25.3 (2.1)	30.7 <sup>p</sup> (1.7)	0 (2.7)	26.8 (2.7)	0.6 (0.1)
	7	2.1 <sup>k</sup> (0.1)	7.3 <sup>l</sup> (0.8)	0.2 <sup>m</sup> (0.1)	0.7 <sup>n</sup> (0.1)	6.3 <sup>o</sup> (0.3)	25.3 (2.1)	30.7 <sup>p</sup> (1.7)	0 (2.7)	26.8 (2.7)	0.6 (0.1)
	14	2.2 (0.4)	8.4 (1.1)	0.2 (0.1)	0.8 (0.1)	6.5 (0.3)	26.6 (1.2)	30.1 (0.9)	0 (1.1)	24.5 (1.1)	0.6 (0.1)
Pineapple juice	1	2.2 (0.2)	7.9 (1.3)	0.2 (0.1)	0.8 (0.1)	6.2 (0.3)	28.5 (0.5)	28.4 (1.5)	0 (0.7)	25.3 (0.7)	0.6 (0.1)
	4	2.1 (0.2)	7.9 (1.1)	0.2 (0.1)	0.8 (0.1)	6.2 <sup>u</sup> (0.8)	29.4 (1.5)	27.2 <sup>v</sup> (1.2)	0 (1.6)	26.8 (1.6)	0.6 (0.1)
	7	2.1 <sup>g</sup> (0.2)	6.8 <sup>f</sup> (1.1)	0.2 <sup>h</sup> (0.1)	0.8 <sup>i</sup> (0.1)	6.2 <sup>u</sup> (0.8)	29.4 (1.5)	27.2 <sup>v</sup> (1.2)	0 (1.6)	26.8 (1.6)	0.6 (0.1)
	14	1.9 (0.2)	2.4 (0.3)	0.2 (0.1)	0.9 (0.1)	5.9 (0.6)	30.3 (1.8)	30.5 (1.2)	0 (1.5)	27.4 (1.5)	0.5 (0.1)
4% acetic acid	1	1.9 (0.1)	1.7 (0.4)	0.2 (0.1)	0.8 (0.1)	5.6 (0.6)	31.7 (0.9)	29.9 (1.2)	0 (0.6)	27.8 (0.6)	0.5 (0.1)
	4	1.9 (0.1)	1.7 (0.4)	0.2 (0.1)	0.8 (0.1)	5.6 (0.6)	31.7 (0.9)	29.9 (1.2)	0 (0.6)	27.8 (0.6)	0.5 (0.1)
	7	1.9 <sup>w</sup> (0.1)	1.3 <sup>x</sup> (0.6)	0.2 <sup>y</sup> (0.1)	0.8 <sup>z</sup> (0.1)	5.1 <sup>**</sup> (0.6)	33.7 (1.1)	24.9 <sup>ab</sup> (3.9)	0 (2.9)	31.7 (2.9)	0.5 <sup>ac</sup> (0.1)

The elements are ordered according to the division of the periodic system (IA, IIA, etc.)

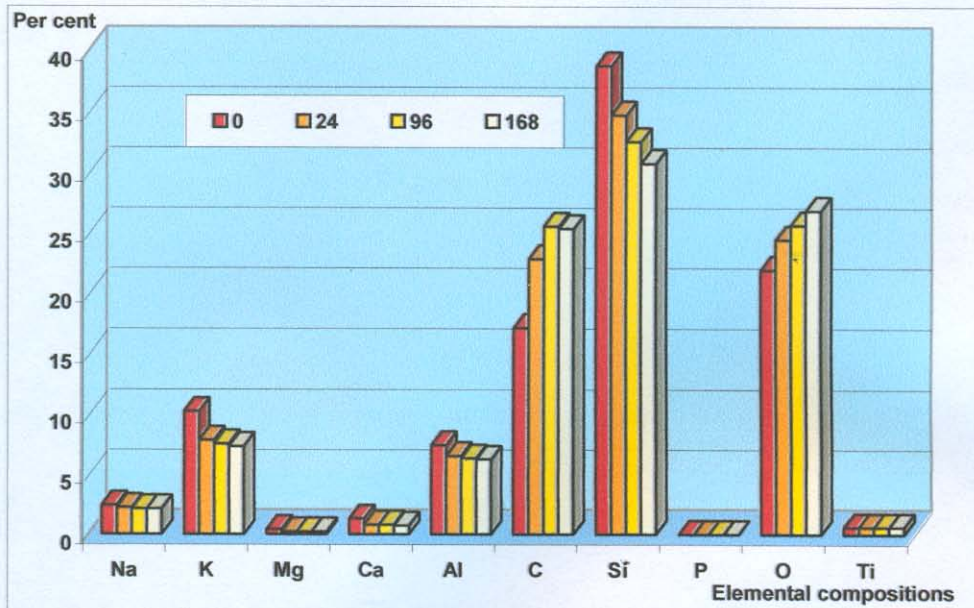
\*<sup>ac</sup> The groups with superscript letters in each column were statistically significant difference at p < .05



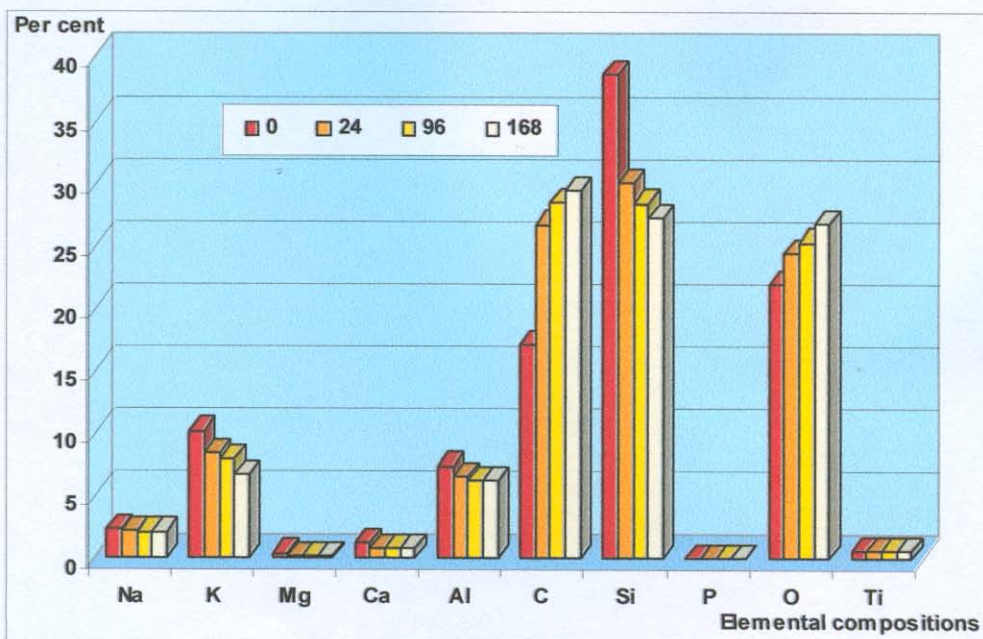
รูปที่ 31 แสดงค่าเฉลี่ยร้อยละปริมาณธาตุในอะลูมินัสพอร์ซเลนเมื่อแข็งในน้ำกัดสั้น (กลุ่มควบคุม) ณ เวลาต่างกัน



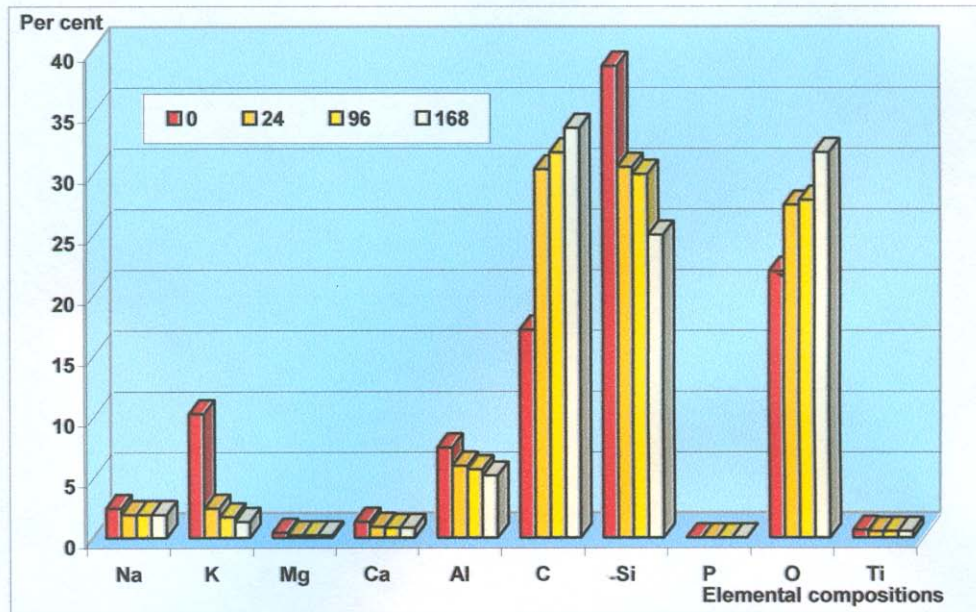
รูปที่ 32 แสดงค่าเฉลี่ยร้อยละปริมาณธาตุในอะลูมินัสพอร์ซเลนเมื่อแข็งในสารละลายซิเทรตบัฟเฟอร์ ณ เวลาต่างกัน



รูปที่ 33 แสดงค่าเฉลี่ยร้อยละปริมาณธาตุในอะลูมิโนสปอร์ซเลนเมื่อแข็งในน้ำมันม่วง ณ เวลาต่างกัน



รูปที่ 34 แสดงค่าเฉลี่ยร้อยละปริมาณธาตุในเฟล์ดสปาร์กอฟอร์ซเลนเมื่อแข็งในน้ำสบประด ณ เวลาต่างกัน



รูปที่ 35 แสดงค่าเฉลี่ยร้อยละปริมาณธาตุในอะลูมิնัลฟอร์ซเลนเมื่อแข็งในสารละลายกรดอะซิติกความเข้มร้อยละ 4 ณ เวลาต่างกัน

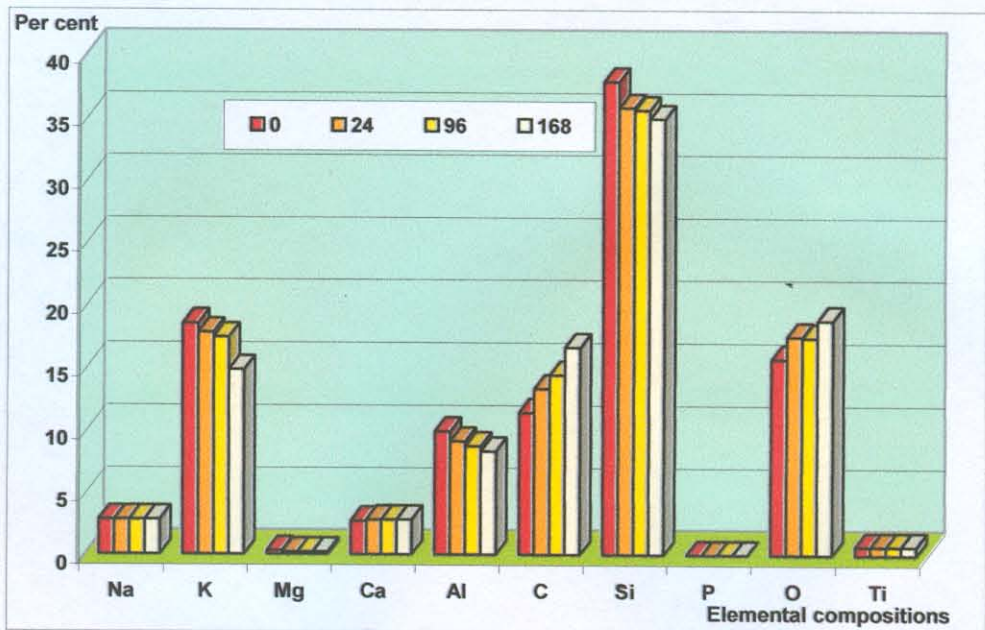
ตารางที่ 24 และรูปที่ 36-40 แสดงค่าเฉลี่ยร้อยละปริมาณชาตุและส่วนเบี่ยงเบนมาตรฐานในพอร์ชเลนที่มีสูใช้ตัวบ่งชี้ปริมาณสูงเมื่อเทียบในสารทดสอบแต่ละชนิด ณ เวลาต่างกันพบว่า ร้อยละของชาตุที่ลดลงในพอร์ชเลนที่มีสูใช้ตัวบ่งชี้ปริมาณสูงมีลักษณะใกล้เคียงกับเฟล์ดสปาร์กพอร์ชเลนและอะลูминัสมพอร์ชเลน คือพบร้อยละชาตุลดลงแตกต่างกันตามสารทดสอบที่ใช้ เช่นเดียวกัน เมื่อเวลาเพิ่มขึ้นซึ่งตัวอย่างพอร์ชเลนสูญเสียชาตุเพิ่มขึ้น สารละลายกรดอะซิติกความเข้มร้อยละ 4 พบร้อยละชาตุลดลงตามเวลาที่เพิ่มขึ้นมากที่สุด (7 ชาตุ) อย่างมีนัยสำคัญทางสถิติ ( $p < .05$ ) โดยการบอนและออกซิเจนพบร้อยละเพิ่มขึ้นแสดงว่าไม่มีการเปลี่ยนแปลง น้ำสับปะรด และน้ำมะม่วงพบร้อยละชาตุลดลงตามเวลาที่เพิ่มขึ้นรองลงมา (6 ชาตุ) อย่างมีนัยสำคัญทางสถิติ ( $p < .05$ ) โดยการบอนและออกซิเจนพบร้อยละเพิ่มขึ้น และไทเกเนียมไม่พบรการเปลี่ยนแปลง สารละลายซิเทรตบีฟเฟอร์พบร้อยละชาตุลดลง 6 ชาตุอย่างมีนัยสำคัญทางสถิติ ( $p < .05$ ) โดยการบอนและออกซิเจนพบร้อยละเพิ่มขึ้น โซเดียมไม่พบรการเปลี่ยนแปลง และน้ำகால்ஸ் (กลุ่มควบคุม) พบร้อยละชาตุลดลงน้อยที่สุด (4 ชาตุได้แก่ ไปแท็ลเชียม แมกนีเซียม อะลูมิเนียม และชิลิกอน) โดยร้อยละชาตุลดลงตามเวลาที่ตรวจอย่างมีนัยสำคัญทางสถิติ ( $p < .05$ ) เช่นกัน

ตารางที่ 24 ค่าเฉลี่ยร้อยละปริมาณธาตุและส่วนเบี่ยงเบนมาตรฐานในพอร์ชเลนที่มีสูตรปริมาณสูงเมื่อเก็บในสารทดลองแต่ละชนิด ณ เวลาต่างกัน

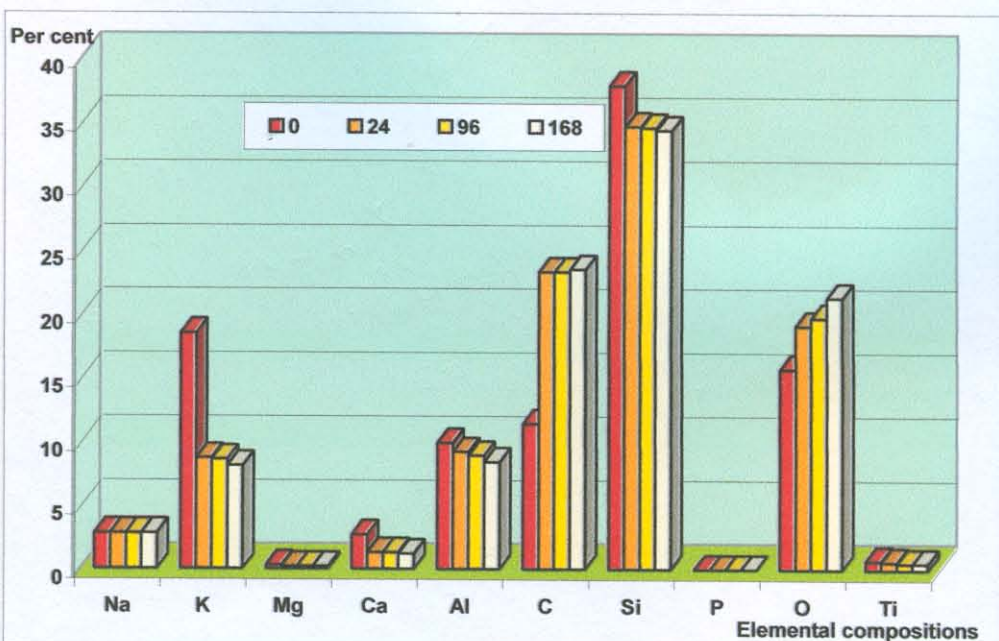
Storage media	Day	Mean elements (per cent) (SD) at different times (days)									
		I		II		III		IV		V	
		Na	K	Mg	Ca	Al	C	Si	P	O	Ti
	0	2.8 (0.1)	18.5 (0.9)	0.3 (0.1)	2.8 (0.2)	9.9 (0.2)	11.4 (1.4)	37.9 (0.8)	0 -	15.8 (0.7)	0.7 (0.2)
Distilled	1	2.8 (0.1)	17.8 (0.7)	0.2 (0.1)	2.8 (0.1)	9.1 (0.5)	13.3 (1.5)	35.8 (0.5)	0 -	17.5 (1.3)	0.7 (0.1)
	4	2.8 (0.2)	17.4 (0.9)	0.2 (0.1)	2.8 (0.4)	8.7 (1.1)	14.4 (1.4)	35.6 (0.7)	0 -	17.4 (1.5)	0.7 (0.1)
	7	2.8 (0.1)	14.8 <sup>a</sup> (1.4)	0.2 <sup>b</sup> (0.1)	2.8 (0.1)	8.3 <sup>c</sup> (0.7)	16.6 (1.7)	34.9 <sup>d</sup> (1.5)	0 -	18.8 (1.5)	0.7 (0.1)
Citrate	1	2.8 (0.1)	8.7 (0.5)	0.2 (0.1)	1.3 (0.1)	9.2 (0.4)	23.3 (1.2)	34.7 (0.6)	0 -	19.1 (0.5)	0.6 (0.1)
	4	2.8 (0.1)	8.6 (0.3)	0.2 (0.1)	1.3 (0.1)	8.9 (0.5)	23.3 (1.9)	34.6 <u>11.5</u> (0.9)	0 -	19.7 (0.9)	0.5 (0.1)
	7	2.8 (0.1)	8.1 <sup>e</sup> (0.5)	0.2 <sup>f</sup> (0.1)	1.2 <sup>g</sup> (0.1)	8.4 <sup>h</sup> (0.5)	23.5 (1.3)	34.4 <sup>i</sup> (0.9)	0 -	21.3 (1.9)	0.5 <sup>j</sup> (0.1)
Mango	1	2.5 (0.1)	17.1 (1.1)	0.2 (0.1)	2.5 (0.5)	9.2 (0.5)	14.6 (1.9)	36.8 (1.1)	0 -	16.4 (0.8)	0.7 (0.1)
	4	2.2 (0.3)	14.7 (0.7)	0.2 (0.1)	1.9 (0.1)	8.8 (0.2)	20.5 (1.2)	33.7 (0.7)	0 -	17.3 (0.6)	0.7 (0.1)
	7	2.2 <sup>k</sup> (0.3)	12.1 <sup>l</sup> (1.6)	0.2 <sup>m</sup> (0.1)	1.8 <sup>n</sup> (0.2)	7.9 <sup>o</sup> (0.4)	27.1 (3.3)	30.8 <sup>p</sup> (2.7)	0 -	17.6 (1.4)	0.7 (0.1)
Pineapple	1	2.6 (0.2)	16.1 (1.3)	0.2 (0.1)	2.3 (0.5)	8.8 (0.6)	16.3 (2.7)	35.3 (1.4)	0 -	17.7 (0.9)	0.7 (0.1)
	4	2.2 (0.3)	12.5 (1.1)	0.2 (0.1)	1.8 (0.3)	8.6 (0.2)	21.7 (1.7)	31.9 (0.9)	0 -	20.3 (1.7)	0.7 (0.1)
	7	2.1 <sup>q</sup> (0.4)	10.5 <sup>r</sup> (2.8)	0.2 <sup>s</sup> (0.1)	1.3 <sup>t</sup> (0.4)	6.6 <sup>u</sup> (1.5)	25.4 (3.8)	24.3 <sup>v</sup> (2.5)	0 -	28.9 (5.3)	0.7 (0.1)
Acetic	1	2.5 (0.2)	5.1 (0.4)	0.2 (0.1)	0.8 (0.1)	7.7 (0.1)	28.4 (1.2)	30.4 (1.2)	0 -	24.3 (0.7)	0.5 (0.1)
	4	1.7 (0.4)	3.4 (0.4)	0.2 (0.1)	0.4 (0.1)	7.5 (0.2)	32.3 (0.8)	29.9 (1.5)	0 -	24.2 (1.9)	0.4 (0.1)
	7	1.6 <sup>w</sup> (0.1)	3.1 <sup>x</sup> (0.7)	0.2 <sup>y</sup> (0.1)	0.3 <sup>z</sup> (0.2)	5.7 <sup>aa</sup> (0.5)	32.4 (1.5)	29.4 <sup>ab</sup> (1.3)	0 -	26.9 (0.8)	0.4 <sup>ac</sup> (0.1)

The elements are ordered according to the division of the periodic system (IA, IIA, etc.)

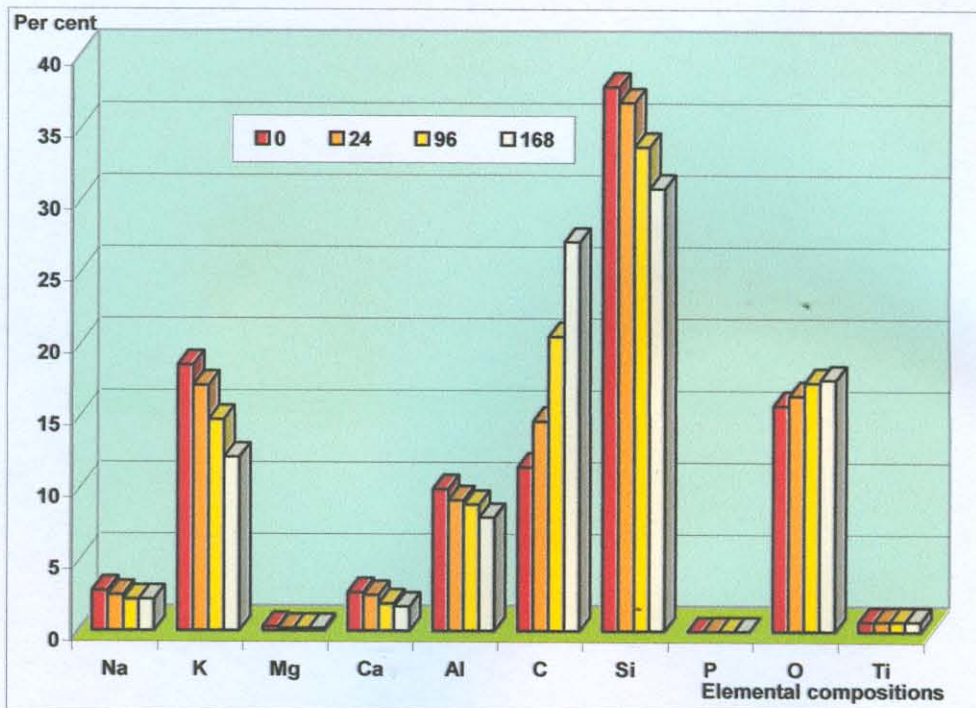
\* \*\* The groups with superscript letters in each column were statistically significant difference at  $p < .05$



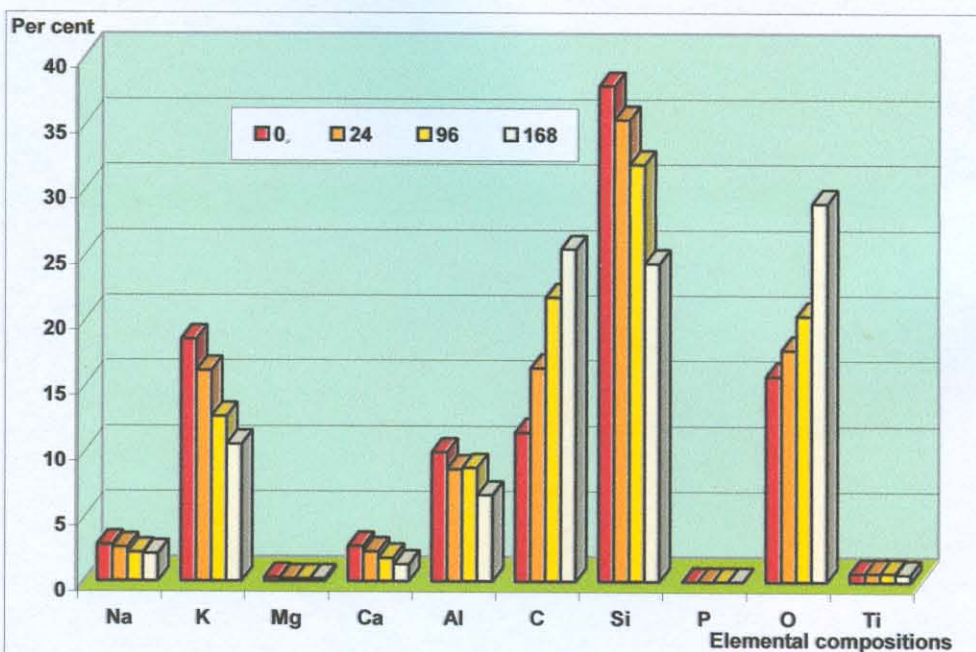
รูปที่ 36 แสดงค่าเฉลี่ยร้อยละปริมาณธาตุในพอร์ชเลนที่มีสูชาเซ็ตปริมาณสูงเมื่อแข็งในน้ำกลั่น (กลุ่มควบคุม) ณ เวลาต่างกัน



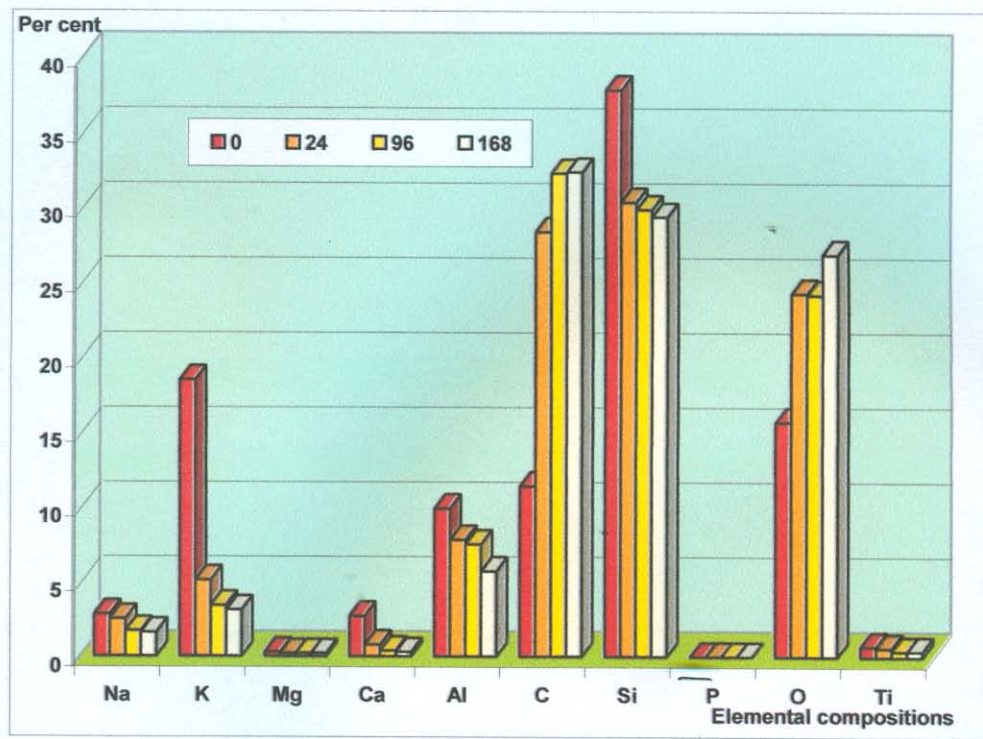
รูปที่ 37 แสดงค่าเฉลี่ยร้อยละปริมาณธาตุในพอร์ชเลนที่มีสูชาเซ็ตปริมาณสูงเมื่อแข็งในสารละลายซิเทรตบัฟเฟอร์ ณ เวลาต่างกัน



รูปที่ 38 แสดงค่าเฉลี่ยร้อยละปริมาณธาตุในพอร์ซเลนที่มีลูไซด์ปริมาณสูงเมื่อเทียบในน้ำมันม่วง ณ เวลาต่างกัน



รูปที่ 39 แสดงค่าเฉลี่ยร้อยละปริมาณธาตุในพอร์ซเลนที่มีลูไซด์ปริมาณสูงเมื่อเทียบในน้ำสับปะรด ณ เวลาต่างกัน



รูปที่ 40 แสดงค่าเฉลี่ยร้อยละปริมาณธาตุในพอร์ซเลนที่มีลูไซต์ปริมาณสูงเมื่อเทียบในสารละลายน้ำกรดอะซิติก ความเข้มร้อยละ 4 ณ เวลาต่างกัน

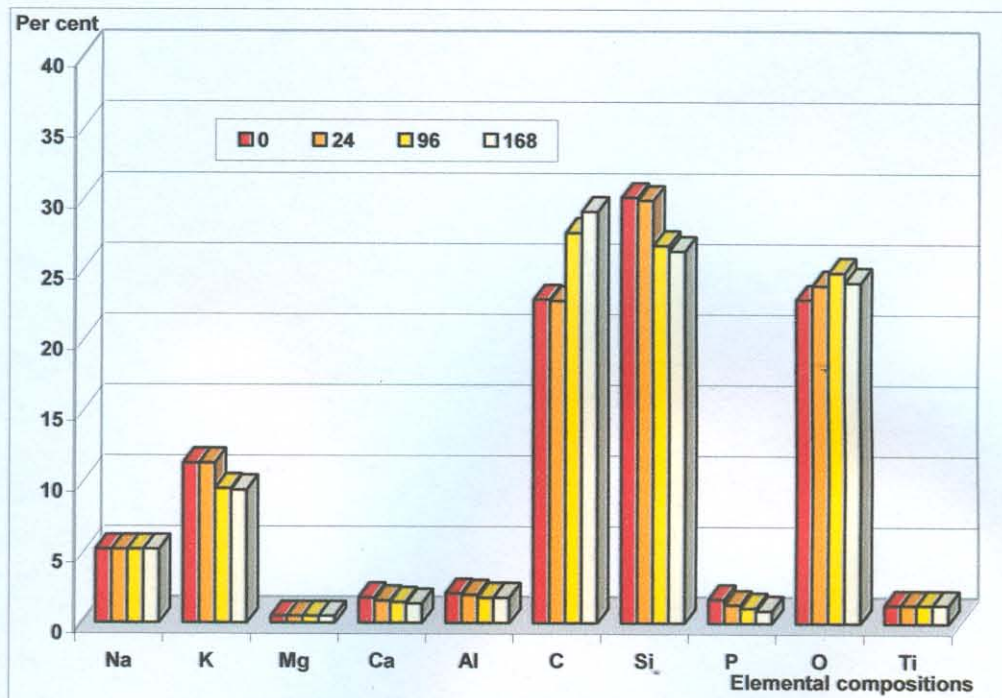
ตารางที่ 25 และรูปที่ 41-45 แสดงค่าเฉลี่ยร้อยละปริมาณธาตุและส่วนเบี่ยงเบนมาตรฐานในฟลู-ออกแอพพาไท์พอร์ชเลนเมื่อแข็งในสารทดสอบแต่ละชนิด ณ เวลาต่างกันพบว่า ร้อยละของธาตุที่ลดลงในฟลูออกแอพพาไท์พอร์ชเลนมีลักษณะใกล้เคียงกับพอร์ชเลนทั้ง 3 ชนิดกล่าวคือพบร้อยละธาตุลดลงแตกต่างกันตามสารทดสอบที่ใช้แข็งและเวลา เมื่อเวลาเพิ่มขึ้นด้วยอย่างพอร์ชเลนสูญเสียธาตุเพิ่มขึ้น สารละลายกรดอะซิติกความเข้มร้อยละ 4 พบร่วงในญี่ร้อยละธาตุลดลงตามเวลาที่เพิ่มขึ้นมากที่สุด (8 ชาตุ) อย่างมีนัยสำคัญทางสถิติ ( $p < .05$ ) โดยcarbонและออกซิเจนพบร้อยละเพิ่มขึ้นแสดงว่าไม่มีการเปลี่ยนแปลง น้ำสับปะรด และน้ำมาม่วงพบร้อยละธาตุลดลงตามจำนวนวันที่เพิ่มขึ้นรองลงมา (7 ชาตุ) อย่างมีนัยสำคัญทางสถิติ ( $p < .05$ ) โดยcarbонและออกซิเจนพบร้อยละเพิ่มขึ้น และไทเทเนียมไม่พบการเปลี่ยนแปลง สารละลายซิเทรตบัฟเฟอร์พบร้อยละธาตุลดลง 6 ชาตุอย่างมีนัยสำคัญทางสถิติ ( $p < .05$ ) โดยcarbонและออกซิเจนพบร้อยละเพิ่มขึ้น โซเดียมไม่พบการเปลี่ยนแปลง และน้ำกลั่น (กลุ่มควบคุม) พบร้อยละธาตุลดลงน้อยที่สุด (6 ชาตุได้แก่ โนแพทส์เรียม แมกนีเซียม แคลเซียม อะลูมิเนียม ชิลิกอน และฟอสฟอรัส) โดยร้อยละธาตุลดลงตามเวลาที่ตรวจอย่างมีนัยสำคัญทางสถิติ ( $p < .05$ ) เช่นกัน

ตารางที่ 25 ค่าเฉลี่ยร้อยละปริมาณธาตุและส่วนเบี่ยงเบนมาตรฐานในฟลูออแอกพาไกต์พอร์ชเลนเมื่อแขวนในสารทดสอบแต่ละชนิด ณ เวลาต่างกัน

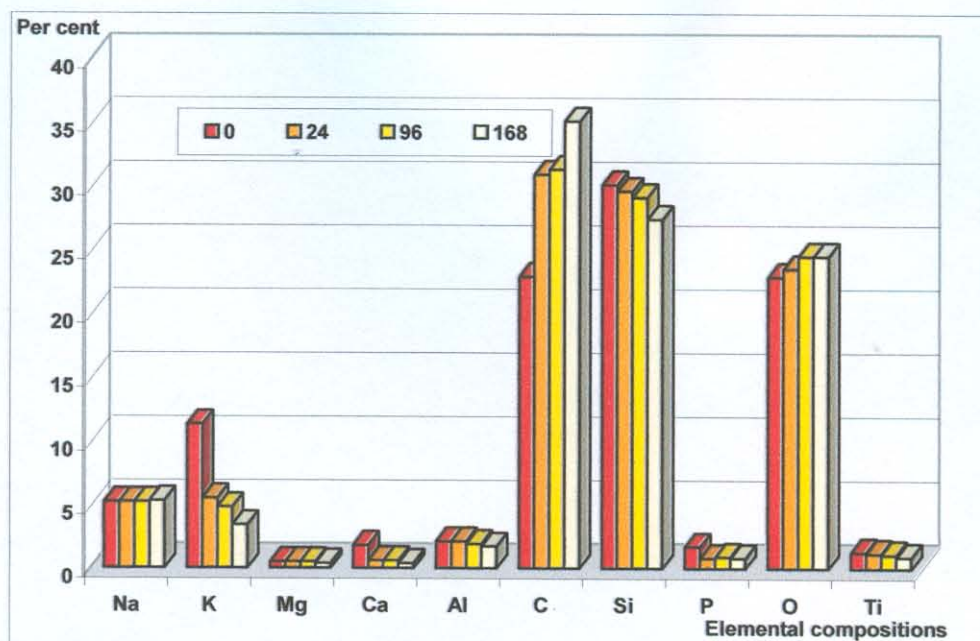
Storage media	Day	Mean elements (per cent) (SD) at different times (days)									
		I		II		III		IV		V	
		Na	K	Mg	Ca	Al	C	Si	P	O	Ti
	0	5.2 (0.3)	11.3 (2.8)	0.5 (0.1)	1.8 (0.5)	2.1 (0.2)	22.9 (4.1)	30.1 (2.9)	1.7 (0.2)	22.9 (2.3)	1.3 (0.4)
Control	1	5.2 (0.5)	11.3 (0.8)	0.5 (0.1)	1.6 (0.2)	2.1 (0.3)	22.8 (1.9)	29.9 (1.8)	1.3 (0.1)	23.9 (1.1)	1.3 (0.4)
	4	5.2 (0.4)	9.5 (2.3)	0.5 (0.1)	1.5 (0.4)	1.8 (0.2)	27.7 (3.7)	26.7 (2.6)	1.1 (0.1)	24.8 (2.2)	1.3 (0.3)
	7	5.2 (0.3)	9.4 <sup>a</sup> (0.7)	0.5 <sup>b</sup> (0.1)	1.4 <sup>c</sup> (0.2)	1.8 <sup>d</sup> (0.1)	29.1 (1.9)	26.3 <sup>e</sup> (0.9)	0.9 <sup>f</sup> (0.1)	24.1 (1.6)	1.3 (0.3)
Citrate buffer solution	1	5.2 (0.2)	5.5 (1.1)	0.5 (0.1)	0.6 (0.2)	2.1 (0.1)	30.9 (2.9)	29.6 (1.9)	0.8 (0.1)	23.5 (0.7)	1.2 (0.3)
	4	5.3 (0.2)	4.8 (0.9)	0.5 (0.1)	0.6 (0.1)	1.9 (0.1)	31.3 (1.9)	29.1 (0.9)	0.9 (0.1)	24.4 (1.2)	1.1 (0.3)
	7	5.3 (0.2)	3.4 <sup>g</sup> (1.5)	0.4 <sup>h</sup> (0.1)	0.4 <sup>i</sup> (0.2)	1.7 <sup>j</sup> (0.2)	35.2 (3.2)	27.4 <sup>k</sup> (1.8)	0.8 <sup>l</sup> (0.1)	24.5 (1.3)	0.9 <sup>m</sup> (0.1)
Mango juice	1	4.3 (0.1)	10.9 (0.4)	0.5 (0.1)	1.6 (0.2)	2.1 (0.1)	25.1 (1.3)	29.6 (0.9)	1.1 (0.1)	23.6 (1.5)	1.3 (0.3)
	4	4.3 (0.2)	10.4 (1.4) <sup>*</sup>	0.5 (0.1)	1.5 (0.2)	1.9 (0.1)	25.7 (2.4)	29.3 (1.2)	1.1 (0.1)	24.1 (1.4)	1.3 (0.2)
	7	3.6 <sup>n</sup> (0.2)	8.1 <sup>o</sup> (1.3)	0.4 <sup>p</sup> (0.1)	1.2 <sup>q</sup> (0.2)	1.6 <sup>r</sup> (0.1)	33.8 (3.1)	25.6 <sup>s</sup> (1.9)	0.9 <sup>t</sup> (0.2)	23.4 (1.1)	1.3 (0.4)
Pineapple juice	1	4.6 (0.4)	9.6 (0.3)	0.5 (0.1)	1.6 (0.4)	2.1 (0.1)	26.3 (0.1)	29.2 (0.6)	1.1 (0.1)	23.8 (1.3)	1.3 (0.3)
	4	4.1 (0.4)	8.1 (0.8)	0.4 (0.1)	1.2 (0.2)	1.8 (0.1)	29.5 (1.3)	28.4 (2.1)	1.1 (0.1)	24.1 (0.9)	1.3 (0.2)
	7	3.2 <sup>u</sup> (0.4)	5.4 <sup>v</sup> (0.7)	0.4 <sup>w</sup> (0.1)	1.1 <sup>x</sup> (0.3)	1.5 <sup>y</sup> (0.3)	36.1 (3.6)	25.7 <sup>z</sup> (2.5)	0.9 <sup>aa</sup> (0.2)	24.1 (1.2)	1.3 (0.3)
4% acetic acid	1	4.2 (0.2)	2.2 (0.6)	0.5 (0.1)	0.6 (0.2)	1.4 (0.1)	30.5 (0.9)	29.7 (0.8)	1.2 (0.1)	28.6 (0.9)	1.1 (0.1)
	4	3.4 (0.2)	1.1 (0.5)	0.5 (0.1)	0.4 (0.1)	1.3 (0.1)	32.6 (2.1)	29.4 (0.8)	1.1 (0.1)	29.1 (1.6)	1.1 (0.1)
	7	3.3 <sup>ab</sup> (0.2)	0.9 <sup>ac</sup> (0.2)	0.4 <sup>ad</sup> (0.1)	0.4 <sup>ae</sup> (0.1)	1.3 <sup>af</sup> (0.6)	34.4 (1.6)	25.9 <sup>ag</sup> (1.3)	0.9 <sup>ah</sup> (0.1)	31.5 (1.5)	0.9 <sup>ai</sup> (0.1)

The elements are ordered according to the division of the periodic system (IA, IIA, etc.)

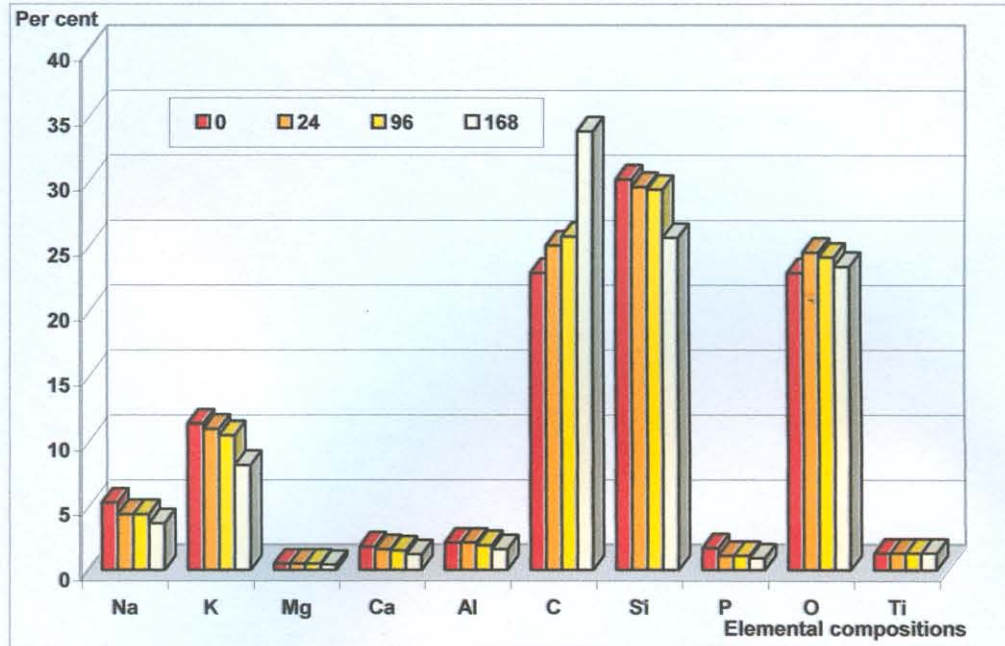
\* The groups with superscript letters in each column were statistically significant difference at  $p < .05$



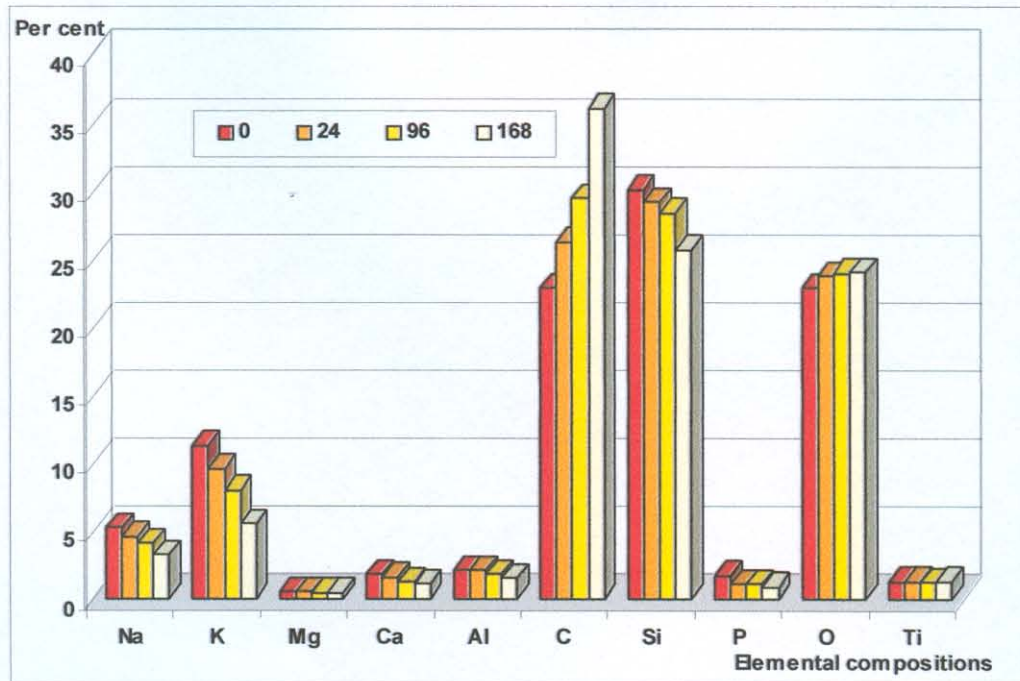
รูปที่ 41 แสดงค่าเฉลี่ยร้อยละปริมาณธาตุในฟลูออแอกพาไทต์พอร์ชленเมื่อแข็งในน้ำกลั่น (กลุ่มควบคุม) ณ เวลาต่างกัน



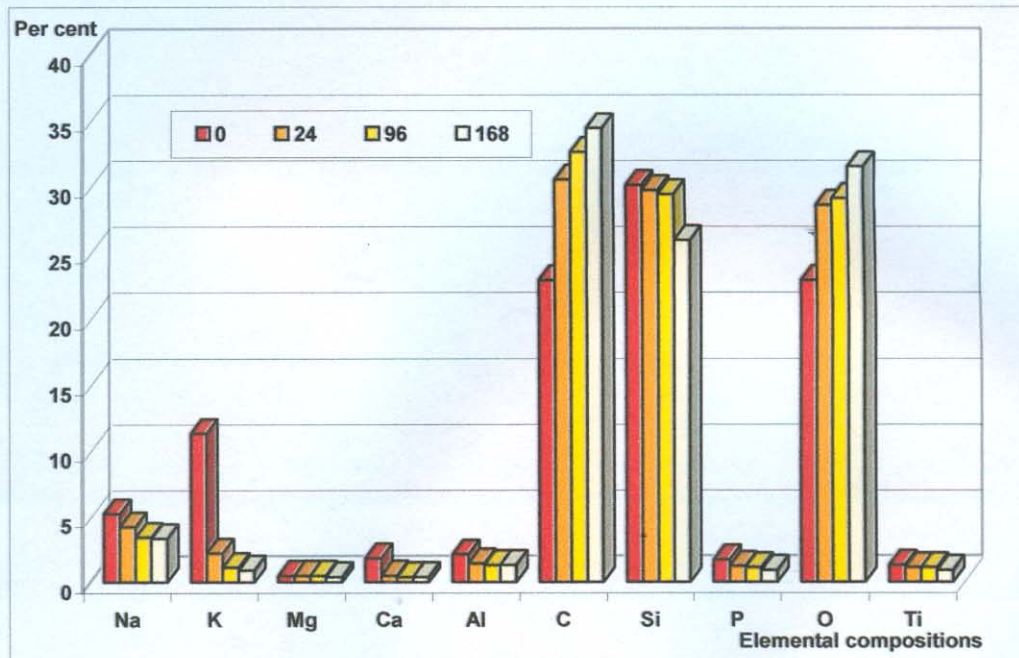
รูปที่ 42 แสดงค่าเฉลี่ยร้อยละปริมาณธาตุในฟลูออแอกพาไทต์พอร์ชленเมื่อแข็งในสารละลายซิเทรุตบัฟเฟอร์ ณ เวลาต่างกัน



รูปที่ 43 แสดงค่าเฉลี่ยร้อยละปริมาณธาตุในฟลูออแอกพาไทร์พอร์ซเลนเมื่อแข็งในน้ำมันม่วง ณ เวลาต่างกัน



รูปที่ 44 แสดงค่าเฉลี่ยร้อยละปริมาณธาตุในฟลูออแอกพาไทร์พอร์ซเลนเมื่อแข็งในน้ำสบประด ณ เวลาต่างกัน



รูปที่ 45 แสดงค่าเฉลี่ยร้อยละปริมาณธาตุในฟลูออแอกพาไทด์พอร์ชленเมื่อแข็งในสารละลายกรดอะซิติก ความเข้มร้อยละ 4 ณ เวลาต่างกัน

ตารางที่ 26 แสดงการสูญเสียธาตุจากชิ้นตัวอย่างพอร์ชленแต่ละชนิดเมื่อแข็งในสารทดสอบต่างชนิดกัน ซึ่งเมื่อพิจารณาธาตุที่สำคัญต่อการกร่อนหรือเสื่อมของพอร์ชленได้แก่ ซิลิกอน และธาตุหมู่โลหะที่สำคัญได้แก่ โซเดียม และโปแทสเซียม พบร่วม ในน้ำกลั่น (กลุ่มควบคุม) อะลูมิնัสนพอร์ชленสูญเสียธาตุหนักโลหะมากที่สุด ในสารละลายซิเทրตบัฟเฟอร์ พบรักษณะคล้ายคลึงกัน กล่าวคืออะลูมิնัสนพอร์ชเล่นสูญเสียธาตุหนักโลหะมากที่สุด ส่วนในน้ำมะม่วง และน้ำสับปะรด อะลูมิնัสนพอร์ชเล่นสูญเสียโซเดียมมากที่สุด ในขณะที่ในสารละลายกรดอะซิติก อะลูมิնัสนพอร์ชเล่นสูญเสียโซเดียมมากที่สุด ฟลูออแอกพาไทด์พอร์ชเล่นสูญเสียแคลเซียม และโปแทสเซียมมากที่สุด ส่วนพอร์ชเลนที่มีลูไซด์ปริมาณสูงสูญเสียแมกนีเซียมมากที่สุด ส่วนธาตุซิลิกอนพบว่าในสารทดสอบทุกชนิด ฟลูออแอกพาไทด์พอร์ชเล่นสูญเสียมากที่สุด

ตารางที่ 26 ลำดับการละลายของธาตุของพอร์ซเลนทั้ง 4 ชนิดในแต่ละสารทดสอบ

Elemental compositions		Storage media											
		Control			Citrate buffer solution				Mango juice				
IA	Na	AP	HP	FP	FAP	AP	HP	FP	FAP	AP	HP	FP	FAP
	K	AP	FP	FAP	HP	AP	FAP	FP	HP	FP	AP	FAP	HP
IIA	Mg	FP	HP	AP	FAP	HP	FP	AP	FAP	HP	FP	AP	FAP
	Ca	AP	FAP	FP	HP	AP	FAP	FP	HP	AP	FP	FAP	HP
III A	Al	FAP	AP	FP	HP	FAP	AP	FP	HP	FAP	AP	FP	HP
IV	C	HP	FP	AP	FAP	HP	FP	AP	FAP	HP	AP	FAP	FP
	Si	FAP	FP	AP	HP	FAP	FP	AP	HP	FAP	FP	AP	HP
V	P	FAP	No element			FAP	No element			FAP	No element		
VI	O	HP	FP	FAP	AP	HP	FP	FAP	AP	HP	FAP	FP	AP
IVB	Ti	AP	HP	FAP	FP	HP	AP	FAP	FP	AP	HP	FAP	FP
Level of elements dissolution		High	←		Low	High	←		Low	High	←		Low

FP = Feldspathic porcelain; AP = Aluminous porcelain; HP = High leucite porcelain; FAP = Fluorapatite porcelain

The elements are ordered according to the division of the periodic system (IA, IIA, etc.)

ตารางที่ 26 (ต่อ) ลำดับการละลายของธาตุของพอร์ซเลนหั้ง 4 ชนิดในแต่ละสารทดสอบ

Elemental compositions			Storage media								
			Pineapple juice				4% acetic acid				
IA	Na	AP	HP	FP	FAP	AP	HP	FP	FAP		
	K	FAP	AP	FP	HP	FAP	AP	FP	HP		
IIA	Mg	HP	FP	AP	FAP	HP	FP	AP	FAP		
	Ca	AP	FAP	FP	HP	FAP	AP	HP	FP		
III A	Al	FAP	AP	FP	HP	FAP	AP	FP	HP		
IV	C	HP	FP	AP	FAP	HP	AP	FP	FAP		
	Si	FAP	FP	AP	HP	FAP	FP	AP	HP		
V	P	FAP	No element			FAP	No element				
VI	O	HP	FP	FAP	AP	HP	FP	AP	FAP		
IVB	Ti	AP	HP	FAP	FP	HP	AP	FP	FAP		
Level of elements dissolution		High	←		Low	High	←		Low		

FP = Feldspathic porcelain; AP = Aluminous porcelain; HP = High leucite porcelain; FAP = Fluorapatite porcelain

The elements are ordered according to the division of the periodic system (IA, IIA, etc.)

ตารางที่ 27 แสดงการละลายของธาตุในแต่ละสารทดสอบของพอร์ซเลนหั้ง 4 ชนิดพบว่า พอร์ซเลนหั้ง 4 ชนิดสูญเสียแร่ธาตุแตกต่างกันในสารทดสอบแต่ละชนิด โดยเมื่อพิจารณาชิลิกอนและธาตุทั่วไปพบว่า เฟลเดสปาร์ทิกพอร์ซเลนสูญเสียชิลิกอนในน้ำมะม่วง สูญเสียโซเดียมในน้ำสับปะรด และสูญเสียโปแทสเซียมในสารละลายกรดอะซิติกมากที่สุด อะลูมิเนียมพอร์ซเลน และพอร์ซเลนที่มีลูไซต์ปริมาณสูง สูญเสียชิลิกอน โซเดียม และโปแทสเซียมในสารละลายกรดอะซิติกมากที่สุด ส่วนฟลูออแอกฟพาไทต์พอร์ซเลนสูญเสียชิลิกอนในน้ำกลั่นมากที่สุด และสูญเสียโซเดียมและโปแทสเซียมในสารละลายกรดอะซิติกมากที่สุด

ตารางที่ 27 ลำดับการละลายของธาตุในแต่ละสารทดสอบของพอร์ซเลนทั้ง 4 ชนิด

Elemental compositions		Porcelain									
		Feldspathic porcelain					Aluminous porcelain				
IA	Na	Pi	Ma	Aa	Ct	C	Aa	Pi	Ma	C	Ct
	K	Aa	Ct	Ma	Pi	C	Aa	Ct	Ma	Pi	C
IIA	Mg	Pi	Ma	Ct	Aa	C	Aa	Pi	Ma	C	Ct
	Ca	Ct	Aa	Ma	Pi	C	Ct	Ma	Aa	Pi	C
IIIA	Al	Aa	Ma	Pi	C	Ct	Aa	Pi	Ma	Ct	C
IV	C	C	Pi	Ct	Aa	Ma	Ma	C	Pi	Ct	Aa
	Si	Ma	Aa	Pi	Ct	C	Aa	Pi	Ct	C	Ma
V	P	No element					No element				
VI	O	Pi	Ct	C	Ma	Aa	Ct	C	Pi	Ma	Aa
IVB	Ti	Aa	Pi	Ct	Ma	C	Aa	Ma	Ct	Pi	C
Level of elements dissolution		High	←			Low	High	←			Low

C = control group; Ct = citrate buffer solution; Ma = mango juice; Pi = pineapple juice; Aa = 4% acetic acid

The elements are ordered according to the division of the periodic system (IA, IIA, etc.)

ตารางที่ 27 (ต่อ) ลำดับการละลายของธาตุในแต่ละสารทดสอบของพอร์ซเลนทั้ง 4 ชนิด

Elemental compositions		Porcelain											
		High leucite porcelain						Fluorapatite porcelain					
IA	Na	Aa	Pi	Ma	C	Ct	Aa	Pi	Ma	C	Ct		
	K	Aa	Ct	Pi	Ma	C	Aa	Ct	Pi	Ma	C		
IIA	Mg	Aa	Pi	Ma	Ct	C	Ma	Pi	Ct	Aa	C		
	Ca	Aa	Ct	Pi	Ma	C	Aa	Ct	Pi	Ma	C		
III A	Al	Aa	Pi	Ma	C	Ct	Aa	Pi	C	Ma	Ct		
IV	C	C	Ma	Pi	Ct	Aa	C	Ma	Pi	Aa	Ct		
	Si	Aa	Pi	Ma	C	Ct	C	Pi	Ma	Aa	Ct		
V	P	No element				Ct	Ma	Pi	C	Aa			
VI	O	Ma	C	Ct	Pi	Aa	Ma	Pi	Ct	C	Aa		
IVB	Ti	Aa	Ct	Ma	Pi	C	Aa	Ct	C	Pi	Ma		

Level of elements dissolution	High	←	Low	High	←	Low
-------------------------------	------	---	-----	------	---	-----

C = control group; Ct = citrate buffer solution; Ma = mango juice; Pi = pineapple juice; Aa = 4% acetic acid

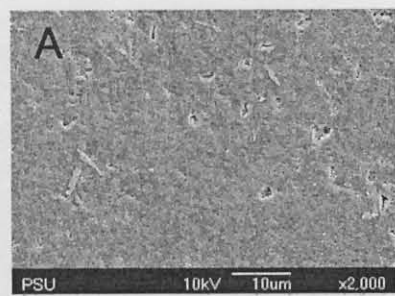
The elements are ordered according to the division of the periodic system (IA, IIA, etc.)

## การตรวจสภาพผิวด้วยกล้องจุลทรรศน์อิเล็กตรอนชนิดส่องกราด

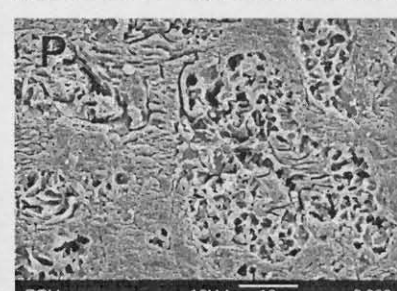
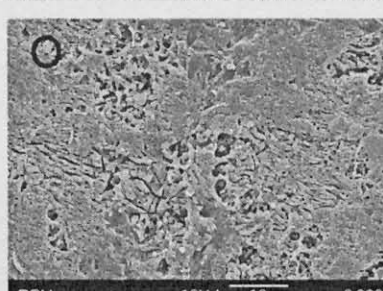
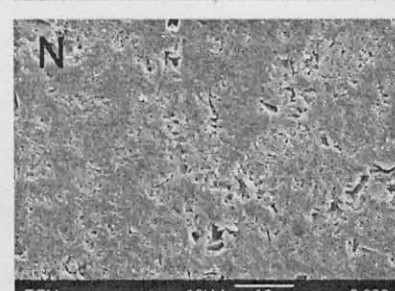
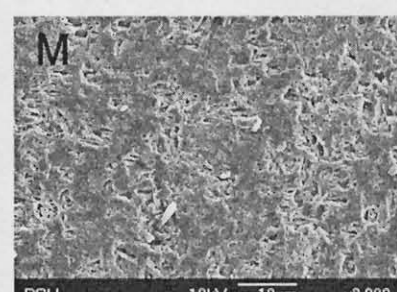
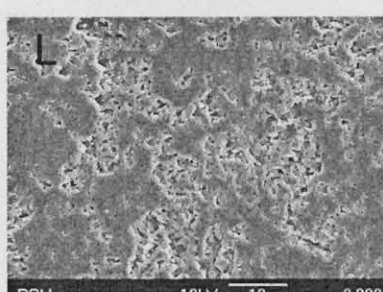
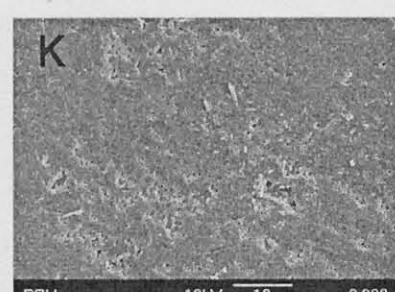
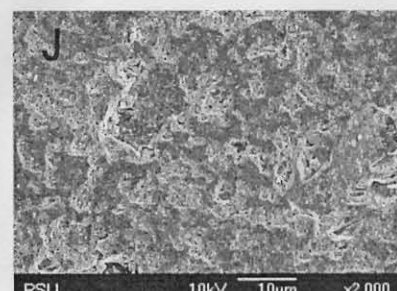
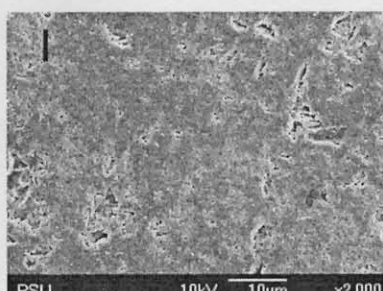
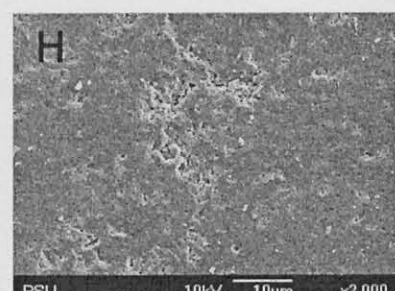
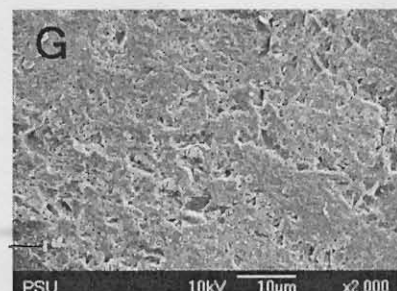
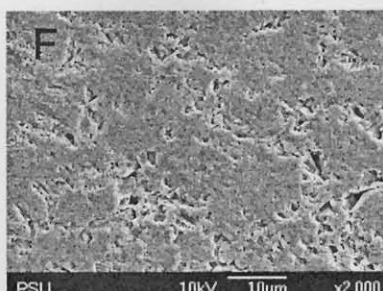
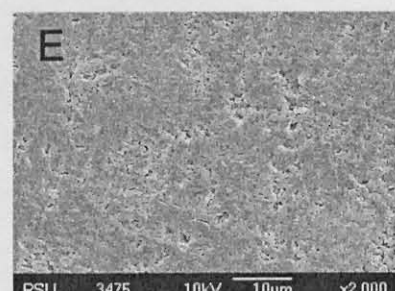
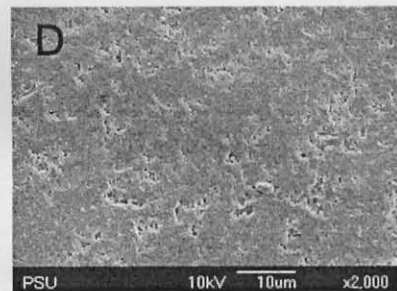
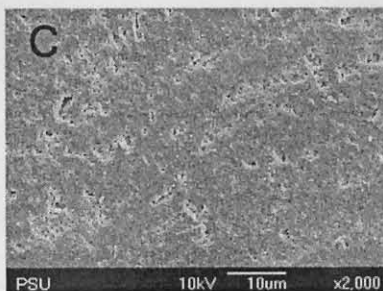
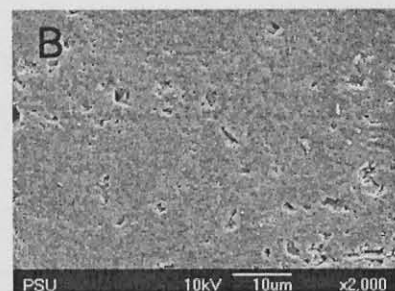
สภาพผิวชั้นตัวอย่างพอร์ซเลนทั้ง 4 ชนิดได้แก่ เฟล์ดสปาร์กพอร์ซเลน อะลูมิเนียมพอร์ซเลน พอร์ซเลนที่มีลูไซต์ปริมาณสูง และฟลูออยด์พาไทต์พอร์ซเลน ถูกตรวจด้วยกล้องจุลทรรศน์อิเล็กตรอนชนิดส่องกราด (กำลังขยาย 2000 เท่า) ทั้งก่อนและหลังจากแซสาระลายซิเทρတบ์บัฟเฟอร์ กรดอะซิติกความเข้มร้อยละ 4 และน้ำผลไม้รสเบร์รี่ไว้ได้แก่ น้ำมะม่วงและน้ำสับปะรด โดยมีน้ำกลันเป็นกลุ่มควบคุม ณ ชั่วโมงที่ 24 96 และ 168 ได้ผลดังรูปที่ 46-49

รูปที่ 46A-P แสดงสภาพผิวเฟล์ดสปาร์กพอร์ซเลนก่อนเริ่มทดลอง (รูปที่ 46A) และหลังจากแซในน้ำกลัน (รูปที่ 46B-D) สาระลายซิเทრดบ์บัฟเฟอร์ (รูปที่ 46E-G) น้ำมะม่วง (รูปที่ 46H-J) น้ำสับปะรด (รูปที่ 46K-M) และสาระลายกรดอะซิติกความเข้มร้อยละ 4 (รูปที่ 46N-P) เป็นเวลา 24 96 และ 168 ชั่วโมง ตามลำดับพบว่า ผิวเฟล์ดสปาร์กพอร์ซเลนมีการเปลี่ยนแปลงเมื่อเวลาเพิ่มขึ้นทุกสารทดสอบที่ใช้ແร์เม้แต่ในน้ำกลัน โดยพบสภาพผิวมีลักษณะเป็นหลุมขนาดเล็กทั้งลึกและตื้นกระჯัดกระจายอยู่ทั่วไป ซึ่งรูปแบบที่พบในชั้นตัวอย่างที่แซในน้ำกลัน สาระลายซิเทรดบ์บัฟเฟอร์ น้ำมะม่วง และน้ำสับปะรดมีลักษณะคล้ายคลึงกัน และแตกต่างจากชั้นตัวอย่างที่แซในสาระลายกรดอะซิติกความเข้มร้อยละ 4 ซึ่งพบลักษณะหลุมที่ค่อนข้างลึกและกว้างกว่า และพบรอยแตกขนาดเล็ก และต่อเนื่องกันมีเวลาเพิ่มขึ้น

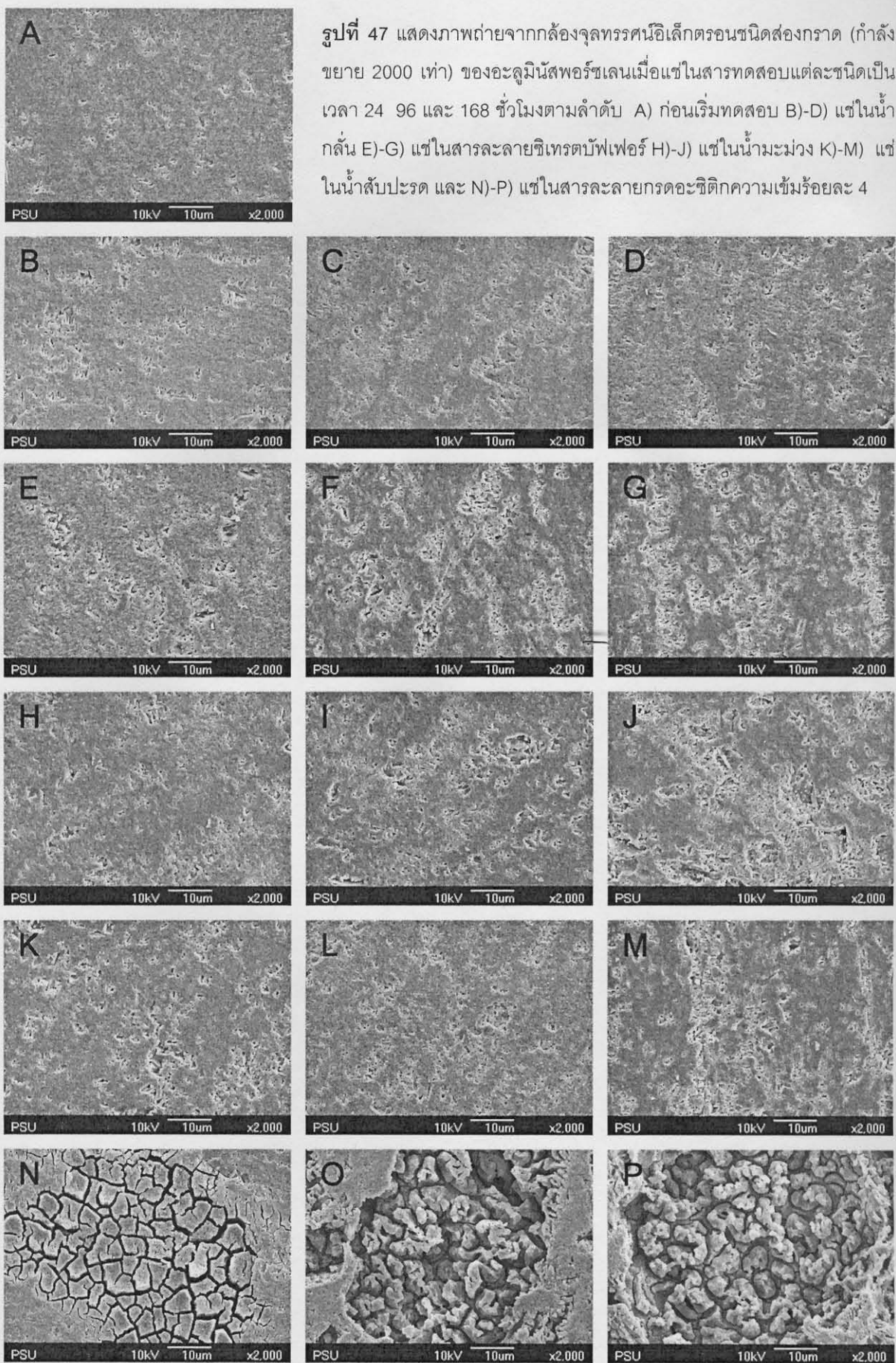
รูปที่ 47A-P แสดงสภาพผิวอะลูมิเนียมพอร์ซเลนก่อนเริ่มทดลอง (รูปที่ 47A) และหลังจากแซในน้ำกลัน (รูปที่ 47B-D) สาระลายซิเทรดบ์บัฟเฟอร์ (รูปที่ 47E-G) น้ำมะม่วง (รูปที่ 47H-J) น้ำสับปะรด (รูปที่ 47K-M) และสาระลายกรดอะซิติกความเข้มร้อยละ 4 (รูปที่ 47N-P) เป็นเวลา 24 96 และ 168 ชั่วโมง ตามลำดับพบว่า สภาพผิวชั้นตัวอย่างอะลูมิเนียมพอร์ซเลนที่แซในน้ำกลัน สาระลายซิเทรดบ์บัฟเฟอร์ น้ำมะม่วง และน้ำสับปะรดมีลักษณะคล้ายคลึงกับสภาพผิวชั้นตัวอย่างเฟล์ดสปาร์กพอร์ซเลน นั่นคือพบสภาพผิวมีลักษณะเป็นหลุมขนาดเล็กทั้งลึกและตื้นกระჯัดกระจายอยู่ทั่วไป และจำนวนหลุมเพิ่มมากขึ้น เมื่อเวลาผ่านไป และแตกต่างจากชั้นตัวอย่างที่แซในสาระลายกรดอะซิติกความเข้มร้อยละ 4 ซึ่งพบลักษณะหลุมที่ค่อนข้างลึกและกว้าง และกว้างมากกว่าที่ตรวจพบจากสภาพผิวชั้นตัวอย่างเฟล์ดสปาร์กพอร์ซเลน ลักษณะหลุมเริ่มจากรอยแตกบนพื้นผิวเมื่อตรวจสภาพที่ 24 ชั่วโมง จากนั้นรอยแตกได้ขยายขนาดใหญ่ขึ้นและลึกมากขึ้นในชั่วโมงที่ 96 และเมื่อตรวจสภาพผิวที่ 168 ชั่วโมงรอยแตกนี้ได้ขยายขนาดใหญ่มากที่สุด



รูปที่ 46 แสดงภาพถ่ายจากกล้องจุลทรรศน์อิเล็กตรอนชนิดส่องการดู (กำลังขยาย 2000 เท่า) ของเฟล์ดสปัติกพอร์ซเลนเมื่อแข็งในสารทดสอบแต่ละชนิด เป็นเวลา 24, 96 และ 168 ชั่วโมงตามลำดับ A) ก่อนเริ่มทดสอบ B)-D) แข็งในน้ำก้อน E)-G) แข็งในสารละลายซิเทรดบีฟเฟอร์ H)-J) แข็งในน้ำมะม่วง K)-M) แข็งในน้ำสับปะรด และ N)-P) แข็งในสารละลายกรดอะซิติกความเข้มร้อยละ 4



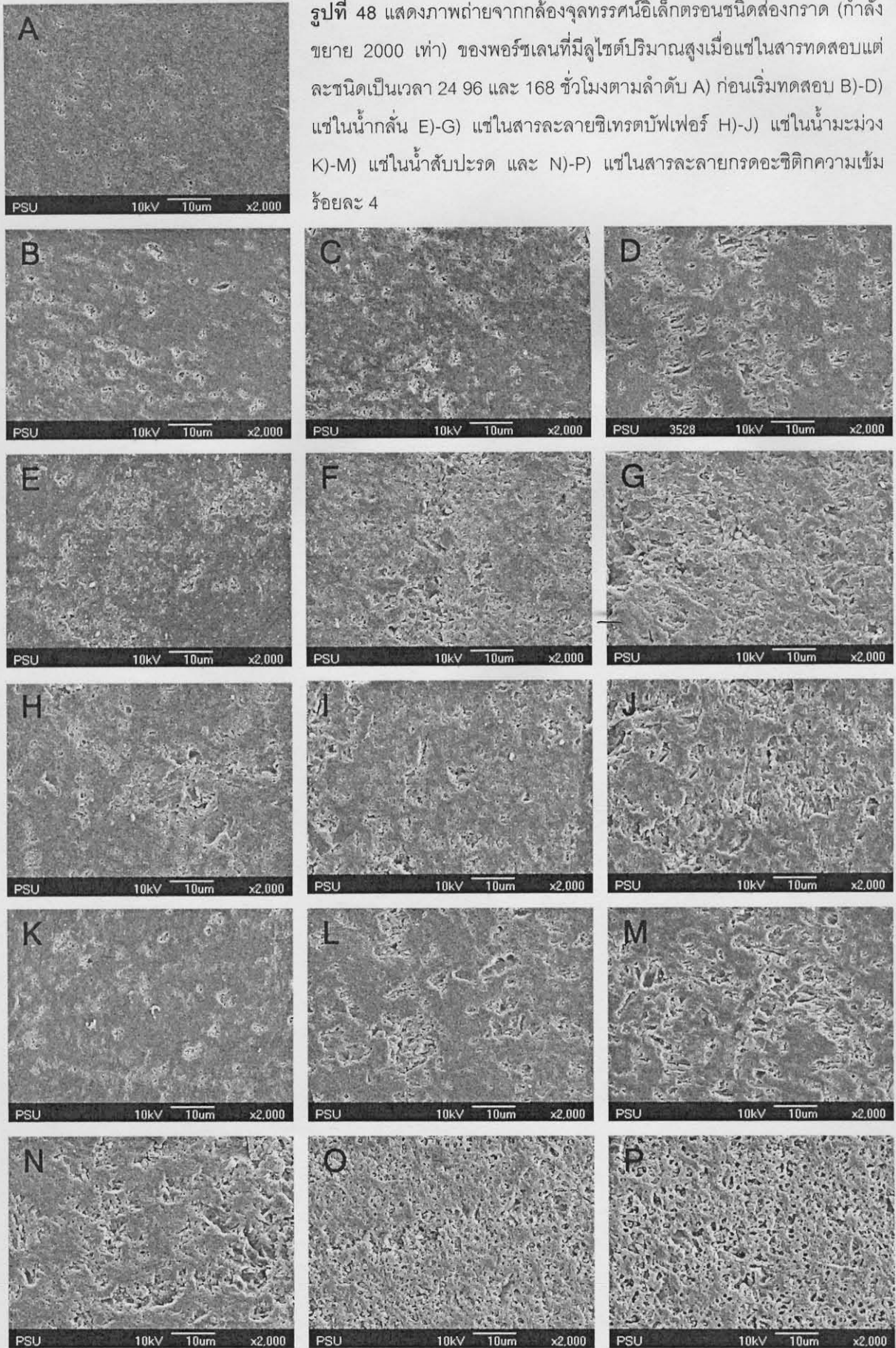
รูปที่ 47 แสดงภาพถ่ายจากกล้องจลทรศน์อิเล็กตรอนชนิดส่องการดู (กำลังขยาย 2000 เท่า) ของอะลูมิնัสมอร์ชเคนเมื่อแช่ในสารทดสอบแต่ละชนิดเป็นเวลา 24 96 และ 168 ชั่วโมงตามลำดับ A) ก่อนเริ่มทดสอบ B)-D) แช่ในน้ำกลั้น E)-G) แช่ในสารละลายบริเทนตบฟเฟอร์ H)-J) แช่ในน้ำมะม่วง K)-M) แช่ในน้ำสับปะรด และ N)-P) แช่ในสารละลายกรดอะซิติกความเข้มร้อยละ 4



รูปที่ 48A-P แสดงสภาพผิวพอร์ชเลนที่มีลูไทร์ต์ปริมาณสูงก่อนเริ่มทดสอบ (รูปที่ 48A) และหลังจาก เชื่อในน้ำกลัน (รูปที่ 48B-D) สารละลายน้ำไฮดรอกซิเบฟเฟอร์ (รูปที่ 48E-G) น้ำมะม่วง (รูปที่ 48H-J) น้ำ สับปะรด (รูปที่ 48K-M) และสารละลายน้ำไฮดรอกซิเบฟเฟอร์ (รูปที่ 48N-P) เป็นเวลา 24 96 และ 168 ชั่วโมงตามลำดับพบว่า ผิวพอร์ชเลนที่มีลูไทร์ต์ปริมาณสูงมีการเปลี่ยนแปลงเมื่อเวลาเพิ่มขึ้นทุกสาร ทดสอบที่ใช้เช่นแม่แต่ในน้ำกลัน โดยพบสภาพผิวมีลักษณะเป็นหลุมขนาดเล็กและตื้นกระจัดกระจาย อยู่ทั่วไป ซึ่งรูปแบบที่พบในชั้นตัวอย่างที่เชื่อในน้ำกลัน สารละลายน้ำไฮดรอกซิเบฟเฟอร์ น้ำมะม่วง และน้ำ สับปะรดมีลักษณะคล้ายคลึงกัน และคล้ายคลึงกับสภาพผิวที่พบในเฟล์ดสปาร์กอร์ชเลนและอะลูมินัส พอร์ชเลน และแตกต่างจากชั้นตัวอย่างที่เชื่อในสารละลายน้ำไฮดรอกซิเบฟเฟอร์ 4 ซึ่งพบลักษณะ หลุมขนาดเล็กและกระจัดกระจายมากกว่า

รูปที่ 49A-P แสดงสภาพผิวฟลูออแอนด์พาไทต์พอร์ชเลนก่อนเริ่มทดสอบ (รูปที่ 47A) และหลังจาก เชื่อในน้ำกลัน (รูปที่ 49B-D) สารละลายน้ำไฮดรอกซิเบฟเฟอร์ (รูปที่ 49E-G) น้ำมะม่วง (รูปที่ 49H-J) น้ำ สับปะรด (รูปที่ 49K-M) และสารละลายน้ำไฮดรอกซิเบฟเฟอร์ (รูปที่ 49N-P) เป็นเวลา 24 96 และ 168 ชั่วโมงตามลำดับพบว่า สภาพผิวชั้นตัวอย่างที่เชื่อในน้ำกลัน สารละลายน้ำไฮดรอกซิเบฟเฟอร์ น้ำมะม่วง และ น้ำสับปะรดมีลักษณะคล้ายคลึงกับสภาพผิวชั้นตัวอย่างพอร์ชเลนทั้ง 3 ชนิด นั่นคือพบสภาพผิวมีลักษณะ เป็นหลุมขนาดเล็กทั้งลึกและตื้นกระจัดกระจายอยู่ทั่วไป และพบผลลัพธ์ฟลูออแอนด์พาไทต์ (ลูกศรชี้ในรูปที่ 49A B C E H และ K) สีขาว รูปร่างคล้ายเข็ม ขนาดยาวประมาณ 3-10 ไมครอนในชั่วโมงที่ 24 เมื่อเวลา ผ่านไป ตรวจพบผลลัพธ์ฟลูออแอนด์พาไทต์ในชั่วโมงที่ 96 ของน้ำกลันเท่านั้น และในชั่วโมงที่ 168 ตรวจไม่พบ ผลลัพธ์ฟลูออแอนด์พาไทต์ในทุกสารทดสอบ ส่วนในสารละลายน้ำไฮดรอกซิเบฟเฟอร์ ตรวจไม่พบผลลัพธ์ฟลูออแอนด์พาไทต์ในชั่วโมงที่ 24 สภาพผิวชั้นตัวอย่างที่เชื่อในสารละลายน้ำไฮดรอกซิเบฟเฟอร์ 4 พบร่องรอยหลุม ที่ค่อนข้างลึกและกว้างมากกว่าเมื่อเชื่อในสารทดสอบอื่น

รูปที่ 48 แสดงภาพถ่ายจากกล้องจุลทรรศน์อิเล็กตรอนชนิดสองแวด (กำลังขยาย 2000 เท่า) ของพอร์ช์เลนที่มีลูไซด์ปริมาณสูงเมื่อเทียบในสารทดสอบแต่ละชนิดเป็นเวลา 24 96 และ 168 ชั่วโมงตามลำดับ A) ก่อนเริ่มทดสอบ B)-D) เมื่อเทียบกับ E)-G) แซ่บในสารละลายน้ำซิเทรคบัฟเฟอร์ H)-J) แซ่บในน้ำมะม่วง K)-M) แซ่บในน้ำสับปะรด และ N)-P) แซ่บในสารละลายน้ำซิติกความเข้มร้อยละ 4



รูปที่ 49 แสดงภาพถ่ายจากกล้องจุลทรรศน์อิเล็กตรอนชนิดส่องกราด (กำลังขยาย 2000 เท่า) ของฟลูออแอกพ้าไทด์พอร์ชเลนเมื่อแช่ในสารทดสอบแต่ละชนิดเป็นเวลา 24, 96 และ 168 ชั่วโมงตามลำดับ A) ก่อนเริ่มทดสอบ B)-D) แช่ในน้ำกลั่น E)-G) แช่ในสารละลายซิเทตربัฟเฟอร์ H)-J) แช่ในน้ำมะม่วง K)-M) แช่ในน้ำสับปะรด และ N)-P) แช่ในสารละลายกรดอะซิติกความเข้มร้อยละ 4 (ลูกศรชี้แสดงผลึกฟลูออแอกพ้าไทด์)

